

الله



موسسه آموزشی عالی انرژی  
دانشکده فنی و مهندسی  
پایان نامه دوره کارشناسی ارشد  
در رشته مکانیک - تبدیل انرژی

عنوان :

# تحلیل و بهینه سازی اقتصادی پمپ های حرارتی زمین گرمایی از دیدگاه انرژی و اقتصادی با بکارگیری الگوریتم ژنتیک با رویکرد پدافند غیر عامل

استاد راهنمای:

دکتر یوسف یاسی

استاد مشاور:

دکتر رضا علائی

پژوهشگر :

سجاد کریمی مهرآبادی

۱۳۹۵

## چکیده

سیستم پمپ حرارتی زمین‌گرمایی قابل نصب در فضایی امن در زیر زمین است و بدین وسیله از صدمات ناشی از حملات دشمن در امان می‌ماند؛ تا در زمان بحران از انرژی زمین‌گرمایی که سازگار با محیط زیست نیز می‌باشد، به عنوان انرژی جایگزین برای ادامه فعالیت بهره برد. با توجه به اینکه حفظ جان انسان‌ها در اولویت اهداف پدافند غیرعامل می‌باشد و نقش مهمی که بیمارستان‌ها در حفاظت از جان انسان‌ها در زمان بحران دارند، بنابراین ساخت بیمارستان زیرزمینی به عنوان سازه‌ای امن با رویکرد پدافند غیر عامل برای آمادگی در برابر تهدیدات بسیار اهمیت دارد.

در این پژوهش پس از محاسبه اتلاف حرارتی بیمارستان زیرزمینی در نرم‌افزار Carrier، تحلیل انرژی و اگزرژی پمپ حرارتی زمین‌گرمایی با سیکل بسته عمودی U شکل، در فاز گرمایش بیمارستان مذکور در نرم‌افزار EES انجام گردید. مبرد R-134a با توجه به ضریب عملکرد بالا و شرایط زیست محیطی و پدافندی نسبت به بقیه مبردها ترجیح داده شد. فن کندانسور دارای بیشترین اتلاف اگزرژی می‌باشد که برای کارایی سیستم، باید در اولویت بهبود قرار بگیرد.

طی مراحل بهینه‌سازی چند هدفه با استفاده از الگوریتم ژنتیک مرتب شده غیر مغلوب (NSGA II) در نرم‌افزار Matlab، نرخ کل اتلاف اگزرژی کاهش ۴.۲۶ درصدی را داشته است. همچنین به علت کاهش هزینه بهره‌برداری (صرف انرژی) به مقدار ۳.۲۷ درصد در حالت بهینه نسبت به مقدار طراحی اولیه، هزینه کل نیز در حالت بهینه ۱.۳۴ درصد کاهش یافته است.

**کلید واژه‌ها:** پمپ حرارتی زمین‌گرمایی، بیمارستان زیرزمینی، پدافند غیرعامل، تحلیل اگزرژی، بهینه‌سازی چند هدفه الگوریتم ژنتیک (NSGA II)

## فهرست مطالب

خ.....	فهرست شکل‌ها
ذ.....	فهرست نمودارها
ر.....	فهرست جداول
فصل اول : مقدمه و کلیات	
۱ .....	۱-۱ - مقدمه
۲ .....	۱-۲ - بیان مسائله
۳ .....	۱-۳ - ضرورت تحقیق
۴ .....	۱-۴ - روش‌ها
۵ .....	۱-۵ - اهداف
۶ .....	۱-۶ - دستاوردها
۷ .....	۱-۷ - جنبه‌های نوآوری
فصل دوم : انرژی زمین گرمایی	
۸ .....	۲-۱ - مقدمه
۸ .....	۲-۲ - انرژی زمین گرمایی
۱۰ .....	۲-۳ - تاریخچه انرژی زمین گرمایی

۱۰	- پتانسیل انرژی زمین‌گرمایی	-۲-۲-۲
۱۱	- استقبال جهانی از انرژی زمین‌گرمایی	-۳-۲
۱۲	- انرژی زمین‌گرمایی در ایران	-۴-۲
۱۳	- تاریخچه انرژی زمین‌گرمایی در ایران	-۵-۲
۱۴	- بهره‌برداری از انرژی زمین‌گرمایی	-۶-۲
۱۸	- استفاده غیر مستقیم یا نیروگاهی از انرژی زمین‌گرمایی	-۶-۲
۱۹	- روش‌های استفاده مستقیم یا غیر نیروگاهی	-۶-۲
۲۴	- پمپ حرارتی	-۷-۲
۲۴	- تاریخچه پمپ حرارتی	-۷-۲
۲۵	- پمپ حرارتی زمین‌گرمایی	-۷-۲
۲۶	- انواع کویل زمینی سیستم پمپ حرارتی زمین‌گرمایی	-۷-۲
۲۹	- انواع پمپ حرارتی زمین‌گرمایی بر اساس سیال	-۷-۲
۳۲	- انواع پمپ حرارتی زمین‌گرمایی بر اساس سیال	-۷-۲
۳۳	- مراحل اجرای پروژه‌های پمپ حرارتی زمین‌گرمایی	-۷-۲
۳۴	- مزیت‌های استفاده از پمپ حرارتی زمین‌گرمایی	-۷-۲
۳۵	- مزیت‌های پمپ حرارتی زمین‌گرمایی از دیدگاه پدافند غیر عامل	-۷-۷-۲
۳۶	- وضعیت پمپ حرارتی زمین‌گرمایی در ایران	-۸-۲

۳۷.....	-۱-۸-۲ پمپ حرارتی زمین‌گرمایی در مشکین شهر.
۳۷.....	-۲-۸-۲ پمپ حرارتی زمین‌گرمایی در طالقان.
۳۸.....	-۳-۸-۲ پمپ حرارتی زمین‌گرمایی در رشت.
۳۹.....	-۴-۸-۲ پمپ حرارتی زمین‌گرمایی در اهواز.
۳۹.....	-۵-۸-۲ پمپ حرارتی زمین‌گرمایی در بندر عباس.
۳۹.....	-۹-۲ مروری بر مقالات پمپ حرارتی زمین‌گرمایی.

### فصل سوم: طراحی و انتخاب اجزای سیستم پمپ حرارتی زمین‌گرمایی

۴۵.....	-۱-۳ مقدمه
۴۵.....	-۲-۳ فرضیات بیمارستان امن زیرزمینی.
۴۶.....	-۳-۳ تفاوت سازه‌های امن مدفون با سازه‌های رایج.
۴۷.....	-۴-۳ محاسبات اتلاف حرارتی بیمارستان.
۴۷.....	-۵-۳ انتخاب اجزاء سیستم پمپ حرارتی زمین‌گرمایی.
۴۹.....	-۱-۵-۳ انتخاب مبدل حرارتی زمینی.
۵۰.....	-۲-۵-۳ انتخاب دستگاه پمپ حرارتی زمین‌گرمایی.
۵۲.....	-۳-۵-۳ انتخاب و محاسبه حجم منع انساط.
۵۴.....	-۴-۵-۳ انتخاب و طراحی لوله.

۵۰	- انتخاب پمپ سیرکولاتور	۳-۵-۵
فصل چهارم: تحلیل اگزرزی و بهینه‌سازی اقتصادی با الگوریتم ژنتیک		
۵۸	- تحلیل ترمودینامیکی پمپ حرارتی زمین گرمایی	۴-۱-۱
۵۸	- آنالیز ترمودینامیکی	۴-۱-۱-۱
۶۰	- محاسبه دمای زمین	۴-۱-۲
۶۲	- معادلات موازنۀ انرژی و اگزرزی	۴-۱-۳
۶۸	- بهینه‌سازی سیستم	۴-۲
۶۸	- تکنیک‌های حل مسائل بهینه‌سازی	۴-۲-۱
۷۹	- الگوریتم ژنتیک	۴-۲-۲
۷۹	- کدگذاری	۴-۲-۳
۷۹	- تابع برازش	۴-۲-۴
۷۲	- جمعیت	۴-۲-۵
۷۲	- انتخاب	۴-۲-۶
۷۳	- جفت‌گیری (ادغام)	۴-۲-۷
۷۴	- جهش	۴-۲-۸
۷۶	- همگرایی	۴-۲-۹
۷۶	- شرط توقف الگوریتم	۴-۲-۱۰

۱۱-۲-۴ - متغیرهای بهینه‌سازی ..... ۷۷

۱۲-۲-۴ - پارامترهای بهینه‌سازی با الگوریتم ژنتیک ..... ۷۸

۱۳-۲-۴ - توابع هدف ..... ۷۸

### فصل پنجم : نتایج

۱-۵ - مقدمه ..... ۸۳

۲-۵ - نتایج مربوط به بار حرارتی ..... ۸۳

۳-۵ - نتایج مربوط به اگزرزی ..... ۸۴

۴-۵ - نتایج مربوط به بهینه‌سازی اقتصادی ..... ۸۷

فهرست منابع و مأخذ ..... ۹۱

پیوست الف : نقشه‌های بیمارستان ..... ۹۵

پیوست ب : گزارشات مربوط به نرم افزار کریم ..... ۹۸

پیوست ج : اشکال ..... ۱۰۲

## فهرست شکل‌ها

شکل (۱-۲) چگونگی استفاده از انرژی زمین گرمایی ..... ۹
شکل (۲-۲) میزان ظرفیت پمپ حرارتی زمین گرمایی نصب شده در جهان ..... ۱۲
شکل (۳-۲) شماتیک موارد استفاده از انرژی زمین گرمایی ..... ۱۸
شکل (۴-۲) نیروگاه زمین گرمایی با سیال کاملاً بخار ..... ۲۰
شکل (۵-۲) نیروگاه زمین گرمایی بخار تک مرحله‌ای با خروجی اتمسفر ..... ۲۱
شکل (۶-۲) نیروگاه زمین گرمایی بخار تک مرحله‌ای با کندانسور ..... ۲۲
شکل (۷-۲) نیروگاه زمین گرمایی بخار دو مرحله‌ای ..... ۲۳
شکل (۸-۲) نیروگاه زمین گرمایی با سیال کاملاً مایع داغ ..... ۲۴
شکل (۹-۲) شماتیک میزان نوسانات دمای خاک در طول یک سال ..... ۲۶
شکل (۱۰-۲) فرایند سرمایش پمپ حرارتی زمین گرمایی ..... ۲۷
شکل (۱۱-۲) فرایند گرمایش پمپ حرارتی زمین گرمایی ..... ۲۷
شکل (۱۲-۲) سیکل پمپ حرارتی زمین گرمایی و نمودار T-S آن ..... ۲۸
شکل (۱۳-۲) پمپ حرارتی زمین گرمایی در حالت‌های گرمایش و سرمایش ..... ۲۸
شکل (۱۴-۲) کویل زمینی بسته عمودی ..... ۲۹
شکل (۱۵-۲) کویل زمینی بسته افقی ..... ۳۰
شکل (۱۶-۲) کویل زمینی باز ..... ۳۰
شکل (۱۷-۲) کویل زمینی دریاچه ..... ۳۱

..... ۳۷	شکل (۲-۱۸) حلقه‌های ۹ گانه به عمق ۱۵ متر و قطر ۸۰ سانتی متر
..... ۴۰	..... شکل (۲-۱۹) دمای ورودی و خروجی مبدل حرارتی در ماه اگوست
..... ۴۱	..... شکل (۲-۲۰) اثر خاک در میزان اتلاف اگزرزی سیستم پمپ حرارتی زمین گرمایی
..... ۴۲	..... شکل (۲-۲۱) اثر دمای ورودی آب بر طول بهینه مبدل حرارتی
..... ۵۳	..... شکل (۱-۳) شماتیک منبع انبساط باز
..... ۶۲	..... شکل (۱-۴) شماتیک سیکل پمپ حرارتی زمین گرمایی
..... ۷۰	..... شکل (۲-۴) مراحل الگوریتم ژنتیک
..... ۷۵	..... شکل (۳-۴) توابع بیتی قابل استفاده در جفت‌گیری
..... ۷۶	..... شکل (۴-۴) توابع بیتی قابل استفاده در جهش

## **فهرست نمودارها**

نمودار (۱-۵) بار ماهانه حرارتی ساختمان جهت گرمایش ..... ۸۳
نمودار (۲-۵) اتلاف اگررژی اجزاء پمپ حرارتی زمین گرمایی ..... ۸۴
نمودار (۳-۵) ضریب عملکرد سیستم پمپ حرارتی زمین گرمایی برای مبردهای مختلف ..... ۸۵
نمودار (۴-۵) بازده اگررژی سیستم برای مبردهای مختلف ..... ۸۵
نمودار (۵-۵) جبهه پرتوی بی بعد بهینه‌سازی هزینه - نرخ انهدام اگررژی و انتخاب نقطه بهینه ..... ۸۷

## **فهرست جداول**

جدول (۱-۲) مشخصات چاههای اکتشافی مشکین شهر ..... ۱۷
جدول (۱-۳) معرفی نواحی بیمارستان ..... ۵۱
جدول (۱-۴) مقادیر مورد نیاز اولیه در سیستم پمپ حرارتی زمین گرمایی ..... ۶۶
جدول (۲-۴) آنالیز انرژی سیستم پمپ حرارتی زمین گرمایی ..... ۶۶
جدول (۳-۴) آنالیز اگررژی سیستم پمپ حرارتی زمین گرمایی ..... ۶۷
جدول (۱-۵) مقادیر بهینه متغیرهای طراحی (تصمیم‌گیری) ..... ۸۸
جدول (۲-۵) مقادیر بهینه توابع هدف ..... ۸۹

## **فصل اول : مقدمه و کلیات**

## ۱-۱- مقدمه

تأمین انرژی پایدار همواره یک موضوع اساسی در جوامع امروزی به حساب می‌آید. در صورت قطع برق و گاز در زمان بحران، که باعث مختل شدن کلیه سیستم‌های ارتباطی، گرمایشی، سرمایشی و ... می‌شود؛ لزوم استفاده از انرژی‌های جایگزین به منظور استمرار فعالیت برای همه کشورها اجتناب ناپذیر است؛ از طرف دیگر رشد مصرف انرژی در جوامع مدرن صنعتی علاوه بر خطر اتمام سریع منابع فسیلی، جهان را با تغییرات برگشت ناپذیر و تهدیدآمیز زیست محیطی مواجه نموده است.

در سال‌های اخیر استفاده از انرژی زمین‌گرمایی به عنوان یکی از مهم‌ترین منابع انرژی‌های تجدیدپذیر و پاک رشد قابل توجهی داشته است. سیستم پمپ حرارتی زمین‌گرمایی قابل نصب در فضایی امن در زیر زمین است که بدین وسیله از صدمات ناشی از حملات دشمن در امان می‌ماند؛ تا بتوان در زمان بحران از انرژی زمین‌گرمایی که سازگار با محیط زیست نیز می‌باشد، به عنوان انرژی جایگزین برای ادامه فعالیت سازه بهره برد.

در این پژوهه که برای یک بیمارستان زیرزمینی انجام شده است، فرضیات زیر لحاظ می‌شود :

- ❖ طرح این پژوهه، یک بیمارستان زیرزمینی یک طبقه شامل ۳۶ اتاق و ۷۰ تخته واقع در شهر تهران می‌باشد.
- ❖ سقف این بیمارستان ۲ متر زیر زمین قرار دارد.
- ❖ بیمارستان زیرزمینی به جای استفاده از سیستم‌های معمول تهویه مطبوع، از سیستم پمپ حرارتی زمین‌گرمایی استفاده می‌کند.
- ❖ مبدل حرارتی سیستم پمپ حرارتی از نوع سیکل بسته عمودی U شکل و سیستم پمپ حرارتی از نوع تراکمی می‌باشد.

## ۱-۲- بیان مسائله

زمین منبع عظیمی از انرژی است، به طوری که حرارت در هسته آن بیش از ۵۰۰۰ درجه سانتی گراد می‌رسد. حرارت زمین به طرق مختلف از جمله فوران آتشفسان، چشمه‌های آبگرم و... در اثر کاهش چگالی زمین و خاصیت رسانایی از بخش‌هایی از زمین به سطح آن هدایت می‌شود. درجه حرارت زمین با توجه به عمق آن به صورت غیر خطی زیاد می‌شود (با تقریب خطی هر ۱۰۰ متر ۳ درجه سانتی گراد). انرژی حرارتی ذخیره شده در ۱۱ کیلومتر فوقانی پوسته زمین معادل پنجاه هزار برابر کل انرژی به دست آمده از منابع نفت و گاز شناخته شده امروز جهان است.

انرژی زمین‌گرمایی برخلاف سایر انرژی‌های تجدیدپذیر محدود به فصل، زمان و شرایط خاصی نبوده و بدون وقفه قابل بهره‌برداری می‌باشد. همچنین قیمت تمام شده برق در نیروگاه‌های زمین‌گرمایی با برق تولیدی از سایر نیروگاه‌های متعارف (فسیلی) قابل رقابت بوده و حتی از انواع دیگر انرژی‌های نو به مراتب ارزان‌تر است. یک پمپ حرارتی منبع زمینی، گرما را با زمین مبادله می‌کند و این بیشتر یک انرژی کارآمد است؛ زیرا دمای زیرزمین نسبت به دمای هوا در طول کل سال پایدارتر است؛ درنتیجه، نوسانات فصلی عمیقاً کاهش می‌یابد. دمای زمین در قسمت‌های کم عمق و سطحی در طول زمستان گرم‌تر از هوای قسمت‌های بالا و نیز سردتر از هوای تابستانی است. یک پمپ حرارتی منبع زمینی، گرمای زمین را در فصل زمستان (جهت گرمایش) استخراج می‌کند و گرما را به سمت زمین در فصل تابستان (جهت سرمایش) انتقال می‌دهد.

با توجه به اهمیت بیمارستان زیرزمینی در بحران‌ها و اینکه باید بدون وقفه در شرایط بحرانی به کار خود ادامه دهنده پس ایجاد می‌کند که از پمپ حرارتی زمین گرمایی در بیمارستان زیرزمینی طبق شاخصه‌های پدافند غیرعامل استفاده شود.

## ۱-۳- ضرورت تحقیق

بیمارستان‌های زیرزمینی در بحران‌ها نقش عمداتی را ایفا می‌کنند؛ چرا که در بحران‌ها، ثانیه‌ها حکم جان انسان‌ها را دارند. ضرورت یک بیمارستان زیرزمینی هنگامی نمود بیشتری دارد که کلیه ساختمان‌های یک شهر در اثر زلزله یا بمباران دشمن یا هر بحران دیگر با خاک یکسان شده ولی در زیر زمین در یک فضای کاملاً امن، بحران مدیریت و کنترل شده و کلیه سیستم‌ها به وظایف روتین خود عمل می‌کنند. در هشت سال دفاع مقدس نیز چه جان انسان‌های والامقامی که به واسطه خونریزی شدید و نبود امکانات بیمارستانی امن به شهادت رسیدند.

پدافند غیرعامل عبارت است از مجموعه اقدامات غیر مسلحانه‌ای که بکارگیری آن‌ها موجب افزایش بازدارندگی، کاهش آسیب‌پذیری، ارتقاء پایداری ملی، تداوم فعالیت‌های ضروری و تسهیل مدیریت بحران در برابر تهدیدات و اقدامات نظامی دشمن می‌گردد. استتار، اختفاء، فریب، تفرقه و پراکندگی از اصول پدافند غیرعامل می‌باشد و از شناسایی تاسیسات و تجهیزات از دید سنجنده‌های دشمن جلوگیری می‌کنند.

با توجه به اینکه حفظ جان انسان‌ها در اولویت اهداف پدافند غیرعامل می‌باشد و نقش مهمی که بیمارستان‌ها در حفاظت از جان انسان‌ها در زمان جنگ و بحران‌ها داشتند، بنابراین ساخت بیمارستان زیرزمینی به عنوان سازه‌ای امن با رویکرد پدافند غیر عامل برای آمادگی در برابر دشمنان بسیار اهمیت دارد.

سیستم پمپ حرارتی زمین گرمایی قابل نصب در فضایی امن در زیر زمین است؛ بدین وسیله از صدمات ناشی از حملات دشمن در امان می‌ماند، تا بتوان در زمان بحران از انرژی زمین گرمایی که سازگار با محیط زیست نیز می‌باشد، به عنوان انرژی جایگزین برای ادامه فعالیت سازه بفرمود. با تحلیل اگزرژی سیستم پمپ حرارتی زمین گرمایی در بیمارستان زیرزمینی، می‌توان به قسمت‌هایی که سهم به سزاوی در اتلاف اگزرژی و انرژی دارند، پی برد

و تا جایی که ممکن است از هدررفت انرژی جلوگیری کرد و با استفاده از الگوریتم ژنتیک از نظر اقتصادی نیز بهینه‌سازی شود.

## ۱-۴- روش‌ها

در این پروژه ابتدا به جستجوی کتابخانه‌ای و جمع‌آوری اطلاعات می‌پردازیم. پس از آن بارهای حرارتی بیمارستان یک طبقه واقع در شهر تهران با استفاده از نرم افزار Carrier محاسبه شده و طراحی اولیه سیستم پمپ حرارتی زمین گرمایی همراه با جانمایی آن طبق اصول پدافند غیرعامل برای بیمارستان زیرزمینی انجام می‌گیرد. سپس توسط نرم افزار EES<sup>۱</sup>، تحلیل انرژتیک و اگزرژتیک استفاده از پمپ حرارتی زمین گرمایی در این بیمارستان انجام می‌شود. در آخر هم با توجه به الگوریتم ژنتیک مرتب شده غیر مغلوب (NSGA II)<sup>۲</sup> بهینه‌سازی چند هدفه نرخ اتلاف اگزرژی و اقتصادی به طور همزمان برای پمپ حرارتی زمین گرمایی با استفاده از کدنویسی در نرم افزار Matlab صورت می‌گیرد.

## ۱-۵- اهداف

در این پروژه با استفاده از تحلیل اگزرژی سیستم پمپ حرارتی زمین گرمایی، می‌توان با یافتن قسمت‌هایی که سهم به سزایی در اتلاف اگزرژی و انرژی دارند، از هدررفت انرژی جلوگیری کرد و با پیاده‌سازی روش الگوریتم ژنتیک از نظر اگزرژی و اقتصادی به طور همزمان بهینه شوند. همچنین با کم‌رنگ کردن فعالیت سیستم بویلر و مشعل بعد از اقتصادی بودن طرح و تحلیل اگزرژی سیستم پمپ حرارتی زمین گرمایی از شناسایی بیمارستان زیرزمینی توسط سنجنده‌های دشمن جلوگیری شود.

---

1 - Engineering Equation Solver

2 - Non-dominated Sorting Genetic Algorithm II

## **۱-۶- دستاوردها**

اطمینان از صرفه اقتصادی و انرژی با آنالیز اگزرژی و بهینه سازی اقتصادی در طراحی و اجرای پمپ‌های حرارتی زمین گرمایی در تاسیسات مکانیکی بیمارستان زیرزمینی به جای استفاده از سیستم‌های معمول تهویه مطبوع و اطمینان از در امان ماندن بیمارستان زیرزمینی در دید دشمن و ادامه فعالیت آن در زمان بحران

## **۱-۷- جنبه‌های نوآوری**

جهنمه‌های نوآوری این پروژه بدین شرح است که برای بیمارستان زیرزمینی پس از محاسبه بارهای حرارتی بیمارستان در فاز گرمایش و انتخاب پمپ حرارتی و طراحی اجزای پمپ حرارتی زمین گرمایی و جانمایی آنها در بیمارستان طبق اصول پدافند غیرعامل، تحلیل اگزرژی صورت گرفته و سپس با ارزیابی هزینه اولیه سیستم، به بهینه‌سازی چند هدفه نرخ تخریب اگزرژی و هزینه اقتصادی با استفاده از الگوریتم ژنتیک مرتب شده غیر مغلوب به طور همزمان پرداخته شده و نقطه بهینه با استفاده از روش تاپسیس<sup>۱</sup> انتخاب می‌شود. با مطالعات انجام شده بر روی مقالات و کتب مختلف فارسی و لاتین چنین کاری کار جامع و گسترده‌ای تا حالا برای این مورد خاص بدین صورت انجام نشده است.

---

1- Topsis

## **فصل دوم : انرژی زمین گرمایی**

## ۱-۲- مقدمه

رشد مصرف انرژی در جوامع مدرن صنعتی علاوه بر خطر اتمام سریع منابع فسیلی، جهان را با تغییرات برگشت‌ناپذیر و تهدیدآمیز زیست محیطی مواجه نموده است. لذا در برنامه‌ها و سیاست‌های بین‌المللی در راستای توسعه پایدار جهانی، نقش ویژه‌ای به منابع تجدیدپذیر انرژی محول شده است. همان‌طور که می‌دانیم انرژی فسیلی که تاکنون بی‌رویه در این کشور مصرف و یا برای بدست آوردن ارز صادر گردیده، تجدیدپذیر نبوده و در آینده نزدیک به اتمام خواهد رسید. بنابراین می‌بایست برای جایگزینی آن از انرژی‌های تجدیدپذیر که عمر آن‌ها محدود نمی‌باشد، استفاده نمود؛ از این رو صاحب‌نظران و کارشناسان به دنبال منابعی هستند که به تدریج جایگزین سوخت‌های فسیلی شوند. ایران نیز فعالیت‌های گسترده‌ای را آغاز کرده است تا از انرژی‌های نو مانند انرژی خورشیدی، انرژی زمین گرمایی، انرژی باد، انرژی بیوگاز و بیومس، انرژی امواج و ... بهره‌برداری کند. به این انرژی‌ها از آن جهت که به محیط زیانی نمی‌رسانند، انرژی‌های پاک نیز می‌گویند.<sup>(۱)</sup>

## ۲-۲- انرژی زمین‌گرمایی

اصطلاح زمین‌گرمایی ترجمه و اثره ژئوترمال<sup>۱</sup> است که ریشه یونانی داشته و از کلمات ژئو<sup>۲</sup> به معنای زمین و ترم<sup>۳</sup> به معنای حرارت تشکیل شده است. در حقیقت انرژی زمین‌گرمایی، انرژی است که از سیال آب داغ یا بخار داغ موجود در اعمق زمین بدست می‌آید. به عبارت دیگر انرژی حرارتی که در پوسته جامد زمین وجود دارد، انرژی زمین‌گرمایی نامیده می‌شود.<sup>(۲)</sup>

مرکز (هسته) زمین منبع عظیمی از انرژی حرارتی است که به انواع گوناگون از جمله فوران‌های آتش‌فشانی، آب‌های گرم و یا به واسطه خاصیت رسانایی به سطح آن هدایت می‌شود. طبق فرضیه‌های موجود، زمین توده‌ای آتشین بوده که بیش از ۴ میلیارد سال پیش

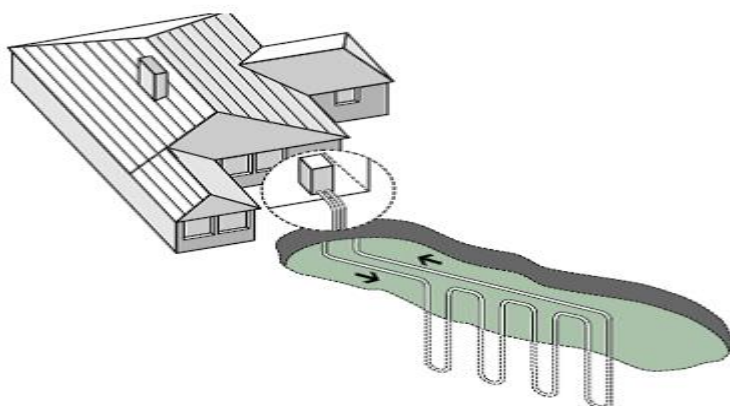
1 - Geothermal

2 - Geo

3 - Therme

شکل گرفته و به تدریج به انجاماد و سردی گراییده است و این سرد شدن همچنان نیز ادامه دارد. در حال حاضر از انرژی زمین گرمایی در بسیاری از نقاط جهان و به صورت‌های مختلف و در سطح وسیعی استفاده می‌شود. محققین همزمان با بکارگیری تکنولوژی‌های قدیمی تأمین انرژی، شیوه‌های جدید تأمین انرژی را نیز به تکامل رسانیده‌اند. در آینده نیز تلاش برای توسعه آن، هم در زمینه کشف منابع انرژی و هم در زمینه انتقال تکنولوژی امری اساسی تلقی می‌شود. بهره‌برداری از انرژی زمین گرمایی به عنوان یک منبع انرژی بالقوه در اعمق زمین، مستقل از شرایط جوی بوده و قابلیت جوابگویی به نیاز کنونی و آتی بشر را دارد.<sup>(۳)</sup>

با بالا رفتن هزینه‌های استخراج و قیمت انرژی در جهان، مدتی است که استفاده از انرژی زمین گرمایی توجه محققان و صنعتگران را به خود جلب نموده است؛ تا جایی که در نقاط مختلف جهان اقدام به کشف این منبع فوق العاده انرژی نموده‌اند. پس از مرحله اکتشاف، یکی از راه‌های مناسب بکارگیری این انرژی در فصل زمستان، استفاده از یک سیستم لوله‌کشی زیرزمینی است. آب به درون لوله فرستاده می‌شود، بعد از گرم شده توسط حرارت زمین به سطح زمین بر می‌گردد. در فصل تابستان هم که نیاز به هوای خنک داریم روش کار سیستم بر عکس می‌شود؛ یعنی لوله‌های حاوی آب سرد، گرمای ساختمان را گرفته و باعث سرد شدن فضای خانه می‌شود. شکل ۱-۲ کاربرد انرژی زمین گرمایی در ساختمان‌ها را نشان می‌دهد.<sup>(۱)</sup>



شکل(۱-۲) چگونگی استفاده از انرژی زمین گرمایی (۱)

## ۱-۲-۲- تاریخچه انرژی زمین گرمایی

بشر مدت‌ها است که از منابع انرژی زمین گرمایی با درجه حرارت پایین (چشمه‌های آب گرم) جهت استحمام و شستشو و همچنین مصارف درمانی استفاده می‌کند. اخیراً نیز از این انرژی در تأمین گرمایش گلخانه‌ها، حوضچه‌های پرورش ماهی، استخرهای تفریحی، پیشگیری از یخ زدگی معابر در فصل سرما، پمپ‌های حرارتی جهت تأمین گرمایش و سرمایش ساختمان‌ها و برخی از فرآیندهای صنعتی استفاده می‌شود. تولید برق با استفاده از منابع انرژی زمین گرمایی با درجه حرارت بالا نیز طی ده سال اخیر رشد قابل ملاحظه‌ای داشته است. بشر از دیرباز با مشاهده کوههای آتش‌فشان به این حقیقت رسیده بود که در اعمق زمین منبعی داغ وجود دارد. در فاصله زمانی بین قرن‌های ۱۶ و ۱۷ میلادی که اولین منابع زیرزمینی در اعمق چند صد متری حفر شد؛ این نتیجه نیز حاصل شد که هرچه به طرف مرکز کره زمین نزدیک‌تر شویم دما افزایش می‌یابد، به گونه‌ای که به طور طبیعی در ازای هر ۱۰۰ متر افزایش عمق، ۳ درجه سانتی گراد به دمای طبیعی زمین افزوده می‌شود. انرژی حرارتی ذخیره شده در ۱۱ کیلومتر فوقانی پوسته زمین معادل پنجاه هزار برابر کل انرژی به دست آمده از منابع نفت و گاز شناخته شده امروز جهان است. نخستین اندازه‌گیری‌ها به وسیله دماسنیج در سال ۱۷۴۰ و در معدنی نزدیک در ناحیه بلفورت در کشور فرانسه انجام شد. در سال ۱۸۷۰ با روش‌های پیشرفته علمی نوع رفتار حرارتی زمین مورد مطالعه قرار گرفت. نخستین تلاش‌ها برای تولید برق با استفاده از انرژی زمین گرمایی در لاردرلو ایتالیا در سال ۱۹۰۴ صورت گرفت و از آن زمان تاکنون فعالیت‌های زیادی در سراسر دنیا صورت گرفته است. (۲۰)

## ۲-۲-۲- پتانسیل انرژی زمین گرمایی

به طور کلی مناطقی از زمین که دارای دو ویژگی از سه ویژگی مهم زیر باشند، می‌توانند دارای پتانسیل خوب جهت بهره‌برداری از انرژی زمین گرمایی باشند:

الف- منبع حرارتی: مواد مذاب یا سنگ‌های داغ مجاور آنها (به عنوان منبع حرارتی) به گونه‌ای نزدیک به سطح زمین قرار گرفته باشند که موجب گرم شدن آب‌های نفوذی شده و در

نتیجه با حفاری چاههای تولیدی می‌توان با استخراج سیال گرم به حرارت مطلوب رسید.

ب- سیال واسط: وجود آب، آب‌های جوی و آب‌های ماقمایی از جمله سیالات انتقال دهنده حرارت به سطح زمین هستند.

ج- محیط متخلل: لایه‌های مختلف زمین دارای خلل و فرج‌های زیادی باشند تا آب‌های سطحی و نزولات جوی به خوبی داخل زمین نفوذ کنند. آب‌های سطحی که بر اثر نیروی جاذبه زمین و از طریق خلل و فرج‌ها به داخل آن نفوذ می‌کنند، پس از مدتی به لایه‌های گرم زمین نزدیک می‌شوند و حرارت آن‌ها را جذب می‌کنند و بر اثر افزایش دما، چگالی خود را از دست داده و نسبت به آب‌های سرد سبک‌تر شده و به صورت طبیعی از طریق درزها، شکاف‌ها مجدداً رو به سطح زمین حرکت می‌کنند و موجب پیدایش مظاهر حرارتی از قبیل چشممه‌های آبگرم در نقاط مختلف زمین می‌شوند. برای بهره‌برداری اقتصادی از یک سیستم زمین‌گرمایی با حفاری چاههای متعدد سیال بیشتری بدست می‌آید.<sup>(۳)</sup>

### ۲-۳- استقبال جهانی از انرژی زمین‌گرمایی

امروزه استفاده از سیستم پمپ حرارتی زمین‌گرمایی به عنوان انرژی پاک و نو در جهان در حال گسترش می‌باشد. در ادامه به شرح گسترش این سیستم در جهان و در ایران پرداخته می‌شود.

بر اساس آخرین آمار آژانس انرژی زمین‌گرمایی، کشورهایی که بیشترین برق را با استفاده از نصب نیروگاههای زمین‌گرمایی تا سال ۲۰۱۴ تولید کرده‌اند، عبارتند از:

۱. آمریکا ۳۱۸۷ مگاوات

۲. فیلیپین ۱۹۰۴ مگاوات

۳. اندونزی ۱۲۲۲ مگاوات

۴. مکزیک ۹۵۸ مگاوات

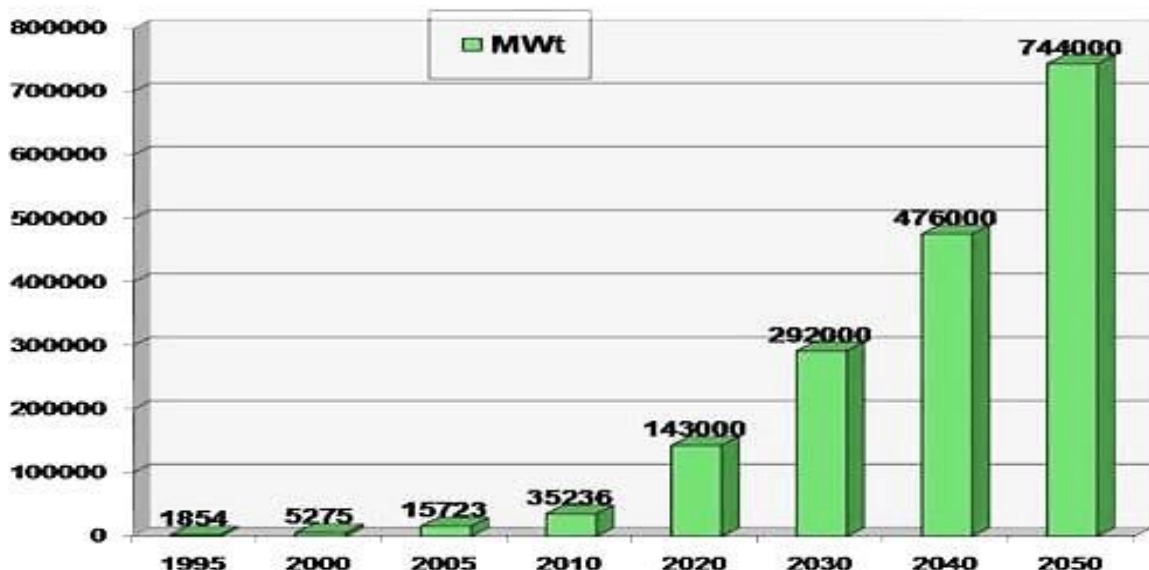
۵. ایتالیا ۸۸۳ مگاوات

۶. نیوزلند ۷۶۸ مگاوات

۷. ایسلند ۶۶۱ مگاوات

۸. ژاپن ۵۳۵ مگاوات (۳)

عملکرد مطلوب پمپ‌های حرارتی زمین‌گرمایی به گونه‌ای است که باعث توسعه روزافزون و استقبال زیاد مردم از این سیستم‌ها در دنیا شده است؛ به طوری که میزان ظرفیت نصب شده پمپ حرارتی زمین‌گرمایی در جهان تا سال ۱۹۹۵ میلادی برابر با ۱۸۵۴ مگاوات، تا سال ۲۰۰۰ میلادی برابر با ۵۲۷۵ مگاوات، تا سال ۲۰۰۵ میلادی ۱۵۷۲۳ مگاوات و تا سال ۲۰۱۰ میلادی ۳۵۲۳۶ مگاوات حرارتی بوده است و پیش‌بینی می‌شود این میزان ظرفیت نصب شده تا سال ۲۰۵۰ میلادی به ۷۴۴۰۰۰ مگاوات افزایش یابد. شکل ۲-۲ میزان ظرفیت پمپ حرارتی زمین‌گرمایی نصب شده در جهان را نشان می‌دهد. (۳)



شکل (۲-۲) میزان ظرفیت پمپ حرارتی زمین‌گرمایی نصب شده در جهان (۳)

کشورهای دارای بیشترین ظرفیت نصب شده سیستم پمپ حرارتی زمین‌گرمایی عبارتند از:

۱. آمریکا ۱۲۰۰۰ مگاوات

۲. چین ۵۲۱۰ مگاوات

۳. سوئد ۴۴۶۰ مگاوات
۴. نروژ ۳۳۰۰ مگاوات
۵. آلمان ۲۲۳۰ مگاوات
۶. هلند ۱۳۹۴ مگاوات
۷. کانادا ۱۱۰۰ مگاوات (۴)

## ۴-۲- انرژی زمین‌گرمایی در ایران

استفاده از انرژی زمین‌گرمایی در ایران به سال‌های بسیار دور می‌رسد، به طوری که مردم به شیوه‌های سنتی از این انرژی در محل‌هایی که چشمه‌های آب‌گرم وجود داشت، در قالب حمام‌ها و استخرهای شنا جهت مصارف آب‌درمانی و تفریحی استفاده می‌کردند.

با این حال در ایران به علت ارزان بودن انرژی‌های تجدید ناپذیر و فراوانی آن‌ها، توجه بسیار اندکی به انرژی‌های نو و پاک شده است و میزان سهم آن‌ها در تأمین انرژی در مقایسه با سوخت‌های فسیلی ناچیز می‌باشد.

پتانسیل انرژی زمین‌گرمایی در ایران بر اساس مطالعات انجام شده در بیش از ۱۰ منطقه شناسایی شده است. این مناطق بر اساس میزان فعالیت‌های زمین، میزان چشمه‌های آب‌گرم و ظهورهای سطحی زمین و سایر شواهد زمین شناسی، شناسایی شده‌اند. بر اساس گزارش ارائه شده توسط سازمان انرژی‌های نو ایران در سال ۱۳۷۷ این مناطق به شرح زیر است:

- منطقه سبلان (مشکین شهر - سرعین - بوشلی)
- منطقه دماوند ناحیه ناندل
- منطقه ماکو ناحیه سیاه چشم
- منطقه خوی ناحیه قطور
- منطقه سهند
- منطقه تفتان - بزمان

- منطقه ناییند
- منطقه بیرجند- فردوس
- منطقه تکاب- هشتپرود
- منطقه خور- بیابانک
- منطقه اصفهان- محلات
- منطقه رامسر
- منطقه بندرعباس- میناب
- منطقه بوشهر- کازرون
- منطقه لار- بستک (۲۱)

## ۲-۵- قاریخچه انرژی زمین‌گرمایی در ایران

رشد روزافزون جمعیت، توسعه شهری و نیز اقتصاد انرژی در کشور ما، تولید ۹۰ هزار مگاوات برق در سال ۲۰۲۰ را اجتناب ناپذیر ساخته است. در حدود ۹۸ درصد ظرفیت تولید فعلی نیروگاههای برق کشور به کاربرد سوخت‌های فسیلی متکی است؛ حال آنکه محدودیت منابع سوخت‌های فسیلی، رشد مصرف داخلی و نبود منابع کافی برای صادرات از یک سو و موازین و معیارهای زیست محیطی از سوی دیگر، کاربرد انرژی‌های تجدیدپذیر در بستر تولید را اجتناب ناپذیر ساخته است.(۲۱)

به رغم پتانسیل‌های بسیار مناسب به منظور کاربرد انرژی زمین‌گرمایی، به دلیل عدم سیاست‌های کلان در زمینه به کارگیری انرژی تجدیدپذیر و فقدان فناوری مناسب در خصوص حفاری عمیق، مهندسی مخازن، ساخت و نیز بهره‌برداری از نیروگاههای زمین‌گرمایی و بالاخره وجود رقیب سرسخت منابع ارزان سوخت‌های فسیلی، بهره‌برداری از پتانسیل‌های انرژی زمین‌گرمایی کماکان جدی گرفته نشده است.(۵)

در ایران از سال ۱۳۵۴ به منظور شناسایی پتانسیل‌های منبع انرژی زمین‌گرمایی مطالعات گستره‌ای توسط وزارت نیرو با همکاری مهندسین مشاور ایتالیایی اینل<sup>۱</sup> در نواحی شمال و شمال غرب ایران در محدوده‌ای به وسعت ۲۶۰ هزار کیلومتر مربع آغاز گردید. نتیجه این تحقیقات مشخص نمود که مناطق سبلان، دماوند، خوی، ماکو و سهند با مساحتی بالغ بر ۳۱ هزار کیلومتر مربع جهت انجام مطالعات تکمیلی و بهره‌برداری از انرژی زمین‌گرمایی مناسب می‌باشند. در همین راستا برنامه اکتشاف مشتمل بر بررسی‌های زمین‌شناسی، ژئوفیزیک و ژئوشیمیایی برنامه‌ریزی شد.

در سال ۱۳۶۱ با پایان یافتن مطالعات اکتشاف مقدماتی در هریک از مناطق ذکر شده، نواحی مستعد با دقت بیشتری شناسایی شده و در نتیجه در مناطق سبلان، دماوند، ماکو، خوی و در منطقه سهند جهت تمرکز فعالیتهای فاز اکتشاف تکمیلی، انتخاب شدند.

در اولویت اول به منظور ادامه مطالعات قبلی و تکمیل نمودن فاز اکتشاف در ناحیه مشکین شهر در سال ۱۳۷۴، کارشناسان معاونت امور انرژی وزارت نیرو با هدف نصب اولین نیروگاه زمین‌گرمایی در کشور برنامه فاز اکتشاف تکمیلی را تهیه و بخش مطالعات سطح زمینی شامل عملیات ژئوفیزیکی، زمین‌شناسی و بررسی‌های ژئوشیمیایی و ماهواره‌ای آغاز گردید. این مطالعات توسط مهندسین مشاور کینگستون موریسون از کشور نیوزلند و با مدیریت سازمان انرژی‌های نو ایران در سال ۱۳۷۷ به انجام رسید که حاصل این مطالعات منجر به تخمین درجه حرارت احتمالی مخزن در حد ۲۴۰ درجه سانتی‌گراد و تعیین نقاط حفاری‌های اکتشافی در دامنه‌های شمالی سبلان مشرف به جنوب شهرستان مشکین شهر گردید. با هدف دستیابی به نقاط حفاری و آماده‌سازی سایت‌های حفاری و همچنین ساخت تجهیزات مربوط به تست چاه‌ها، شرکت مشانیر به منظور تهیه نقشه‌های اجرایی و سپس نظارت بر مراحل ساخت، به عنوان مشاور و ناظر ایرانی برگزیده شده و پیمانکاران نیز از طریق برگزاری مناقصات انتخاب شدند و در نتیجه با اعتباری بالغ بر ۲۰ میلیارد ریال، کار ترمیم راه مشکین شهر به مؤئیل به طول ۱۶ کیلومتر و احداث جاده‌های دسترسی از روستای

موئیل به سایت‌های حفاری به طول ۹ کیلومتر، ترمیم و احداث چند دهانه پل، احداث کمپ مرکزی شامل سوله‌های نگهداری تجهیزات و مواد مصرفی حفاری و کمپ رفاهی جهت اسکان پرسنل در سایت، احداث سه سکوی حفاری و تاسیسات آبرسانی شامل ایستگاه پمپاژ، مخزن ذخیره آب با گنجایش ۵ هزار متر مکعب و خط لوله انتقال آب به طول ۷ کیلومتر و همچنین ساخت تجهیزات و ادوات مربوط به آزمایش چاهها طی سال‌های ۱۳۷۹ تا ۱۳۸۱ به اجرا درآمد.

همزمان به منظور انتخاب پیمانکار برای انجام حفاری‌های اکتشافی طی یک مناقصه بین المللی، شرکت ملی حفاری به عنوان پیمانکار حفاری انتخاب شد. عملیات اجرایی حفر اولین چاه اکتشافی زمین‌گرمایی ایران به عمق ۳ هزار متر، آبان ماه ۱۳۸۱ آغاز و با نظارت مهندسین مشاور (اس.کی.ام<sup>۱</sup>) از نیوزلند و تحت بدترین شرایط جوی و دمای ۳۰ درجه سانتی‌گراد زیر صفر در طول زمستان ادامه یافت. عملیات حفاری اولین چاه در پایان اردیبهشت ماه سال ۱۳۸۲ خاتمه یافت و طی مدت ۱۸ ماه حفاری‌های اکتشافی شامل سه حلقه چاه اکتشافی عمیق با عمق‌های ۳۲۰۰، ۳۱۷۶ و ۲۲۶۰ متر و دو حلقه چاه تزریقی با عمق ۶۵۰ متر به پایان رسید. پس از به پایان رسیدن عملیات حفاری، تجهیزات فلزی تست جریان چاه در محل مورد نظر نصب گردید و در سال ۱۳۸۳ عملیات تست اولین چاه زمین‌گرمایی کشور در سایت A آغاز گردید. تست دومین چاه زمین‌گرمایی نیز در همان سال در سایت B انجام شد.

همزمان با کلیه فعالیت‌های ذکر شده، سازمان انرژی‌های نو ایران با همکاری سازمان بهره‌وری انرژی ایران، ضمن تجهیز آزمایشگاه و ایستگاه پایش صحرایی، مطالعات سیستماتیک و گستردگی را جهت پایش محیط زیست منطقه و کنترل اثرات زیست محیطی ناشی از اجرای طرح انجام داد. در سال ۱۳۸۸ پس از انجام مطالعات اولیه ارزیابی مخزن زمین‌گرمایی سبلان و نیز توسعه مطالعات ژئوفیزیک سایت‌های C، D و E برای توسعه میدان زمین‌گرمایی انتخاب گردید. با انجام عملیات عمرانی مورد نیاز، عملیات حفاری سه حلقه چاه در سایت D، دو حلقه چاه در سایت E و یک حلقه چاه در سایت C انجام شد. پس از پایان یافتن تست چاهها،

اطلاعات مورد نیاز جهت مدل‌سازی و مطالعات مهندسی مخزن و در نتیجه برآورده پتانسیل حرارتی مخزن زمین‌گرمایی در منطقه مشکین شهر فراهم شد و در نهایت مطالعات امکان‌سنجی طرح ضمن ارائه طرح توسعه و بهره‌برداری از میدان زمین‌گرمایی سبلان ادامه یافت. پس از مطالعات و تست‌های انجام شده، مشخصات چاه‌های اکتشافی بدست آمد که در

جدول ۱-۲ بیان شده است:

جدول (۱-۲) مشخصات چاه‌های اکتشافی مشکین شهر (۲۱)

نام چاه و محل آن	عمق چاه (متر)	دما در عمق چاه (°C)	فشار سر چاه (Bar)	دمای سیال (°C)	آنالپی (Kj/Kg)	دبی سیال (Kg/S)
۳۱۹۶	۲۵۰	۳/۳-۱/۴	۱۱۰	۹۸۰	(Site A)	۳۰
۲۲۶۵	۲۴۵	۱۰/۵-۵	۱۳۰	۱۰۰۰	(Site B)	۶۰

بر طبق محاسبات پارامترهای مخزن زمین‌گرمایی تخمین زده شده که چاه سایت A بین ۱/۵ تا ۲ مگاوات و سایت B بین ۳/۵ تا ۴ مگاوات، توانایی تولید برق را دارند. در نهایت آخرین مطالعات و اقدامات انجام شده در منطقه مشکین شهر تا اکنون به شرح زیر است:

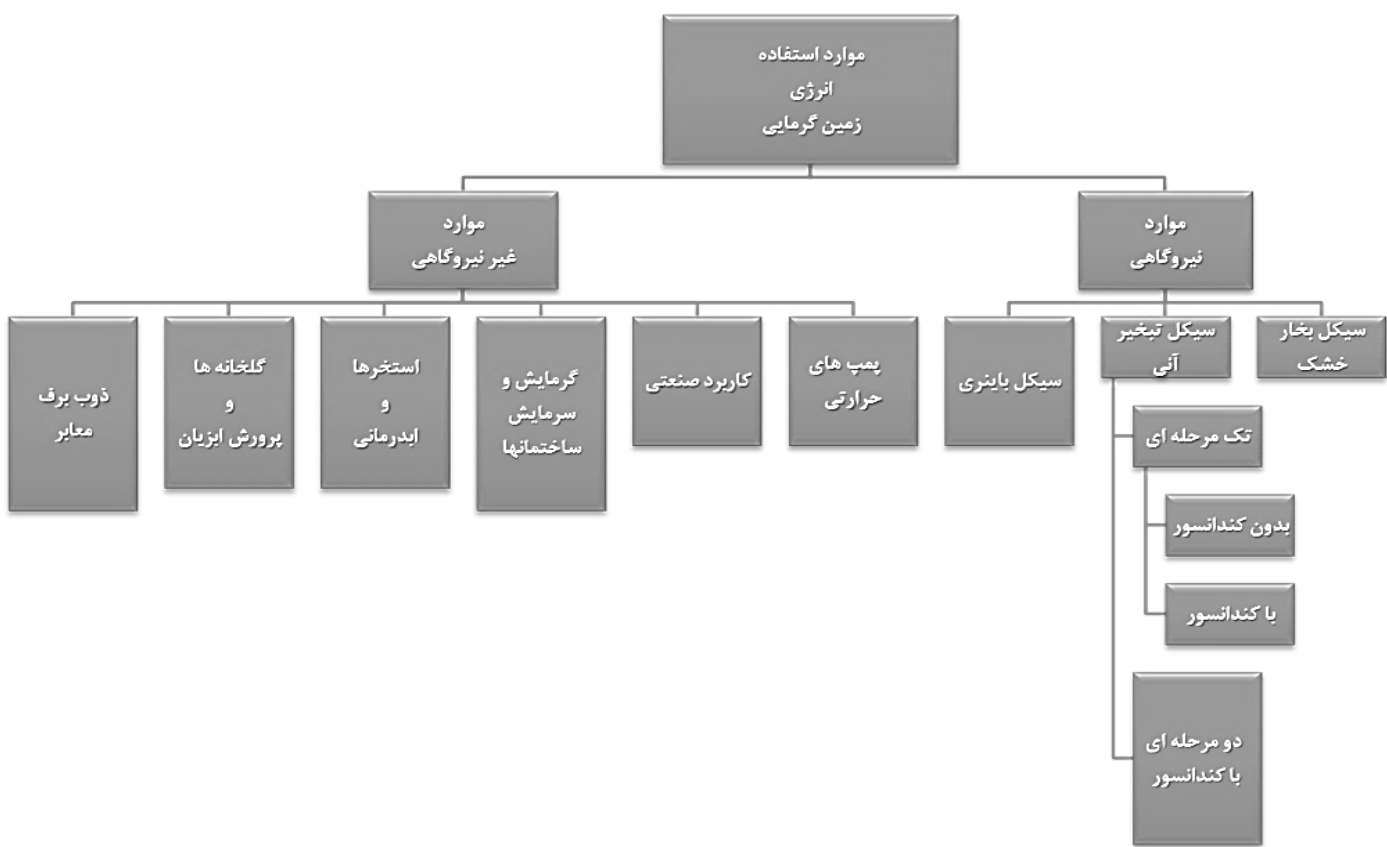
- مکان‌یابی چاه‌های جدید جهت توسعه میدان زمین‌گرمایی
- انجام عملیات مرمت، راهداری، برفروبی و آسفالت راهها
- ترمیم سایت‌های A، B و C
- احداث سایت‌های D و E
- احیای چاه تولیدی سایت A
- برداشت اطلاعات چشم‌های آب‌گرم منطقه با هدف ارزیابی اثرات احتمالی زیست محیطی ناشی از توسعه طرح حین عملیات حفاری (۲۱)

## ۶-۲- بهره‌برداری از انرژی زمین‌گرمایی

بهره‌برداری از انرژی زمین‌گرمایی به دو روش کلی که در شکل زیر نشان داده شده است، امکان‌پذیر می‌باشد که عبارتند از:

الف) - استفاده غیر مستقیم یا روش نیروگاهی

ب) - استفاده مستقیم یا روش غیر نیروگاهی (۴)



شکل (۳-۲) شماتیک موارد استفاده از انرژی زمین گرمایی (۲۳)

تفاوت این دو روش در آن است که در روش غیر مستقیم یا همان نیروگاهی از انرژی زمین به طور مستقیم بهره‌برداری نمی‌کنند، بلکه ابتدا آن را در نیروگاههای تولید برق به روش‌های گوناگون تبدیل به انرژی الکتریکی کرده و سپس از انرژی برق در مصارف خانگی

و تجاری و صنعتی استفاده می‌کنند، ولی در روش مستقیم از انرژی گرمایی زمین برای مصارف مورد نظر استفاده می‌کنند.(۴)

## ۲-۱-۶- استفاده غیر مستقیم یا نیروگاهی از انرژی زمین گرمایی

یکی از انواع نیروگاههای انرژی‌های تجدیدپذیر، نیروگاه زمین‌گرمایی می‌باشد. اگر این نیروگاهها را با سایر نیروگاههای انرژی‌های نو مقایسه کنیم، مشاهده می‌کنیم که نیروگاههای زمین‌گرمایی به دلیل بالا بودن ضریب دسترسی (۸۵٪ زمان در سال)، در جهان از اهمیت فراوانی برخوردارند و از این نوع نیروگاهها می‌توان به عنوان بار پایه شبکه استفاده نمود.(۲۳)

یکی از انواع دسته بندی نیروگاههای زمین‌گرمایی بدین صورت است که بر اساس نوع سیال خروجی از چاههای تولیدی و نیز تجهیزات مورد استفاده در سیکل نیروگاه، آن‌ها را دسته بندی نمود. بر این اساس نیروگاههای زمین گرمایی به سه دسته تقسیم می‌شوند که عبارتند از:

الف- نیروگاههایی که سیال خروجی از چاه، بخار باشد.

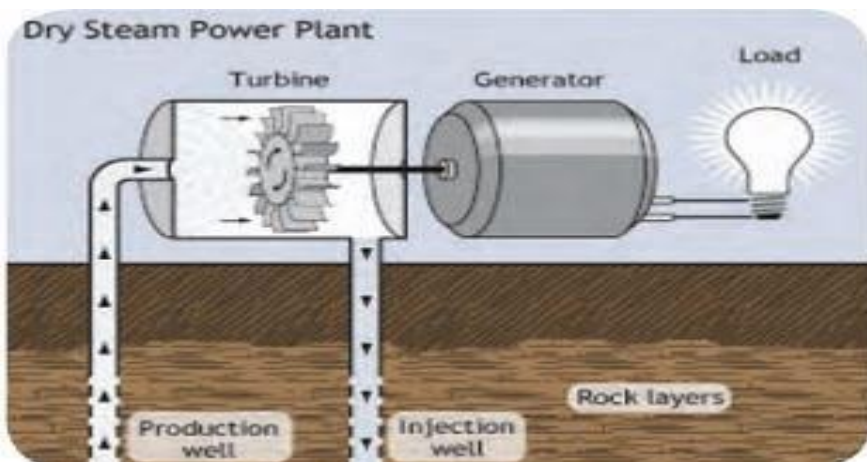
ب- نیروگاههایی که سیال خروجی از چاه، بخار و مایع باشد.

ج- نیروگاههایی که سیال خروجی از چاه، مایع داغ باشد.

همان‌طور که ذکر شد، این نوع دسته بندی بر اساس سیال خروجی از چاه تقسیم بندی شده است و هر نوع از نیروگاههای مذکور بر اساس تجهیزات در نظر گرفته شده در سیکل نیروگاههای دیگر متفاوت می‌باشند که توضیحات آن در زیر ارائه شده است. (۴)

## ۲-۱-۳-۱- نیروگاه با سیال کاملاً بخار<sup>۱</sup>

در این نوع نیروگاهها سیال خروجی از چاههای تولیدی<sup>۲</sup> کاملاً بخار بوده و می‌توان بخار آن را مستقیم به توربین منتقل نمود تا با فشار سیال، با به حرکت درآوردن توربین و با استفاده از ژنراتور تولید برق انجام گیرد. در انتهای سیال خروجی به یک دستگاه صدا خفه کن<sup>۳</sup> منتقل می‌شود تا آن قسمت از سیال که به صورت بخار بوده به فضا منتقل شود. در انتهای می‌توان از مایع گرم خروجی از توربین برای استفاده‌های مستقیم انرژی زمین‌گرمایی استفاده نمود یا آن را به داخل چاههای تزریق منتقل نمود.<sup>(۳)</sup>



شکل (۲-۴) نیروگاه زمین‌گرمایی با سیال کاملاً بخار<sup>(۳)</sup>

## ۲-۱-۳-۲- نیروگاه با سیال دو فازی<sup>۴</sup>

در این نوع نیروگاه، سیال خروجی از چاههای تولیدی به صورت دو فاز مایع و بخار می‌باشد. می‌توان نیروگاههای سیال دوفازی را بر اساس سیکل و تجهیزات مورد استفاده در آن به سه دسته تقسیم نمود:<sup>(۳)</sup>

---

1 - Dry Steam  
2 - Production Wells  
3 - Silencer  
4 - Steam Flash

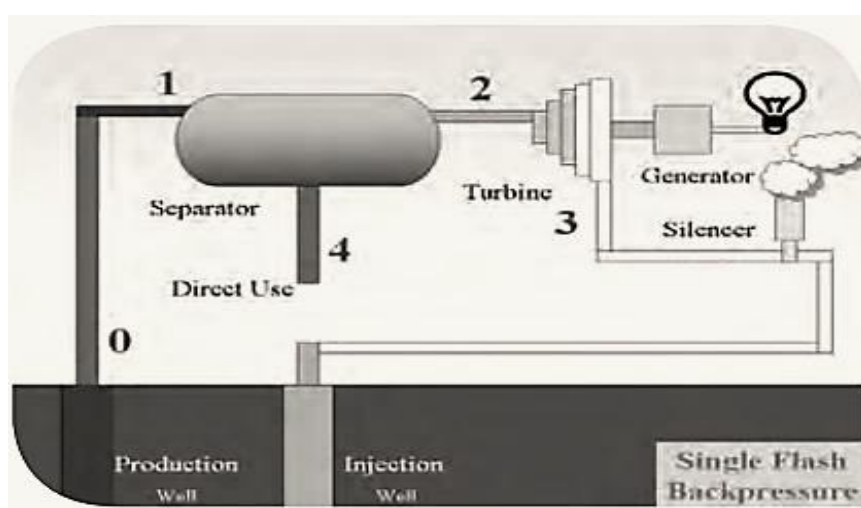
الف- نیروگاه بخار تک مرحله‌ای با خروجی اتمسفر<sup>۱</sup>

ب- نیروگاه بخار تک مرحله‌ای با کندانسور<sup>۲</sup>

ج- نیروگاه بخار دو مرحله‌ای<sup>۳</sup>

### ۱-۲-۱-۳-۲- نیروگاه بخار تک مرحله‌ای با خروجی اتمسفر

در این نوع نیروگاه سیال خروجی از چاههای تولیدی توسط خطوط انتقال لوله به داخل مخزن تفکیک‌کننده<sup>۴</sup> هدایت می‌شوند. در مخزن تفکیک‌کننده به دلیل افت فشار، قسمتی از سیال به بخار تبدیل شده و از قسمت خروجی بخار مخزن خارج می‌شود و به داخل توربین هدایت می‌شود. در این نیروگاه خروجی توربین به فضا منتقل می‌شود؛ در نتیجه میزان تولید توان در توربین و تولید برق در ژنراتور به فشار سیال و فشار جو بستگی خواهد داشت. درصد ظرفیت نصب شده این نوع نیروگاهها به نسبت سایر نیروگاههای زمین‌گرمایی ۱٪، میزان انرژی تولیدی ۴٪ و تعداد واحدهای نیروگاهی ۵٪ می‌باشد. شکل شماتیک نیروگاه بخار تک مرحله‌ای با خروجی اتمسفر در شکل ۲-۵ آمده است.<sup>(۳)</sup>



شکل (۲-۵) نیروگاه زمین‌گرمایی بخار تک مرحله‌ای با خروجی اتمسفر<sup>(۳)</sup>

1 - Single Flash Backpressure

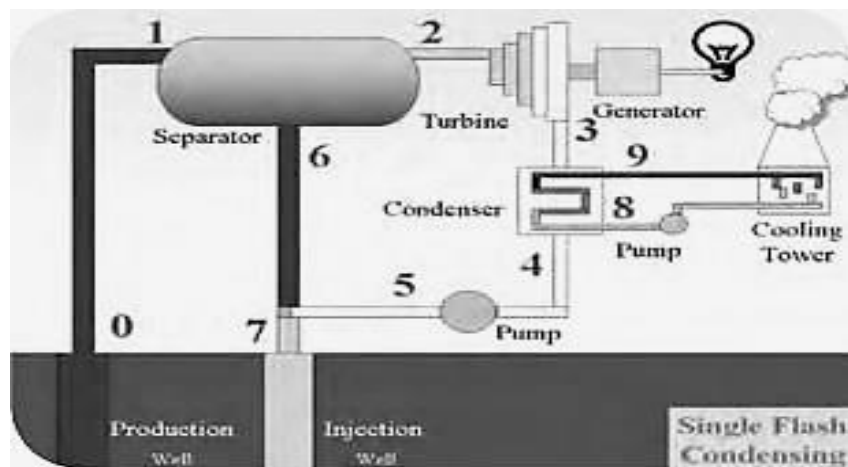
2 - Single Flash Condensing

3 - Double Flash Condensing

4 - Separator

## ۲-۱-۳-۲- نیروگاه بخار تک مرحله‌ای با کندانسور

تفاوت میان نوع نیروگاه‌های زمین‌گرمایی با نیروگاه بخار تک مرحله‌ای با خروجی اتمسفر در این است که در این نیروگاه، سیال خروجی از توربین به داخل کندانسور منتقل شود تا توسط آب سردی که توسط برج خنک کن تأمین شده و با پمپ به داخل کندانسور هدایت می‌شود، ترکیب شود تا باعث کاهش فشار بعد از توربین شده و ضمن افزایش راندمان نیروگاه، میزان تولید برق افزایش یابد. درصد ظرفیت نصب شده این نوع نیروگاه‌ها به نسبت سایر نیروگاه‌های زمین‌گرمایی ۴۱٪، میزان انرژی تولیدی ۴۲٪ و تعداد واحدهای نیروگاهی ۲۷٪ می‌باشد. شکل ۲-۶ این نیروگاه را نشان می‌دهد.<sup>(۳)</sup>

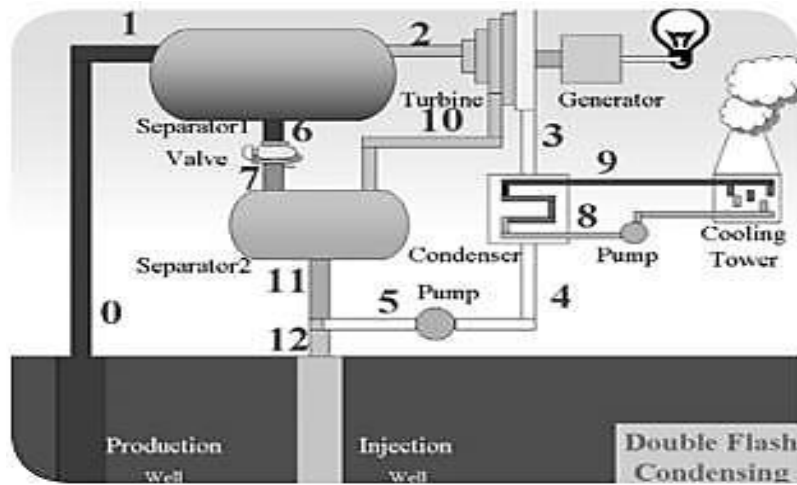


شکل (۲-۶) نیروگاه زمین‌گرمایی بخار تک مرحله‌ای با کندانسور (۳)

## ۲-۱-۳-۳- نیروگاه بخار دو مرحله‌ای

در این نیروگاه زمین‌گرمایی به دلیل بالا بودن میزان دبی فاز مایع و نیز فشار آن، می‌توان با کاهش فشار مایع خروجی از مخزن تفکیک‌کننده اول در یک مخزن تفکیک‌کننده دیگر نسبت به افزایش دبی بخار اقدام نمود و بخار تولید شده در مخزن تفکیک‌کننده دوم را به داخل قسمت‌های کم فشار توربین فرستاد تا بتوان میزان توان تولیدی در توربین و در نتیجه میزان تولید برق در ژنراتور را افزایش داد. درصد ظرفیت نصب شده این نوع نیروگاه‌ها به

نسبت سایر نیروگاههای زمین گرمایی ۰٪/۲۰، میزان انرژی تولیدی ۰٪/۲۱ و تعداد واحدهای نیروگاهی ۱٪/۱۲ میباشد. شماتیک نیروگاه بخار دو مرحله‌ای در شکل ۷-۲ آمده است.(۳)

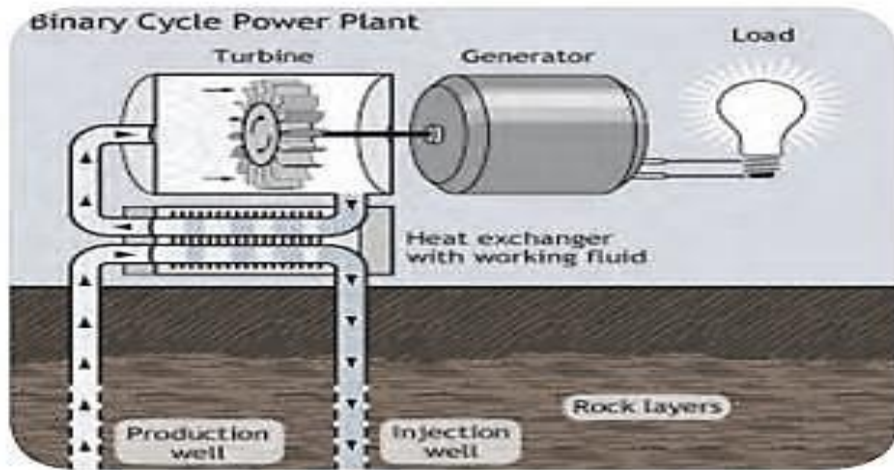


شکل (۷-۲) نیروگاه زمین گرمایی بخار دو مرحله‌ای (۳)

### ۱-۳-۲-۳- نیروگاه با سیال کاملاً مایع داغ<sup>۱</sup>

در این نوع نیروگاههای زمین گرمایی سیال خروجی از چاههای زمین گرمایی به صورت مایع داغ و فاقد هرگونه بخار میباشد. در این حالت میتوان با استفاده از یک مبدل حرارتی، حرارت موجود در سیال زمین گرمایی را به سیال دیگری مانند ایزوپتان، ایزوپوتان و سایر مواد دیگری که با حداقل حرارت میتوانند به بخار تبدیل شوند، منتقل نمود و با انتقال بخار این سیالات به وسیله لوله به توربین، نسبت به تولید توان و سپس تولید برق در ژنراتور اقدام نمود. نام دیگر این نوع نیروگاههای زمین گرمایی، نیروگاههای دوسیاله نیز میباشد. درصد ظرفیت نصب شده این نوع نیروگاهها به نسبت سایر نیروگاههای زمین گرمایی ۱٪/۱۱، میزان انرژی تولیدی ۹٪ و تعداد واحدهای نیروگاهی ۴٪/۴۴ میباشد. شکل شماتیک نیروگاه با سیال کاملاً مایع داغ در شکل ۷-۸ آمده است.

۱ - Binary



شکل (۲-۸) نیروگاه زمین گرمایی با سیال کاملاً مایع داغ (۳)

نکته قابل توجه این است که پیشرفته‌ترین نوع نیروگاه زمین گرمایی از نوع مایع داغ را می‌توان با نام نیروگاه کالینا نام برد که با حداقل دمای سیال ورودی (در حدود ۸۰ درجه سانتی گراد) می‌تواند برق تولید کند. در این نوع نیروگاه سیال عامل ترکیبی از آب و آمونیاک می‌باشد. در بعضی از نیروگاه‌های زمین گرمایی به منظور افزایش میزان تولید، نیروگاه‌های بخار تک مرحله‌ای و نیروگاه‌های دوسیاله را به صورت موازی یا سری مورد استفاده قرار می‌دهند. (۳)

## ۲-۶-۲- روش‌های استفاده مستقیم یا غیر نیروگاهی

از انرژی زمین گرمایی به طور مستقیم نیز می‌توان بهره‌برداری نمود؛ که در بعضی مراجع روش غیرنیروگاهی نامیده می‌شود. روش‌های استفاده مستقیم از انرژی زمین گرمایی به شرح زیر است: استخراج‌های آبگرم، مراکز گلخانه‌ای، حوضچه‌های پرورش ماهی، ذوب برف، پیشگیری از یخ‌بندان در معابر، کاربردهای صنعتی انرژی زمین گرمایی و پمپ حرارتی. (۴)

## ۷-۲- پمپ حرارتی

سیستمی است که قابلیت سرمایش یا گرمایش ساختمان را به اقتضای فصل دارد. این سیستم اساساً یک واحد تبرید است که می‌توان از طریق یک شیر مخصوص، مسیر سیال مبرد

را در آن تغییر داده و اوپرатор آن را به کندانسور یا بالعکس تبدیل نمود؛ بدین ترتیب هوا در عبور از روی کویلی که در تابستان نقش اوپرатор را بازی می کند، خنک شده و در زمستان با گذر از روی همین کویل که توسط شیر مخصوص تبدیل به کندانسور شده است، گرم می گردد. بدین صورت اوپرатор و کندانسور این سیکل تبرید به اقتضای فصل، به صورت متناوب نقش یکدیگر را ایغا خواهد کرد.

پمپ‌های حرارتی با توجه به سیکل حرارتی به انواع مختلفی تقسیم می‌گردند که عبارتند از:

#### ۱- پمپ حرارتی با سیستم تراکمی

#### ۲- پمپ حرارتی با سیستم جذبی

فرق پمپ حرارتی جذبی با پمپ حرارتی تراکمی در حالت کلی، در این است که پمپ حرارتی جذبی دارای دو نوع مبدل حرارتی بنام مولد و جاذب است که در واقع کار کمپرسور را انجام می‌دهند. (۶)

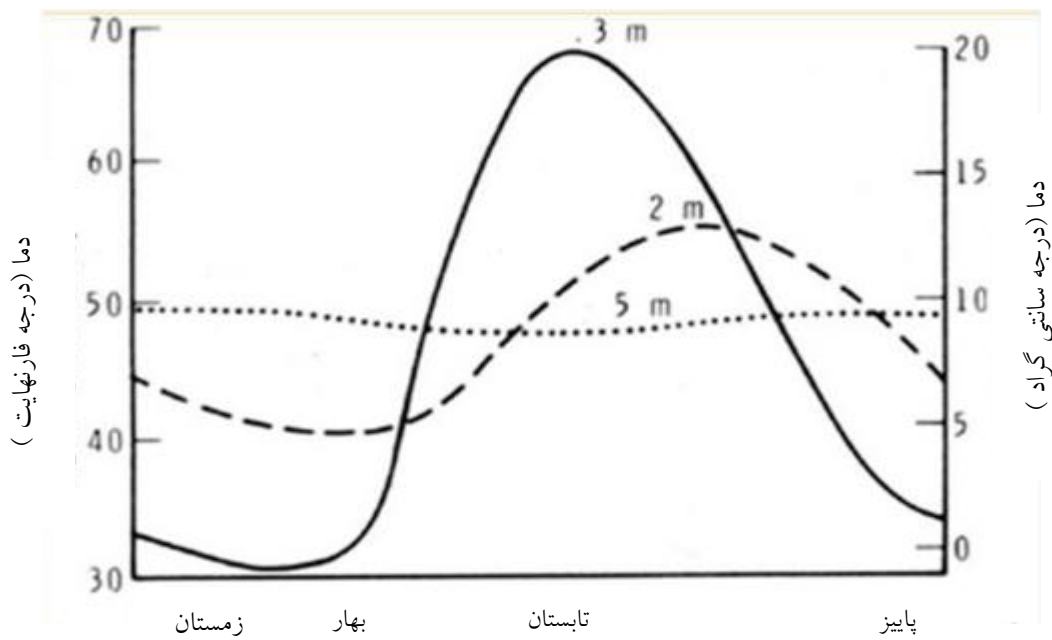
### ۱-۱-۲- قاریخچه پمپ حرارتی

اولین بار پمپ حرارتی توسط لرد کلوین<sup>۱</sup> در سال ۱۸۵۳ میلادی معرفی شد و توسط پیتر ریتینگر<sup>۲</sup> در سال ۱۸۵۵ توسعه پیدا کرد. اولین پمپ حرارتی زمین گرمایی در اوخر دهه ۴۰ طراحی شد. این تکنولوژی در دهه ۷۰ در سوئد بسیار محبوب گردید و بعد از آن به تدریج در سراسر جهان مورد پذیرش قرار گرفت. تا سال ۲۰۰۴ بیش از یک میلیون واحد پمپ حرارتی در سراسر جهان نصب گردید که ظرفیت آنها ۱۲ گیگاوات حرارت بود. هر سال حدود هشتاد هزار واحد در آمریکا و همچنین بیست و هفت هزار واحد در سوئد نصب می‌شوند. (۲۰)

1 - Lord Kelvin  
2- Peter Ritter Von Rittinger

## ۲-۷-۲- پمپ حرارتی زمین گرمایی

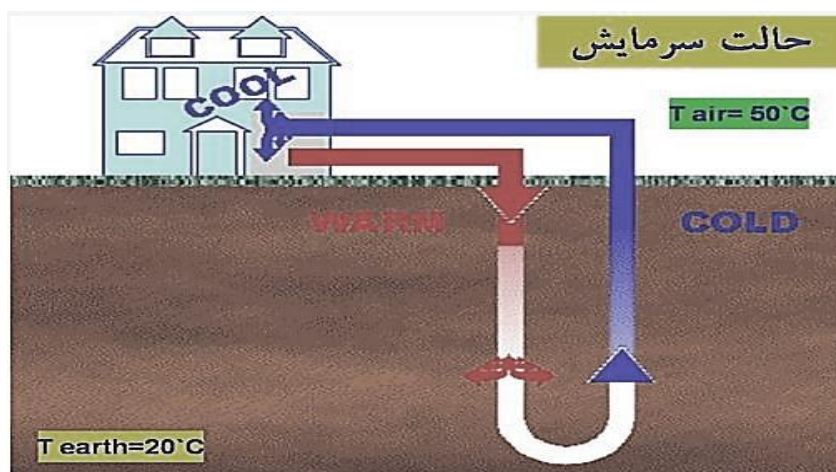
اگر منحنی تغییرات دما زمین در اعماق را در طول یک سال رسم نماییم، مشاهده می شود که هرچه به عمق زمین نزدیکتر شویم، میزان تغییرات دما زمین در طول سال دارای تغییرات کمتری خواهد بود. همانگونه که در شکل زیر مشاهده می شود، از حدود ۳ تا ۴ متری از سطح زمین تغییرات دما و نوسانات آن در طول یک سال بسیار ناچیز می باشد. این در حالی است که میزان تغییرات دما هوا دارای نوسانات بسیار زیادی می باشد. شکل ۲-۹ میزان نوسانات دما خاک در طول یک سال را نشان می دهد.



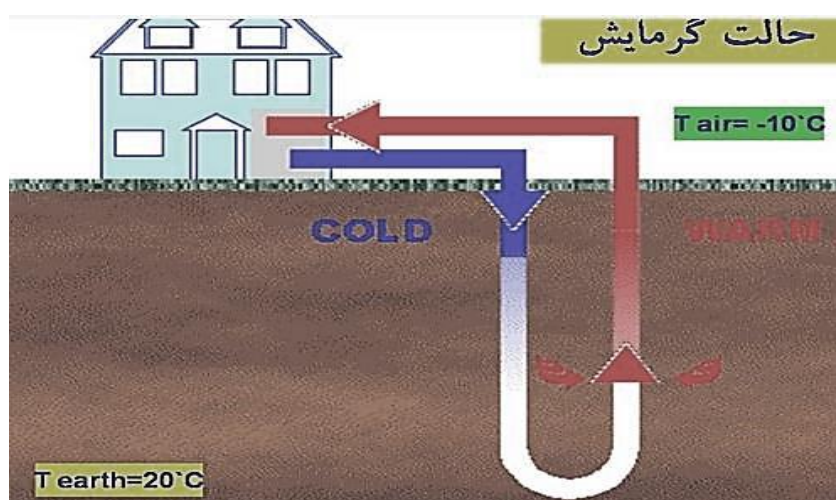
شکل (۲-۹) نمودار میزان نوسانات دما خاک در طول یک سال (۲۳)

این امر به این معنی است که زمین منبع خوبی برای تامین گرمایش در ماههای سرد سال است و می توان از حرارت زمین برای گرمایش ساختمانها استفاده نمود و همچنین از آن می توان برای تامین سرمایش در ماههای گرم سال استفاده بهینه نمود. (۲۳)

فرآیند مکانیکی این دستگاه به این صورت است که در فاز سرمایش هوای گرم داخل اتاق از طریق مکنده وارد دستگاه شده و پس از سرد شدن به داخل اتاق دمیده می‌شود. در داخل دستگاه، حرارت به مبرد منتقل شده و پس از عبور مبرد از سیکل تبرید، حرارت موجود در مبرد توسط یک مبدل دو لوله‌ای به آب داخل کویل زمینی که در داخل لوله‌های پلی اتیلنی نصب شده در داخل زمین است منتقل می‌شود. بالعکس در فاز گرمایش با استفاده از حرارت موجود در زمین، گرمایی مورد نیاز ساختمان تامین می‌شود. شکل ۲-۱۰ حالت سرمایش و شکل ۲-۱۱ حالت گرمایش یک ساختمان با استفاده از انرژی زمین گرمایی را نشان می‌دهد.

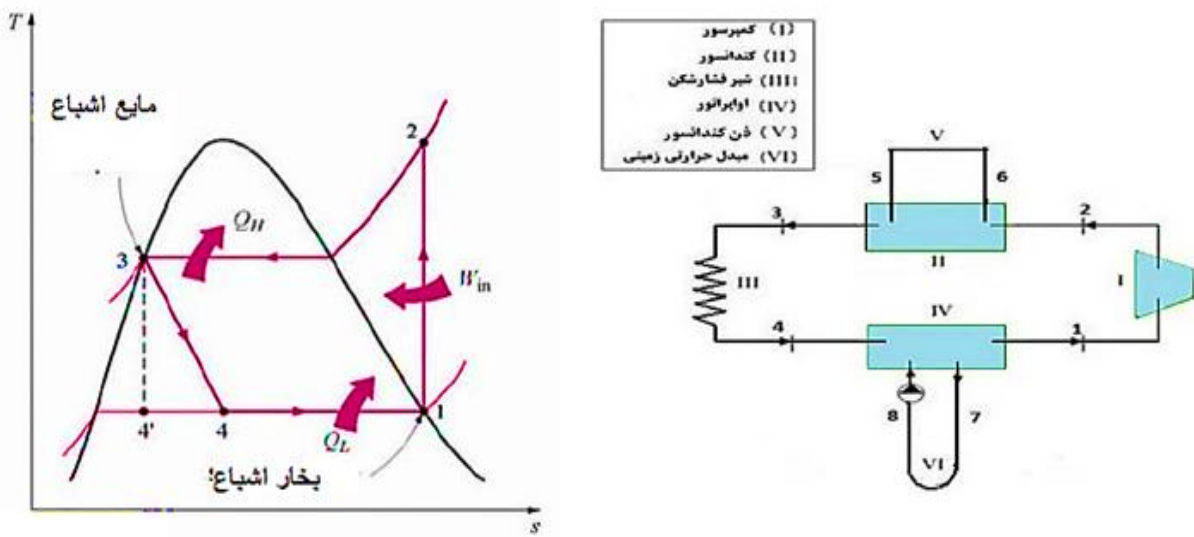


شکل (۲-۱۰) فرآیند سرمایش پمپ حرارتی زمین گرمایی (۲۳)



شکل (۲-۱۱) فرآیند گرمایش پمپ حرارتی زمین گرمایی (۲۳)

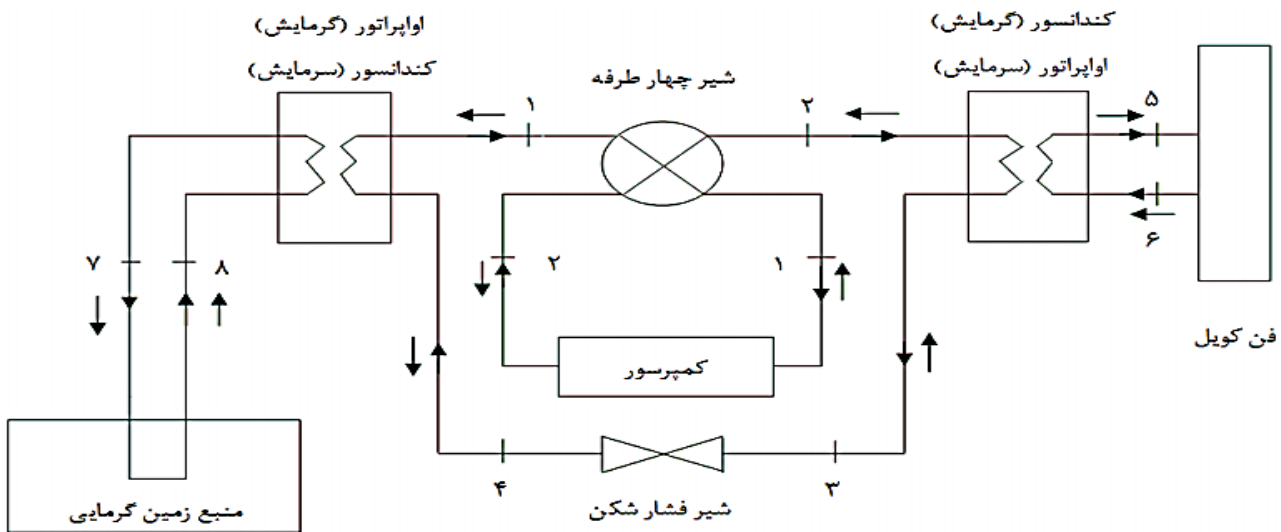
سیستم پمپ حرارتی زمین گرمایی از دو قسمت کویل زمینی و دستگاه پمپ حرارتی زمین گرمایی تشکیل شده است که تبادل حرارتی بین دستگاه و زمین از طریق کویل زمینی انجام می‌شود. شماتیک یک پمپ حرارتی زمین گرمایی و نمودار T-S آن در شکل ۱۲-۲ نشان داده شده است. اجزای اصلی سیستم عبارتند از: کمپرسور، کندانسور، شیر فشارشکن و اوپراتور (۲۳)



شکل (۱۲ - ۲) سیکل پمپ حرارتی زمین گرمایی و نمودار T-S (۴)

اجزای سیستم همان طور که در شکل مشخص است به یک مبدل متصل می‌باشند. گرمای زمین از طریق سیال گردشی داخل مبدل حرارتی، به اوپراتور منتقل شده و اوپراتور از این گرما استفاده نموده و مبرد را تبخیر می‌کند. مبرد بخار شده وارد کمپرسور شده و تا دما و فشار بالاتری متراکم می‌گردد. مبرد سپس وارد کندانسور شده و در آن‌جا چگالش یافته و گرمای مفیدی که انتظار داریم را آزاد می‌کند. شیر فشارشکن مبرد را کاهش داده و طبیعتاً دمای آن نیز کاهش پیدا می‌کند. مبرد به اوپراتور بر می‌گردد و پروسه تکرار می‌گردد. (۲۲)

شکل ۱۲ - ۳ شماتیک پمپ حرارتی زمین گرمایی در حالت گرمایش و سرمایش را نشان می‌دهد.



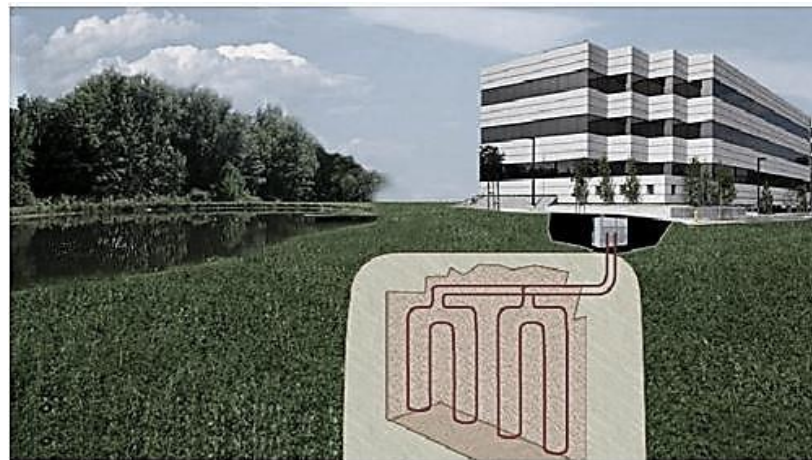
شکل (۱۳) شماتیک پمپ حرارتی زمین گرمایشی در حالت های گرمایش و سرمایش (۷)  
(فلش های روی مسیر نشانگر گرمایش و خارج مسیر نشانگر سرمایش هستند.)

### ۳-۷-۲- انواع کویل زمینی سیستم پمپ حرارتی زمین گرمایی

کویل زمینی سیستم پمپ حرارتی زمین گرمایی، مبدل حرارتی نیز نامیده می شود که به  
شرح انواع آن می پردازیم:

#### ۱-۳-۷-۲- سیکل بسته عمودی

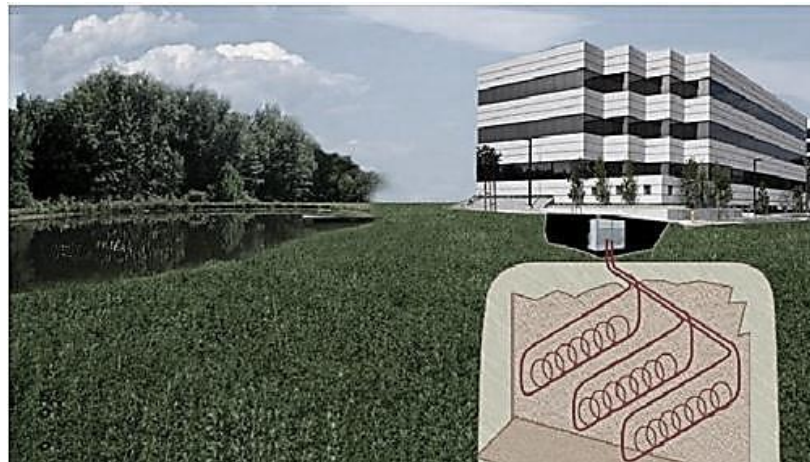
معمولی ترین سیکل استفاده شده در پمپ های حرارتی زمین گرمایی سیکل بسته  
عمودی است. برای نصب این سیکل ابتدا محل حفاری مشخص می شود، سپس عمق چاه یا  
چاههای مورد نیاز محاسبه می شود، که این مترادز بر اساس دمای زمین، جنس خاک، وجود  
چشممهای آبرگم زیرزمینی و دمای آنها، دمای مورد نیاز برای پمپ حرارتی و تامین گرمایش  
و سرمایش فضاهای مورد نیاز بدست می آید. سیال چرخشی به صورت بسته در داخل مبدل  
گردش پیدا می کند و حرارت را از زمین به پمپ حرارتی منتقل می کند. معمولاً این سیکل به  
صورت U شکل نصب می شود و از این رو این سیکل را با نام سیکل بسته عمودی U شکل  
نیز شناخته می شود. شکل ۱۴-۲ شماتیک کویل زمینی بسته عمودی را نشان می دهد.(۴)



شکل (۲-۱۴) کویل زمینی بسته عمودی (۴)

#### ۲-۳-۷-۲- سیکل بسته افقی

این سیکل به فضای قابل ملاحظه‌ای برای نصب نیاز دارد. سیال گردشی در مبدل چرخش داشته و حرارت را از زمین به پمپ حرارتی منتقل می‌کند. این سیکل افقی و بسته نصب می‌شود. شکل ۲-۱۵ شماتیک کویل زمینی بسته افقی را نشان می‌دهد.(۴)

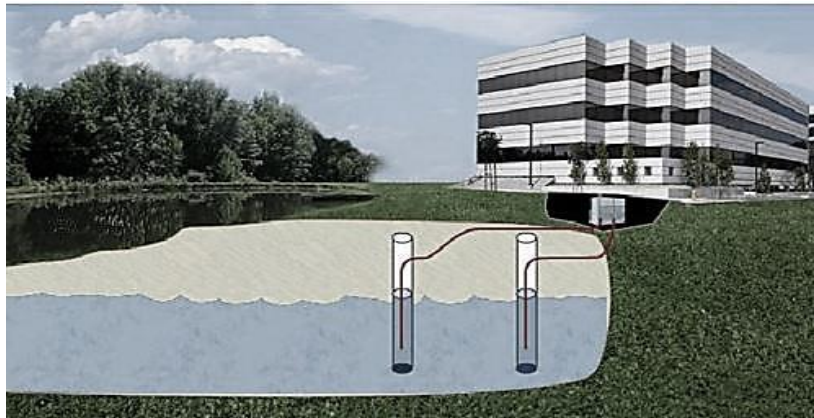


شکل (۲-۱۵) کویل زمینی بسته افقی (۴)

#### ۲-۳-۷-۳- سیکل باز

اگر در نزدیکی فضای مورد نیاز، چشممه آبگرم وجود داشته باشد، می‌توان از سیکل باز بهره برد. در این سیکل، سیال که همان چشممه آبگرم است؛ از چاه برداشت خارج می‌شود و به

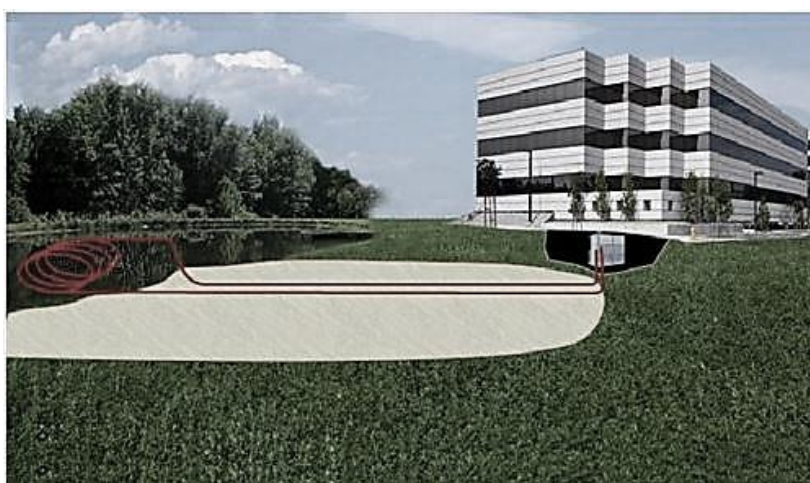
پمپ حرارتی منتقل می‌شود و مابقی آب از طریق چاه تزریق، دوباره به چشمہ باز می‌گردد و پرسه دوباره تکرار می‌شود. شکل ۲-۱۶ شماتیک کویل زمینی باز را نشان می‌دهد.<sup>(۵)</sup>



شکل (۲-۱۶) کویل زمینی باز (۴)

#### ۲-۳-۶-۴- سیکل دریاچه

اگر در نزدیکی فضای مورد نیاز، آبگرم سطحی وجود داشته باشد؛ می‌توان از این سیکل استفاده کرد. این سکل از نوع باز و سیال گردشی نیز، آب سطحی یا دریاچه است. شکل ۲-۱۷ شماتیک کویل زمینی دریاچه را نشان می‌دهد.



شکل (۲-۱۷) کویل زمینی دریاچه (۴)

مقدار طول لوله کویل زمینی با توجه به بار برودتی و حرارتی ساختمان محاسبه می‌شود؛ نوع و چیدمان کویل زمینی بر اساس میزان رطوبت، میزان بارش برف و باران، ضریب انتقال حرارت خاک، عمق آب‌های زیرزمینی و ... انتخاب خواهد شد.(۴)

## ۴-۷-۲- انواع پمپ حرارتی زمین گرمایی بر اساس سیال

پمپ حرارتی زمین گرمایی بر اساس سیالی که گرمایش و سرمایش فضای ساختمان را تأمین می‌کند، به دو دسته تقسیم می‌شوند که عبارتند از:

### ۴-۷-۲-۱- پمپ حرارتی آب به آب

اگر دستگاه پمپ حرارتی زمین گرمایی از نوعی باشد که آب را گرم و سرد کند، اصطلاحاً به دستگاه آب به آب گفته می‌شود. در این حالت دستگاه پس از سرد یا گرم نمودن آب، از طریق پمپ سیرکولاتور آب را به فن کویل‌ها منتقل می‌نماید و آب گرم و سرد از طریق فن کویل، گرمایش و سرمایش محیط داخل ساختمان را تامین می‌نماید.(۲۱)

### ۴-۷-۲-۲- پمپ حرارتی آب به هوا

اگر تامین گرمایش و سرمایش محیط ساختمان از طریق هوا صورت پذیرد، اصطلاحاً پمپ حرارتی زمین گرمایی از نوع آب به هوا می‌باشد. در این صورت هوای داخل ساختمان از طریق کanal‌های برگشت هوا به داخل دستگاه پمپ حرارتی منتقل شده و پس از عبور از اوپراتور از طریق فن، هوا به داخل کanal‌های هوادهی منتقل می‌شود.

به طور کلی می‌توان گفت هزینه دستگاه پمپ حرارتی زمین گرمایی از نوع آب به آب کمتر از نوع آب به هوا بوده ولی عموماً هزینه تهیه فن کویل‌ها در مقایسه با هزینه کanal‌کشی بیشتر خواهد بود؛ در نتیجه برای تمامی پروژه‌ها می‌بایست نوع دستگاه با دقت از نظر اقتصادی انتخاب شود. همچنین رعایت شرایط آسایش استفاده کننده از دستگاه نیز باید در نظر گرفته شود.(۲۱)

## **۲-۷-۵- مراحل اجرای پروژه‌های پمپ حرارتی زمین گرمایی**

اجرای پروژه سیستم پمپ حرارتی زمین گرمایی برای تامین گرمایش فضاهای دارای سه

مرحله می‌باشد که به شرح زیر است:

### **۲-۷-۵-۱- جمع آوری اطلاعات**

- جمع آوری اطلاعات آب و هوا شامل دمای هوا، میزان رطوبت، میزان تابش خورشید و میزان وزش باد برای یک مدت مشخص
- مشخص نمودن نوع کاربری ساختمان و مدت بهره برداری در شبانه روز
- تهیه نقشه ساختمان
- جمع آوری اطلاعات زمین شامل: میزان رطوبت خاک و تعیین جنس خاک (۴)

### **۲-۷-۵-۲- طراحی**

- محاسبه بار حرارتی ساختمان
- انتخاب تعداد و ظرفیت دستگاه پمپ حرارتی زمین گرمایی
- انتخاب نوع دستگاه پمپ حرارتی زمین گرمایی از نوع آب به آب یا آب به هوا
- طراحی کanal انتقال هوا (در نوع آب به هوا) یا خطوط انتقال آب به فن کویل‌ها (در نوع آب به آب)
- طراحی کویل زمینی از نوع سیکل باز، بسته عمودی، بسته افقی یا دریاچه
- محاسبه متراز لوله و قطر آن
- طراحی و انتخاب پمپ‌های سیرکولاتور
- طراحی چیدمان محل موتورخانه پمپ حرارتی زمین گرمایی (۴)

### **۲-۷-۵-۳- اجرا**

- حفر چاههای برداشت آب و تزریق آن برای سیکل باز، یا حفر چاههای سیکل بسته عمودی و یا حفر کanal برای سیکل بسته افقی

- نصب لوله کویل زمینی
- پر نمودن کویل زمینی از خاک
- نصب دستگاه پمپ حرارتی زمین گرمایی و اتصال آن به کویل زمینی
- نصب کanal یا لوله‌های فن کویل به دستگاه
- نصب مدار الکترونیک به برق ساختمان
- پر نمودن آب کویل زمینی در سیکل بسته یا تست آب‌دهی چاه در سیکل باز
- اندازه گیری میزان دبی کویل زمینی
- بهره برداری از دستگاه (۴)

## ۶-۷-۲-مزیت‌های استفاده از پمپ حرارتی زمین گرمایی

- قابلیت تامین همزمان گرمایش و سرمایش
- امکان نصب سیستم پمپ حرارتی زمین گرمایی در تمامی مناطق و اقلیم‌ها
- کاهش دهنده میزان رطوبت و تامین کننده سرمایش به طور همزمان در مناطق دارای رطوبت زیاد
- کاهش تولید آلوودگی صوتی
- امکان استفاده از سیستم پمپ حرارتی زمین گرمایی برای مناطق دور از شبکه خط لوله انتقال گاز
- امکان استفاده از سیستم پمپ حرارتی زمین گرمایی برای تامین آب گرم و سرد
- امکان انتقال هوای گرم و سرد با استفاده از کanal
- امکان استفاده از سیستم پمپ حرارتی زمین گرمایی در مراکز پرورش دام، طیور، ذوب برف معابر و فرودگاه‌ها و صنایع مختلف
- سازگاری با محیط زیست
- هزینه خرید و نصب پمپ حرارتی زمین گرمایی نسبت به سایر انرژی‌ها به خصوص سوخت‌های فسیلی بسیار بالاتر است؛ اما مصرف برق آن بسیار کمتر از سیستم‌های رایج و معمول است. این سیستم قابلیت تامین همزمان گرمایش و سرمایش و

همچنین آب مصرفی گرم و سرد ساختمان‌ها را دارد. این سیستم در مناطق سردسیر به دلیل بهره گیری از گرمای اعمق زمین اهمیت ویژه اقتصادی دارد. به این نکته هم باید اشاره کرد که با نصب پمپ حرارتی زمین گرمایی به صورت مرکز برای چندین ساختمان، می‌توانیم هزینه‌های نصب و راهاندازی اولیه آن‌ها را تا حد قابل ملاحظه‌ای کاهش داد و به طبع هزینه برق مصرفی آن‌ها را نیز کاهش خواهد یافت. به طور کلی بر اساس تحقیقات به عمل آمده، در دراز مدت سیستم پمپ حرارتی زمین گرمایی بسیار کم هزینه‌تر از سیستم‌های کنونی است و توجیه اقتصادی دارد.<sup>(۸)</sup>

## ۷-۷-۲- مزیت‌های پمپ حرارتی زمین گرمایی از دیدگاه پدافند غیر عامل

پدافند غیرعامل عبارت است از مجموعه اقدامات غیر مسلحه‌ای که بکارگیری آن‌ها موجب افزایش بازدارندگی، کاهش آسیب‌پذیری، ارتقاء پایداری ملی، تداوم فعالیت‌های ضروری و تسهیل مدیریت بحران در برابر تهدیدات و اقدامات نظامی دشمن می‌گردد، که استثمار، اختفاء، فربود، موازی سازی، تفرقه و پراکنده‌گی از اصول پدافند غیرعامل می‌باشد که از شناسایی تاسیسات و تجهیزات از دید سنجنده‌های دشمن جلوگیری می‌کند.<sup>(۹)</sup>

پدافند غیرعامل به عنوان یکی از موثرترین و پایدارترین روش‌های دفاع در مقابل تهدیدات همواره مدنظر اکثر کشورهای جهان قرار داشته است و حتی کشورهایی مانند آمریکا و روسیه با وجود برخورداری از توان بالای نظامی به این موضوع به صورت ویژه‌ای توجه داشته‌اند.<sup>(۱۰)</sup>

اکنون به مزیت‌های پمپ‌های حرارتی زمین گرمایی از منظر پدافند غیرعامل می‌پردازیم که عبارتند از:

الف) موازی سازی: تجهیزات و تاسیسات حیاتی همواره از اولین مقاصد دشمن برای نابودی و از کار انداختن است تا بتواند در ادامه فعالیت احتلال ایجاد نماید و یا حتی در موقعی تمامی فعالیت‌ها را از کار بیندازد در صورت قطع برق و گاز، می‌توان با بهره گیری از سیستم جایگزین برای ادامه فعالیت‌ها در زمان بحران بهره برد. یکی از بهترین گزینه‌ها، سیستم پمپ

حرارتی زمین گرمایی است که می‌توان با استفاده از این سیستم به منظور تامین انرژی پایدار در زمان بحران یا تهدید مانند جنگ استفاده کرد. این سیستم با بهره‌گیری از انرژی اعمق زمین و بدون وابستگی به گاز شهر، می‌تواند گرمایش اماکن حساس و مهم را تامین کند.

ب) استمار، اختفاء و فریب: دستگاه پمپ حرارتی زمین گرمایی قابلیت نصب در اعمق زمین را دارد. با ایجاد فضاهایی امن به عنوان موتورخانه در اعمق زمین، می‌توان سیستم پمپ حرارتی زمین گرمایی را از دید سنجنده‌های دشمن در امان نگاه داشت. همچنین با همزنگ کردن تجهیزات آن با محیط اطراف و ... می‌توان از سه اصل مهم پدافند غیر عامل که شامل استمار، اختفاء و فریب می‌باشد، استفاده نمود.

ج) تفرقه و پراکندگی: با پراکندگی تاسیسات و تجهیزات ضروری و حساس می‌توان خسارات ناشی از حملات دشمن را به طور قابل ملاحظه‌ای کاهش داد. با نصب سیستم پمپ حرارتی زمین گرمایی در محل‌های خارج از ساختمان مورد نظر و به صورت غیر متمرکز، شناسایی توسط سنجنده‌های دشمن دچار مشکل می‌گردد. در صورت نصب چندین پمپ حرارتی زمین گرمایی در چند محل مختلف به منظور گرمایش و یا سرمایش یک ساختمان بزرگ، می‌توان از آسیب‌های ناشی از حملات دشمن تا حدود زیادی کاست و در صورت آسیب دیدن یک یا چند پمپ حرارتی، مابقی دستگاهها در حال فعالیت می‌باشند.

## ۸-۲- وضعیت پمپ حرارتی زمین گرمایی در ایران

در ایران پمپ حرارتی زمین گرمایی در پنج شهر مختلف آب و هوایی که دارای اقلیم مختلف هستند، نصب و راه اندازی شده است. در تمامی این شهرها میزان مصرف برق پمپ حرارتی در حالت سرمایش در مقایسه با یک کولر گازی بین ۵۰ تا ۷۰ درصد کاهش داشته و در حالت گرمایش در مقایسه با بخاری برقی بین ۷۰ تا ۸۰ درصد مصرف کاهش مصرف برق داشته است.<sup>(۴)</sup>

## **۱-۸-۲- پمپ حرارتی زمین گرمایی در مشکین شهر**

در ایران مطالعه گستردۀ بر روی پمپ حرارتی زمین‌گرمایی از سال ۱۳۸۰ در معاونت امور انرژی آغاز گردید که این مطالعات منجر به تغییر یک کولر گازی به پمپ حرارتی زمین‌گرمایی گردید. این دستگاه در سایت زمین‌گرمایی مشکین شهر نصب و راهاندازی شده است و کویل زمینی آن که به صورت افقی است، باعث شده تا میزان مصرف برق دستگاه مذکور تا اندازه ۳۰٪ کاهش یابد. (۴)

## **۲-۸-۲- پمپ حرارتی زمین گرمایی در طالقان**

جهت تکمیل نمودن این مطالعات، سازمان انرژی‌های نو ایران به کمک شرکت آساد صنعت، چهار دستگاه پمپ حرارتی زمین گرمایی تهیه و آن را در آزمایشگاه کولر گازی "آزمایشگاه صرفه جویی ملی انرژی" مورد آزمایش قرار داد که منجر به محاسبه راندمان (COP) برابر  $4/5$  و مصرف برق  $750$  وات گردید که در مقایسه با بهترین کولر گازی موجود در ایران که دارای راندمان کمتر از  $5/2$  با مصرف  $2800$  وات می‌باشد، از میزان قابل توجه کاهش مصرف برق برخوردار است.

پس از آن جهت نمایش واقعی عملکرد و کاهش مصرف برق واقعی، یک دستگاه پمپ حرارتی زمین گرمایی در سایت طالقان جهت مطالعه دقیق و برداشت اطلاعات میزان کاهش مصرف برق، دما و رطوبت هوا و خاک نصب گردید. برای این منظور مدارهای مختلف لوله پلی اتیلن ۲ اینچ کویل زمینی طراحی و در داخل ۹ حلقه چاه به عمق ۱۵ متر و به قطر  $80$  سانتی‌متر که در شکل ۲-۱۸ نشان داده شده است، نصب شد.



شکل (۲-۱۸) حلقه‌های ۹ گانه به عمق ۱۵ متر و قطر ۸۰ سانتی متر با فاصله ۳ متر از هم (۴)

هدف حفاری این تعداد چاه مطالعه و تحقیق بر روی اثرات چیدمان‌های مختلف و سیکل‌های مختلف کویل زمینی می‌باشد. همچنین جهت مطالعه بهتر بر روی انتقال حرارت داخل زمین تعداد ۱۲ سنسور اندازه‌گیری دما در چاه‌ها نصب شده تا همزمان با برداشت اطلاعات میزان مصرف برق، دما و رطوبت داخل اتاق، بتوان دمای زمین و میزان حرارت تبادل شده بین سیال داخل کویل زمینی و خاک را نیز اندازه‌گیری نمود. نتیجه مطالعات بیانگر عملکرد مناسب سیستم در فصل گرما و سرما بوده و در مقایسه با یک کولر گازی مشابه ۶۵ درصد کاهش مصرف برق نشان می‌دهد.(۴)

### ۳-۸-۲- پمپ حرارتی زمین‌گرمایی در رشت

به منظور بررسی عملکرد دستگاه در شرایط شمالی کشور، شهر رشت به عنوان نمونه انتخاب و سومین پمپ حرارتی در آن نصب و راهاندازی شد. به دلیل بالا بودن سطح آب در شهر رشت و مشکلات حفر چاه، از کویل عمودی- افقی استفاده شد. به همین منظور در پست شهید سیادتی دو کanal به عمق ۵ متر و در آن‌ها لوله‌های پلی اتیلنی با قطر ۲ اینچ به طول ۱۰۰ متر به صورت عمودی و افقی با فاصله ۳ متری و  $1/5$  متری نصب گردید. علاوه بر کویل عمودی- افقی، به منظور مطالعه کویل‌های مختلف از دو آرایش افقی دیگر نیز استفاده شده است که قابل انتخاب است. در این سایت برای اولین بار از یک آبگرمکن ۳۰۰ لیتری به

صورت سری با کویل زمینی استفاده و مورد تست قرار گرفت. نتیجه تست عملکرد مناسبی را برای سیستم ارائه داد به گونه‌ای که به کمک سیستم نصب شده ضمن خنک‌کاری فضای اداری به وسعت ۴۵ متر مربع با ارتفاع ۴/۵ متر، با مصرف برقی در حدود ۸۵۰ وات قادر به تامین آب گرم مورد نیاز مجموعه با دمای ۴۰ درجه سانتی‌گراد و با حجم ۳۰۰ لیتر گردید.(۴)

#### **۴-۸-۲- پمپ حرارتی زمین گرمایی در اهواز**

استان خوزستان از جمله مناطقی از کشور است که در ماههای گرم به دلیل داشتن رطوبت و دمای بالا از کولر گازی بسیار استفاده می‌شود. در شهر اهواز نیز یک دستگاه پمپ حرارتی زمین گرمایی نصب گردید و کویل زمینی این سیستم از نوع مارپیچ با طول ۲۰۰ متر در کanalی به طول ۷ متر نصب گردید. در زمستان ۱۳۸۶ این سیستم در حالت گرمایشی راهاندازی شد و با مصرف برق ۸۵۰ وات، گرمای مورد نیاز اتاقی به مساحت ۳۵ متر مربع را تامین نمود. هم اکنون و با شروع فصل گرما سیستم در حالت سرمایش با مصرف برق ۹۰۰ وات در حال کار می‌باشد و توسط دستگاههای اندازه‌گیری تمامی پارامترهای مهم اندازه‌گیری می‌شود و اطلاعات بدست آمده نشان از موفقیت این سیستم دارد.(۴)

#### **۴-۸-۳- پمپ حرارتی زمین گرمایی در بندر عباس**

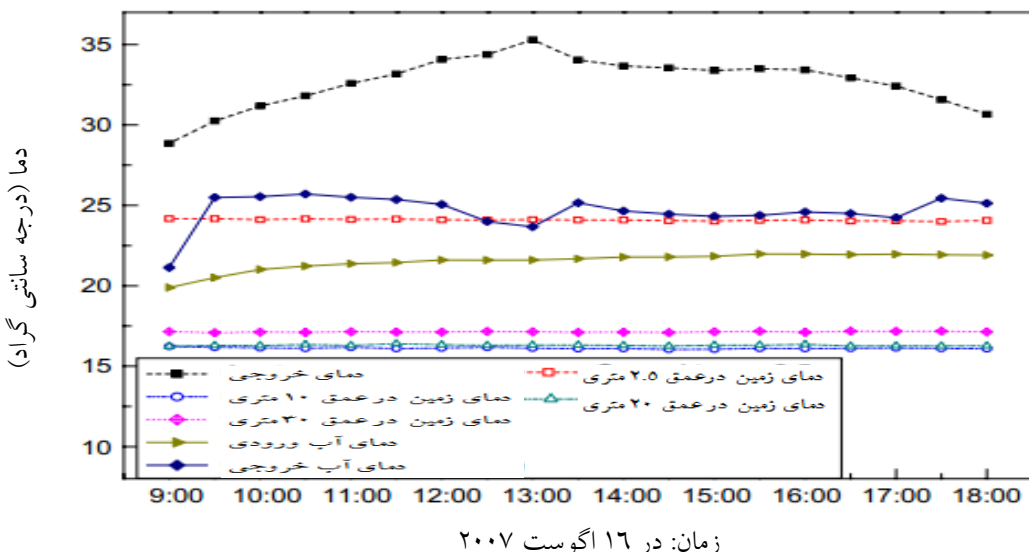
در شهر بندر عباس و در کتابخانه اداره جهاد کشاورزی استان هرمزگان نیز یک پمپ حرارتی زمین گرمایی نصب شده است. شهر بندر عباس نیز به دلیل گرما و رطوبت بالا و نزدیکی به دریا انتخاب گردید تا تاثیر این ویژگی‌های مهم بر عملکرد پمپ حرارتی زمین گرمایی بررسی و مورد مطالعه قرار گیرد. کویل این سیستم به صورت افقی و مارپیچ است.(۴)

#### **۹-۲- مرواری بر مقالات پمپ حرارتی زمین گرمایی**

برای درک موضوع و انتخاب مسیر صحیح برای انجام پایان نامه، چندین مقاله بین‌المللی مطالعه و مورد بررسی قرار گرفت. به طور خلاصه چکیده‌ای از برخی از این مقاله‌ها بیان می‌شود:

هانگ و همکاران (۱۹) عملکرد سیستم برودتی پمپ حرارتی زمین گرمایی در ساختمان یک مدرسه در کشور کره جنوبی در تابستان ۲۰۰۷ بررسی کرده‌اند. کویل زمینی این سیستم از نوع بسته عمودی U شکل بوده و از ده پمپ حرارتی استفاده شده است. برای این کار ۲۰ گمانه با عمق ۱۷۵ متر حفر شده بود. در این سیستم ابتدا از هوا به عنوان منبع گرم استفاده شد و در حالت دوم از زمین به عنوان منبع گرم استفاده شد و در نهایت ضریب عملکرد هر دو حالت را بدست آورده‌ند و مشخص گردید که ضریب عملکرد هوا (به عنوان منبع گرم)  $\frac{3}{4}$  و ضریب عملکرد زمین (به عنوان منبع گرم)  $\frac{5}{9}$  می‌باشد. بنابراین راندمان سیستم ۷۴٪ بیشتر شده است، که نشان دهنده کارآمد بودن سیستم پمپ حرارتی زمین گرمایی می‌باشد. بالاتر بودن ضریب عملکرد سیستم پمپ حرارتی زمین گرمایی به دلیل پایین بودن دمای کندانسور آن است که باعث کاهش مصرف نیرو در کمپرسور می‌شود. این حاکی از آن است که سیستم پمپ حرارتی زمین گرمایی مزایای بالقوه بیشتری نسبت به سیستم‌های خنک کننده متداول ساختمان‌ها، چه از نظر صرفه‌جویی در مصرف انرژی و چه از نظر هزینه‌های اقتصادی است.

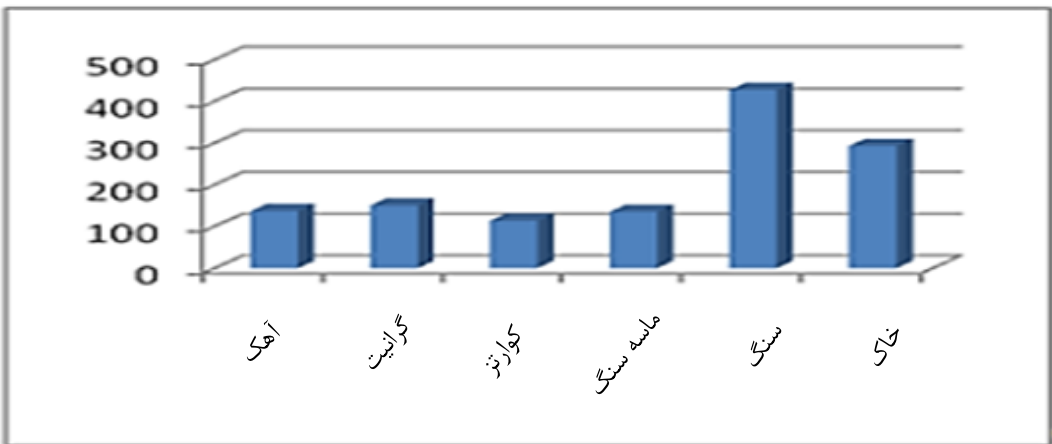
شکل ۱۹-۲ دمای ورودی و خروجی مبدل حرارتی و هوا در آگوست در کشور کره جنوبی را نشان می‌دهد. این شکل مزیت پمپ حرارتی زمین گرمایی را نشان می‌دهد که در اعماق زمین دمای خاک در طول سال دارای نوسانات بسیار کمتری نسبت به هوا است.



شکل (۱۹-۲) دمای ورودی و خروجی مبدل حرارتی در ماه آگوست (۱۹)

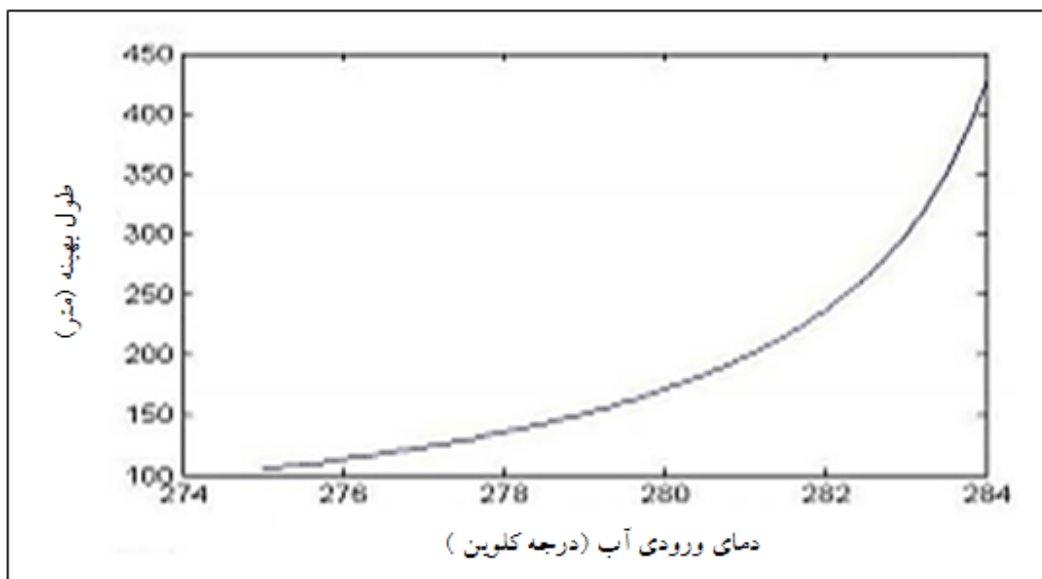
هپیاسلی (۱۸) به تجزیه و تحلیل ترمودینامیکی سیستم پمپ حرارتی زمین‌گرمایی برای گرم کردن یک ساختمان در کشور ترکیه در سال ۲۰۰۵ می‌پردازد. کویل زمینی مورد بررسی، سیکل بسته عمودی U شکل می‌باشد و مبرد مورد استفاده در سیستم R-22 و دمای آب ورودی به دستگاه ۱۵/۳۸ درجه سانتی گراد می‌باشد. در این مقاله آنالیز انرژی و اگزرژی سیستم پمپ حرارتی زمین‌گرمایی مورد نظر ارائه شده است. در نهایت ضریب عملکرد سیستم پمپ حرارتی زمین‌گرمایی ۲/۸۵ و راندمان اگزرژی ۶۶/۶٪ بدست آمد. به طور تقریبی و بر اساس تجربه، عمق چاه مورد نیاز به منظور تامین گرمایش فضاهای با سیستم پمپ حرارتی زمین‌گرمایی با کویل زمینی بسته U شکل، ۱۱ تا ۱۳ متر برای هر کیلووات ظرفیت دستگاه بوده است؛ در حالی که در این تحقیق، عمق چاه مورد نیاز برای فاز گرمایش این سیستم، ۱۱/۷۱ متر برای هر کیلووات ظرفیت دستگاه بدست آمد. در ادامه اتفاق اگزرژی اجزای سیستم پمپ حرارتی زمین‌گرمایی محاسبه شد و مشخص گردید که بیشترین اتفاق اگزرژی به ترتیب در کمپرسور، اوپراتور، شیر فشارشکن و کندانسور می‌باشد.

سیاووشی و همکاران (۲۲) یک پمپ حرارتی زمین‌گرمایی با کویل زمینی بسته عمودی U شکل به عنوان یک سیستم سرمایشی در شهر کرمان به صورت تئوری بررسی کرده اند. مبرد استفاده شده در این مقاله R-134a می‌باشد و جنس خاک مورد بررسی ماسه و سنگ می‌باشد. روابط انرژی و اگزرژی بر این پمپ حرارتی اعمال شد و نتایج آن بر اساس شرایط آب و هوایی شهر کرمان، اثرات خاک و سنگ و دمای ورودی به دستگاه ارائه شد. در نهایت نتایج نشان می‌دهد که در شهر کرمان با توجه به نوع خاک، بالاترین انرژی از دست رفته در قسمت فن کندانسور می‌باشد. راندمان اگزرژی ۴۰/۵٪ و ضریب عملکرد دستگاه نیز ۳/۷۰۷ بدست آمد. شکل ۲-۲۰ اتفاق اگزرژی سیستم پمپ حرارتی زمین‌گرمایی برای جنس‌های مختلف خاک را نشان می‌دهد، همان‌طور که مشخص است بیشترین اتفاق اگزرژی مربوط به خاکی می‌باشد که جنس آن از سنگ است.



شکل (۲۰) اثر خاک در میزان اتلاف اگزرزی سیستم پمپ حرارتی زمین گرمایی (۲۲)

همچنین تاثیر دمای ورودی آب بر طول بهینه مبدل حرارتی بررسی شد و مشخص گردید که با کاهش دمای آب ورودی طول بهینه مبدل حرارتی نیز کاهش پیدا می‌کند. شکل ۲۱ تأثیر دمای آب ورودی سیستم پمپ حرارتی زمین گرمایی را بر طول بهینه مبدل حرارتی بسته عمودی U شکل را نشان می‌دهد.



شکل (۲۱) اثر دمای ورودی آب بر طول بهینه مبدل حرارتی (۲۲)

آقا نجفی و مجتهدی (۱۱) به تحلیل اگزرزی و ترمواکونومیک یک سیکل پمپ حرارتی زمین گرمایی با مبدل حرارتی عمودی با سیال عامل R134a پرداخته‌اند و برای بهینه‌سازی از الگوریتم کلونی زنبور عسل مصنوعی (ABC) استفاده کرده‌اند. توابع هدف این مقاله مطالعه بازگشت‌ناپذیری و هزینه‌های سرمایه‌گذاری بر روی سیستم و پارامترهای طراحی سیستم

مقادیر دمای تبخیر و چگالش در اواپراتور و کندانسور، دمای آب ورودی و خروجی از مبدل حرارتی زمین گرمایی، فشار مکش و دهش کمپرسور می‌باشد. نتایج این مطالعه نشان می‌دهد با بهینه‌سازی انجام شده توسط الگوریتم ABC میزان بازگشت‌ناپذیری و هزینه سرمایه‌گذاری به ترتیب ۷/۵٪ و ۲۳/۷٪ کاهش یافته است.

کیان و صداقت (۱۲) به بهینه‌سازی یک سیستم پمپ حرارتی منبع زمینی ترکیب شده با سیستم سرمایش جذبی خورشیدی با استفاده از الگوریتم تکاملی چنددهفه پرداخته‌اند. در این مقاله سه فرآیند بهینه‌سازی تک هدفه ترمودینامیکی، ترمواقتصادی و چنددهفه انجام شده است. با توجه به نتایج بدست آمده در این مقاله می‌توان به این مسئله اشاره کرد که بهینه‌سازی ترمودینامیکی بر روی منابع انرژی تمرکز می‌کند، در حالی که بهینه‌سازی ترمواقتصادی فقط بر روی منابع مالی تمرکز می‌کند. در مقابل بهینه‌سازی چند هدفه هر دو منابع انرژی و مالی را مد نظر قرار می‌دهد. پس بهینه‌سازی چند هدفه معیارهای ترمودینامیکی و اقتصادی را بهتر از دو سیستم بهینه تک هدفه ترمودینامیکی و اقتصادی ارضا می‌کند.

### **فصل سوم:**

## **طراحی و انتخاب اجزای سیستم پمپ حرارتی زمین گرمایی**

## ۱-۳- مقدمه

شهر تهران به عنوان پایتخت کشورمان از نظر استراتژیک بسیار مهم می‌باشد که یک سیستم پمپ حرارتی زمین گرمایی برای گرمایش یک بیمارستان امن مدفون طراحی می‌شود. شرایط آب و هوایی جغرافیایی شهر تهران در طراحی پارامترهای این بیمارستان تاثیرگذار هستند. در این پژوهه یک بیمارستان امن مدفون در نظر گرفته می‌شود و مناسب‌ترین مدل برای طراحی سیستم پمپ حرارتی زمین گرمایی تعیین می‌شود.

## ۲- فرضیات بیمارستان امن زیرزمینی

یک بیمارستان امن زیرزمینی در شهر تهران به طور فرضی در نظر گرفته می‌شود که پلان آن در نقشه الف- ۱ نشان داده شده است.

در ابتدا شرایط طرح داخل و خارج را مشخص می‌کنیم که منطبق بر آیین‌نامه‌های بین‌المللی (آیین‌نامه ACI)، آیین‌نامه‌های داخلی (آیین‌نامه بتن ایران (آب‌آ)، مباحث مختلف مقررات ملی ساختمان (مبحث ۹، مبحث ۱۴ و مبحث ۲۱)، نشریه طراحی بناهای درمانی و همچنین ضوابط و معیارهای تاسیسات مکانیکی و الکتریکی در بیمارستان‌ها است. شرایط طرح به شرح زیر است:

- در این پژوهه یک بیمارستان یک طبقه بوده که شامل ۳۶ اتاق و ۷۰ تخت واقع در شهر تهران می‌باشد.
- این ساختمان در زیر زمین می‌باشد به طوری که سقف آن ۲ متر زیر سطح زمین قرار دارد.
- از پمپ حرارتی زمین گرمایی فقط برای گرمایش استفاده می‌شود.
- سازه ساختمان بتن مسلح به همراه قاب خمسمی ویژه (میلگرهای S400) است.
- دیوارهای بتنی از آجر مجوف و ملات ماسه سیمان ۲۰ سانتی متر و گچ و خاک ۲ سانتی متر و گچ ۱ سانتی متر می‌باشد.

- دیوارهای داخلی از آجر مجوف و ملات ماسه سیمان ۱۰ سانتی متر و گچ و خاک ۲ سانتی متر و گچ ۱ سانتی متر می‌باشد.
- مشخصات کف ساختمان پوکه معدنی به ضخامت ۱۰ سانتی متر، ملات ماسه سیمان ۲ سانتی متر و موzaïek ۳ سانتی متر است.
- مشخصات سقف (پشت بام) ساختمان از داخل به خارج به ترتیب شامل اندود گچ ۱ سانتی متر، ملات گچ و خاک ۲ سانتی متر، تیرچه بتُنی به همراه پلاستوم ۲۵ سانتی متر، دال بتنی به ضخامت ۵ سانتی متر، پوکه معدنی به ضخامت ۱۰ سانتی متر، ملات ماسه سیمان ۲ سانتی متر و آسفالت به ضخامت ۵ سانتی متر می‌باشد.
- درب‌های داخلی و خارجی چوبی به ضخامت ۵ سانتی متر و ارتفاع ۲۴۰ سانتی متر می‌باشد.
- بیمارستان فاقد پنجره است.
- بدلیل نبود پنجره و با توجه به کاربری ساختمان، برای تعویض هوا از دستگاه‌های هواساز استفاده می‌شود. برای این منظور موتورخانه‌ای تعییه می‌شود و بر اساس کاربری بخش‌های مختلف بیمارستان، هوای تازه و کافی آن‌ها تأمین می‌شود. (محاسبه و طراحی تعویض و تهویه هوا در حوصله این پروژه نمی‌گنجد)

### ۳-۳- تقاضه‌های امن مدفون با سازه‌های رایج

ساختمان‌های معمولی ممکن است مقادیر مقاومت انفجای داشته باشند، ولی مشخصه‌های خاصی از ساختمان‌های معمولی مانند پنجره‌های بزرگ، دیوارهای بنایی غیر مسلح و اتصالات ضعیف، می‌تواند این ساختمان‌ها را حتی تا در برابر انفجارهای ضعیف نیز آسیب‌پذیر کند. از سازه‌های مدفون انتظار می‌رود در مقابل فشارهای زیاد ناشی از انفجار متوسط و زیاد مقاوم باشند. سازه‌های پناهگاهی را معمولاً می‌توان به سه روش نیمه مدفون، مدفون و تونل اجرا نمود. در روش اجرای مدفون و نیمه مدفون، ضخامت خاک روی پناهگاه باید حداقل به اندازه نصف کوچکترین بعد پناهگاه یا ۲ متر باشد. به هر حال مجموع ضخامت خاک و بتن باید بزرگتر از عمق نفوذ بمبهای مخرب باشند. استفاده از خاک تراکم‌پذیر

نسبت به خاک‌های با دانه بندی یکنواخت ارجحیت دارد. همچنین استفاده از ماسه بادی مجاز نیست و بهتر است از شن شکسته با دانه بندی درشت استفاده شود. سازه‌های امن مدفون در برابر انفجارهای غیر از انفجارهای در داخل زمین، بسیار مقاوم و قابل اطمینان است. قسمت‌های باربر سازه‌های مدفون (سقف، دیوارها و کف) باید از بتون مسلح درجا ساخته شوند. استفاده از مصالحی که قابلیت تغییر پذیری و شکل پذیری کمتری دارند، برای ساخت پناهگاه ممنوع است.<sup>(۹)</sup>

### **۴-۳- محاسبات اتلاف حرارتی بیمارستان**

محاسبات اتلاف حرارتی بیمارستان امن مدفون توسط نرم افزار کریر انجام گردید که گزارشات کامل این محاسبات در پیوست ب آمده است. بر طبق گزارشات مربوطه مجموع اتلاف حرارتی بیمارستان زیرزمینی برابر است با :

$$\text{مقدار بار حرارتی ساختمان} = 270416 \text{ BTU/hr} = 79.251 \text{ Kw}$$

چون در این پروژه فقط تأمین گرمایش مدد نظر می‌باشد، لذا با داشتن مقدار بار حرارتی ساختمان به انتخاب اجزاء سیستم پمپ حرارتی می‌پردازیم.

### **۵-۳- انتخاب اجزاء سیستم پمپ حرارتی زمین گرمایی**

برای انتخاب مناسب اجراء سیستم پمپ حرارتی زمین گرمایی می‌توان از نرم افزار چند منظوره طراحی سیستم پمپ حرارتی زمین گرمایی (ground loop design) یا (GLD) استفاده کرد. این نرم افزار امکان طراحی و انتخاب مناسب اجزاء سیستم پمپ حرارتی زمین گرمایی را به مهندسین مهندسین مجرب در این زمینه می‌دهد. این اطلاعات شامل عمق بهینه چاه، طول مناسب لوله آبرسانی، ظرفیت مناسب پمپ سیرکولاتور و ... است. به کمک این نرم افزار همچنین می‌توان هزینه سالانه، عمر مفید و هزینه طراحی سیستم پمپ حرارتی زمین گرمایی را بدست آورد. در این نرم افزار امکان انتخاب و انعطاف‌پذیری توسط طراح وجود دارد، تا بر اساس

سلیقه‌ها و تفکرات او بتوان نتیجه مناسب را بدست آورد. همچنین اطلاعات و مشخصات فنی محصولات مختلف بسیاری از تولید کنندگان پمپ حرارتی زمین‌گرمایی در آن وجود دارد.

متأسفانه با تحقیقات به عمل آمده، امکان تهیه رایگان این نرم افزار نمی‌باشد و دموی آن نیز در وب سایت چندین تولیدکننده خارجی پمپ حرارتی زمین‌گرمایی موجود است اما گزارش و نتیجه نهایی کاملی نمی‌دهد. بنابراین برای انتخاب اجزاء سیستم پمپ حرارتی زمین‌گرمایی به صورت دستی و بدون نرم افزار اقدام می‌کنیم.

بر اساس نقشه بیمارستان مورد نظر و با داشتن بار حرارتی آن، دستگاه پمپ حرارتی زمین‌گرمایی انتخاب می‌شود. ابتدا با جستجو در شرکت‌هاب مختلف خارجی تولید کننده پمپ حرارتی زمین‌گرمایی در کشورهای آمریکا و کانادا دستگاه انتخاب شد. برای این شرکت‌ها اعم از بوش<sup>۱</sup>، کلایمیت مستر<sup>۲</sup>، مریتايم ژئوترمال<sup>۳</sup> و چندین شرکت دیگر ایمیل فرستاده شد و تقاضای قیمت محصولات و مشخصات فنی دستگاه‌های مذکور شد. اما هیچ یک از این شرکت‌ها حاضر به دادن اطلاعات خواسته شده نشدند. بنابراین تصمیم گرفته شد برای انتخاب اجزاء از شرکت برنولی که در زمینه پمپ حرارتی زمین‌گرمایی فعالیت می‌کنند، تقاضای اطلاعات کنیم.

طبق مکاتبات انجام شده با شرکت برنولی، درخواست مدل‌های موجود شد. لیست دستگاه‌های پمپ حرارتی زمین‌گرمایی آب به آب در شکل ج-۱ و آب به هوا در شکل ج-۲ در پیوست ج نشان داده شده است. به دلیل بستگی ظرفیت پمپ حرارتی به مبدل حرارتی آن، به ناچار ابتدا باید مبدل حرارتی انتخاب شود.

---

1 - Bosch

2 - Climatemaster

3 - Maritime Geothermal

### ۳-۵-۱- انتخاب مبدل حرارتی زمینی

ابتدا مبدل حرارتی بر اساس شرایط جغرافیایی، محیطی، فنی و اقتصادی انتخاب می‌شود.

اگر بخواهیم مقایسه‌ای را از نظر راندمان کویل زمینی پمپ حرارتی زمین گرمایی داشته باشیم، می‌توانیم انواع کویل‌ها را به صورت ذیل دسته‌بندی نماییم:

۱. کویل باز
۲. کویل دریاچه
۳. کویل بسته عمودی
۴. کویل بسته افقی

همچنین اگر بخوایم از نظر هزینه‌های اجرایی یک پمپ حرارتی زمین گرمایی انواع کویل‌ها را با هم مقایسه نماییم دسته‌بندی آن‌ها از نظر هزینه اجرایی به صورت زیر خواهد

بود:

۱. کویل دریاچه
۲. کویل بسته افقی
۳. کویل باز
۴. کویل بسته عمودی (۱۳)

اگرچه سیکل دریاچه دارای راندمان نسبتاً بالایی می‌باشد؛ اما کویل زمینی دریاچه نیاز به آب‌گرم سطحی دارد که در شهر تهران، آب‌گرم سطحی که دارای قابلیت تامین گرمایش و سرمایش فضای مورد نیاز را داشته باشد، وجود ندارد و همچنین احتمال یخ زدگی آب سطحی در فصول سرد سال وجود دارد. بنابراین کویل زمینی دریاچه گزینه مناسبی برای بیمارستان مورد نظر نمی‌باشد.

کویل باز دارای راندمان بالایی می‌باشد اما هزینه آن قدری بالا می‌باشد. از مشکلات اجرایی آن وجود چشمۀ آب‌گرم زیرزمینی می‌باشد. از آنجایی هدف این مطالعه، استفاده

کاربردی از آن می‌باشد، غیر قابل دسترس بودن چشم‌های آب‌گرم، بهره‌برداری از این سیکل را برای ما ناممکن می‌سازد.

اگرچه سیکل بسته افقی هزینه اجرایی کمتری نسبت به سایر سیکل‌ها دارد، اما دارای راندمان پایین‌تری می‌باشد. از معایب این سیکل مصرف بالای متراژ لوله می‌باشد. از طرفی دیگر، این سیکل نیاز به فضای وسیعی در اطراف ساختمان مورد نظر دارد و به دلیل امنیتی و پدافندی، امکان استفاده از کویل زمینی بسته افقی مناسب نمی‌باشد.

کویل بسته عمودی، اگر چه هزینه اجرایی نسبتاً بالایی نسبت به سایر کویل‌ها دارد، اما این سیکل در مناطقی که امکان دسترسی به آب‌های زیرزمینی مشکل می‌باشد، قابل نصب است و همچنین دارای راندمان نسبتاً مناسبی می‌باشد. با توجه به جنس خاک تهران که ماسه و سنگ می‌باشد<sup>(۱۳)</sup>؛ امکان حفاری چاه در اعمق زیاد وجود دارد.

بنابراین بهترین گزینه از لحاظ ایمنی و پدافندی، راندمان، هزینه اقتصادی، مشکلات فنی و اجرایی آن، کویل زمینی بسته عمودی می‌باشد. این سیکل را به صورت رفت و برگشت نصب می‌کنیم که سیکل بسته عمودی U شکل نامیده می‌شود. همچنین برای جلوگیری از یخ زدن آب در هوای بسیار سرد زمستان یک مخلوط وزنی ۱۰٪ پروپیلن گلیکول به داخل سیکل اضافه می‌کنیم.

### ۳-۵-۲- انتخاب دستگاه پمپ حرارتی زمین‌گرمایی

با توجه به میزان اتلاف حرارتی بیمارستان و مبدل حرارتی بسته عمودی U شکل، با مراجعه به لیست کالاهای موجود در شرکت برنولی دستگاه پمپ حرارتی زمین گرمایی انتخاب می‌شود. چهار دستگاه پمپ حرارتی زمین گرمایی آب به هوا از نوع افقی مدل GTHP070 انتخاب می‌شود که ظرفیت آن در کویل زمینی بسته عمودی ۷۶۰۰۰ BTU/hr می‌باشد. چهار دستگاه، کاملاً مجذعاً هستند و هر کدام به کویل زمینی عمودی مجذعاً متصل می‌باشد و برای نواحی بیمارستان که به صورت زیر تقسیم بندی شده است؛ به کار می‌رود:

جدول(۱-۳) معرفی نواحی بیمارستان

نواحی	شرح
ناحیه الف	اتفاق‌های ۱ الی ۸
ناحیه ب	اتفاق‌های ۹ الی ۱۸
ناحیه ج	اتفاق‌های ۱۹ الی ۲۷
ناحیه د	اتفاق‌های ۲۸ الی ۳۶

حال محل دستگاه پمپ حرارتی تعیین می‌شود. دشمن همواره در صدد منهدم کردن تاسیسات و تجهیزات است تا بتواند با این کار در ادامه فعالیت اختلال ایجاد کند. می‌دانیم که اختفاء یا پنهان کاری تاسیسات و تجهیزات مانع از قرار گرفتن آن‌ها در دید دشمن گردیده و یا تشخیص آن‌ها را برای دشمن غیر ممکن یا مشکل می‌سازد. از این‌رو، یکی از مزیت‌های بارز پمپ حرارتی زمین‌گرمایی امکان نصب آن در زیر زمین می‌باشد. با ایجاد فضایی امن در زیر زمین می‌توان سیستم پمپ حرارتی زمین‌گرمایی را دور از شناسایی سنجنده‌های دشمن قرار داد تا در زمان بحران دچار حملات و صدمات واقع نشوند. در صورت صدمات ناشی از انفجارها که باعث مختل شدن کلیه سیستم‌های رایج می‌شود؛ ادامه فعالیت با مشکلات عدیده‌ای روبرو می‌شود.

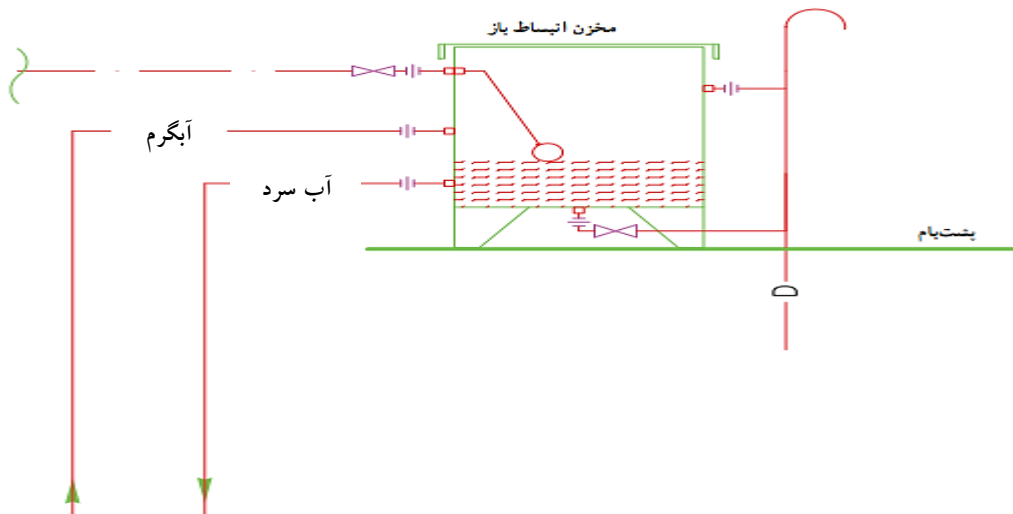
با بهره‌گیری از سیستم پمپ حرارتی زمین‌گرمایی که امکان نصب و فعالیت آن در فضای امن در زیر زمین و بیرون بیمارستان است؛ به راحتی می‌توان به ادامه فعالیت در زمان بحران ادامه داد. اما از طرفی دیگر، در صورت نصب و راهاندازی سیستم مذکور در فضایی امن در زیر زمین و به دور از بیمارستان، به دلیل فاصله ایجاد شده برای انتقال انرژی از فضای امن به داخل بیمارستان، اتلاف حرارتی محسوسی خواهیم داشت و همچنین به دلیل بعد مسافت به نصب کانال‌های طولانی‌تر که هزینه بیشتری در بر خواهد داشت، منجر می‌شود.

با در نظر گرفتن شرایط گفته شده، می‌توان نتیجه گرفت که نصب پمپ حرارتی زمین‌گرمایی در زیر زمین و خارج از بیمارستان گرچه از نظر امنیتی و پدافندی بسیار حائز

اهمیت است ولی باید اتلاف حرارتی و هزینه اقتصادی آن را نیز در نظر گرفت. چون بیمارستان خود در زیر زمین بنا شده است، می‌توان سیستم مذکور را در داخل آن نصب کرد که به نوعی هم خود بیمارستان و هم سیستم پمپ حرارتی زمین‌گرمایی در فضایی امن قرار دارند. در این صورت هم دستگاه در فضایی امن در زیر زمین قرار دارد و هم اتلاف حرارتی و هزینه اقتصادی آن به حداقل می‌رسد. به دلیل آلودگی صوتی باید مکانی در نظر گرفته شود که باعث صلب آسایش بیماران نشود؛ بنابراین مکان مورد نظر باید در اتاق‌های بستری و یا استراحت کارکنان باشد. در نهایت قسمت‌هایی از سالن و راهرو به عنوان بهترین مکان برای نصب دستگاه‌ها انتخاب می‌شوند. مشخصات فیزیکی دستگاه پمپ حرارتی زمین‌گرمایی از نوع افقی در شکل ج-۳ نشان داده شده است. محل قرار گیری پمپ‌های حرارتی زمین‌گرمایی با در نظر گرفتن اندازه فیزیکی آن‌ها در نقشه الف-۲ نشان داده شده است. با توجه به نقشه بیمارستان اجزاء سیستم طراحی و انتخاب می‌شوند.

### ۳-۵-۳- انتخاب و محاسبه حجم منبع انبساط

به منظور تثبیت فشار سیستم و فراهم نمودن امکان انبساط حجمی آب در اثر افزایش دما در سیستم‌های بسته، لازم است از ظرفی به نام منبع انبساط استفاده شود. منبع انبساط باز با هوای آزاد در ارتباط است و در خط مکش پمپ و بر فراز بالاترین مبدل حرارتی ساختمان (حداقل ۷ فوت بالاتر) نصب می‌شود. اتصال منبع انبساط به خط مکش پمپ سبب می‌گردد که سمت مکش تحت فشار اتمسفر قرار داشته و هوا نتواند به داخل سیستم نفوذ کند. شکل شماتیک منبع انبساط باز و نحوه اتصال آن به پمپ سیرکولاتور در شکل ۳-۱ نشان داده شده است.



شکل (۱-۳) شماتیک منبع انبساط باز (۲۵)

### ۱-۳-۵-۳- محاسبه حجم منبع انبساط

حجم منبع انبساط از رابطه رابطه (۱-۳) بدست می‌آید (۶) :

$$V = \frac{Q(1+A)}{6400} \quad \text{رابطه (۱-۳)}$$

$V$  حجم منبع انبساط (بر حسب گالن)،  $Q$  تلفات حرارتی ساختمان (بر حسب بی تی یو بر ساعت) و  $A$  ضریب اطمینان جهت اتلاف حرارت از لوله‌ها می‌باشد که آن را  $10$  درصد در نظر می‌گیریم.

برای محاسبه حجم منبع انبساط باز برای کل ساختمان خواهیم داشت:

$$V = \frac{270416 \times (1+0.1)}{6400} = 46.47 \text{ galon}$$

### ۱-۳-۵-۴- انتخاب حجم منبع انبساط باز

برای انتخاب منبع انبساط باز با شرکت دما تجهیز تماس گرفته شد و استعلام قیمت و مشخصات فنی دستگاه انجام شد. مدل‌های مختلف منابع انبساط باز شرکت دما تجهیز (۲۵) در شکل ج-۴ نشان داده شده است. به دلیل موجود نبودن منبع با ظرفیت مورد نظر، به ناچار منبع با ظرفیت ۲۰۰ لیتر انتخاب شد. بر این اساس چهار منبع انبساط باز مدل منبع با ظرفیت DT.EXO-۲۰۰-۲ برای هریک از نواحی انتخاب شد.

### ۴-۵-۳- انتخاب و طراحی لوله

با توجه به قرارگیری دستگاه، فاصله آن تا خارج ساختمان ۲۰ متر در بیشترین حالت می‌باشد. از خارج ساختمان تا چاه حفاری را هم ۳ متر در نظر می‌گیریم. طول لوله از سه راهی تا منبع انبساط باز ۳ متر می‌باشد. در واقع طول لوله رفت از دستگاه تا چاه ۲۶ متر می‌باشد.

بر اساس تجربه و تحقیق از شرکت‌های مختلف داخلی و خارجی که در زمینه پمپ حرارتی زمین گرمایی فعالیت می‌کنند، برای تأمین حرارت هر ۱ تن تبرید باید ۴۰ متر چاه حفر شود (۴)؛ بر اساس ظرفیت حرارتی پمپ حرارتی، باید ۱۸۰ متر چاه حفر شود. برای هر دستگاه یک چاه با قطر ۱۲ inch و ارتفاع ۱۸۰ متر حفر شود و چهار زانویی در مسیر U شکل قرار داده شود.

بر این اساس طول لوله رفت ۲۰۶ متر و طول لوله برگشت ۲۰۳ متر می‌باشد. بنابراین کل طول لوله در مسیر رفت و برگشت ۴۰۹ متر می‌باشد.

بر اساس مشخصات فنی دستگاه که در شکل ج-۳ آمده است، دبی دستگاه ۱۷ گالون بر دقیقه<sup>۱</sup> است. جنس لوله را پلی اتیلن انتخاب می‌کنیم. سرعت مناسب حرکت آب در لوله‌ها بین ۲ تا ۴ فوت بر ثانیه و نرخ مناسب افت فشار برابر ۳۰۰ میلی اینچ آب بر فوت، معادل ۲.۵ فوت بر صد فوت طول لوله می‌باشد.

برای تعیین قطر لوله با استفاده از نمودار نرخ افت فشار ناشی از جریان آب در لوله‌های پلاستیکی (شکل ج-۶) و با در دست داشتن دبی و نرخ افت فشار و همچنین محدوده سرعت آب، قطر لوله از نمودار خوانده می‌شود که بر این اساس قطر لوله ۱.۵ اینچ بدست می‌آید که این اندازه در تمام مسیر لوله یکسان می‌باشد.

فشار آب درون لوله در عمق ۱۸۰ متری از زمین را از رابطه (۲-۳) بدست می‌آوریم:

$$P = \rho gh \quad \text{رابطه (۲-۳)}$$

با توجه به اطلاعات آب داریم:

$$\rho = 988 \frac{kg}{m^3} \quad \text{چگالی آب}$$

$$g = 9.8 \frac{m}{s^2} \quad \text{گرانش}$$

$$h = 180 \quad \text{ارتفاع لوله}$$

$$P = \rho gh = 1742832 \text{ pa} = 17.42 \text{ bar}$$

### ۳-۵-۵- انتخاب پمپ سیرکولاتور

برای انتخاب پمپ سیرکولاتور به دو مشخصه دبی و هد پمپ نیاز داریم. همانطور که در بالا ذکر شد دبی مورد نظر برای پمپ حرارتی مقدار ۱۷ گالن بر دقیقه می‌باشد. اکنون به محاسبه هد پمپ می‌پردازیم. هد پمپ از رابطه (۳-۳) بدست می‌آید:

$$\text{رابطه (۳-۳)} \quad \text{اft کویل دستگاه} + \text{اft طول اتصالات} + \text{اft طول لوله} = \text{هد پمپ}$$

اگر طول لوله مسیر رفت را  $L$  در نظر بگیریم و طول مسیر رفت و برگشت را  $2L$  در نظر بگیریم و همچنین طول معادل وصاله‌ها را  $50$  درصد طول مسیر رفت و برگشت در نظر بگیریم؛ طول معادل کل مسیر لوله‌کشی برابر  $3L$  بدست می‌آید.

مناسب‌ترین نرخ افت فشار برای جریان آب در لوله‌ها معادل  $300$  میلی اینچ بر فوت یا  $2.5$  فوت بر  $100$  فوت طول معادل لوله است، لذا هد پمپ در لوله برابر با رابطه ۴-۳ است (۶) :

$$H_{\text{لوله}} = 3L \times \frac{2.5}{100} = 0.075 L \quad \text{رابطه (۴-۳)}$$

$$H_{\text{لوله}} = 0.075 \times 203 = 15.2 \text{ ft}$$

از افت طول لوله متنهی به منبع انبساط باز که ۳ متر است صرف نظر می‌کنیم. بر اساس مشخصات فنی پمپ دستگاه افت دستگاه زمین گرمایی  $3.2 \text{ psi}$  است که در این صورت خواهیم داشت:

$$H_{\text{پمپ حرارتی}} = 3.2 \text{ psi} = 7.38 \text{ ft}$$

$$H_{\text{پمپ سیرکولاتور}} = 15.2 + 7.38 = 22.58 \text{ ft}$$

برای انتخاب پمپ سیرکولاتور به شرکت مهندسی و بازرگانی دما تجهیز مراجعه شد. از پمپ‌های موجود، پمپ سمنان خطی سیرکولاتور انتخاب شد. مدل‌های مختلف پمپ سمنان خطی سیرکولاتور به همراه مشخصات فنی آنها در شکل ج-۵ آمده است. با مراجعه به منحنی دبی و هد پمپ که در نمودار د-۲ آمده است مدل PD40 - تک فازی و ۲۰ ولت انتخاب گردید.

## **فصل چهارم:**

**تحلیل اگزرڈی و بھینہسازی اقتصادی با الگوریتم ژنتیک**

## ۱-۴- تحلیل ترمودینامیکی پمپ حرارتی زمین گرمایی

فرضهای زیر در محاسبات انجام شده و در بررسی‌هایی که در ادامه خواهد آمد، مورد استفاده قرار گرفته‌اند:

۱. تمامی فرآیندها در حالت پایدار و جریان پایدار انجام شده‌اند.
۲. انرژی جنبشی و انرژی پتانسیل ناچیز و قابل چشم پوشی هستند و هیچ‌گونه واکنش فیزیکی و شیمیایی نیز وجود ندارد.
۳. انتقال حرارت در اتصالات اجزاء و در طول لوله‌ها ناچیز و قابل چشم پوشی در نظر گرفته می‌شوند.
۴. هوا یک گاز ایده‌آل با گرمایی ویژه ثابت در نظر گرفته شده است.
۵. حالت مرده در فاز گرمایش در فشار جو ( $100\text{ KPa}$ ) و دمای  $20^\circ\text{C}$  در نظر گرفته شده است.
۶. بر اساس شرایط و مصالح ساختمان دمای محیط داخل  $20^\circ\text{C}$  در نظر گرفته شده است.

## ۱-۱- آنالیز ترمودینامیکی

با استفاده از فرضهای در نظر گرفته شده، معادلات موازنه اگزرزی بدست می‌آیند (۲۶، ۲۷). معادله بقای جرم به صورت زیر است:

$$\sum \dot{m}_i = \sum \dot{m}_o \quad \text{رابطه (۱-۴)}$$

$\dot{m}_i$  نرخ جریان جرمی ورودی بر حسب ( $\text{Kg/s}$ ) و  $\dot{m}_o$  نرخ جریان جرمی خروجی بر حسب است. ( $\text{Kg/s}$ )

قانون اول ترمودینامیک را می‌توان به صورت رابطه (۲-۴) بیان کرد:

$$\dot{Q} + \sum \dot{m}_i h_i = \dot{W} + \sum \dot{m}_o h_o \quad \text{رابطه (۲-۴)}$$

موازنه اگزرزی به صورت روابط زیر بیان می‌گردد.

$$\dot{E}X_i - \dot{E}X_O = \dot{E}X_d \quad \text{رابطه (۳-۴)}$$

$\dot{E}X_i$  اگرثی ورودی بر حسب (Kw) و  $\dot{E}_O$  اگرثی خروجی بر حسب (Kw) است.

$$\dot{E}X_{heat} - \dot{E}X_{work} + \dot{E}X_{mass,i} - \dot{E}X_{mass,o} = \dot{E}X_d \quad \text{رابطه (۴-۴)}$$

$\dot{E}X_{mass,i}$  اگرثی حرارت (Kw)،  $\dot{E}X_{work}$  اگرثی کار (Kw)،  $\dot{E}X_{heat}$  جرمی ورودی (Kw)،  $\dot{E}X_{mass,o}$  اگرثی جریان جرمی خروجی (Kw) و  $\dot{E}X_d$  اتلاف اگرثی (Kw) است.

با استفاده از رابطه بالا، بالانس اگرثی به صورت رابطه (۴-۵) ارائه می‌شود:

$$\left(1 - \frac{T_0}{T_k}\right) \dot{Q}_k - \dot{W} + \sum m_i \psi_i - \sum m_o \psi_o = \dot{E}X_d \quad \text{رابطه (۴-۵)}$$

$\dot{Q}_k$  نرخ انتقال حرارت از مرز سیستم (Kw)،  $\dot{W}$  نرخ کار (Kw)،  $\psi_i$  اگرثی جریانی ورودی (Kj/Kg)،  $\psi_o$  اگرثی جریانی خروجی (Kj/Kg) و  $T_0$  دمای حالت مرده (K) می‌باشد. اگرثی جریانی نیز به صورت رابطه (۴-۶) بیان می‌گردد.

$$\psi = (h - h_0) - T_0(s - s_0) \quad \text{رابطه (۴-۶)}$$

$h$  آنتالپی (Kj/Kg)،  $s$  انتروپی (Kj/Kg.K) و  $s_0$  انتروپی حالت مرده (Kj/Kg.K) است.

با استفاده از فرض‌های در نظر گرفته شده، ضریب عملکرد سیستم به صورت نسبت انرژی خروجی مفید به کل انرژی ورودی بیان می‌شود که در رابطه (۷-۴) نشان داده شده است:

$$COP = \frac{\dot{Q}_{condenser}}{\dot{W}_{compressor,act}} \quad \text{رابطه (۷-۴)}$$

COP ضریب عملکرد،  $\dot{Q}_{condenser}$  گرمای کندانسور (Kw) و  $\dot{W}_{compressor,act}$  کار واقعی کمپرسور (Kw) می‌باشد. کار واقعی کمپرسور با رابطه (۸-۴) نشان داده شده است:

$$\dot{W}_{compressor,act} = \frac{\dot{W}_{comp}}{\eta_{comp,adiab}} \quad \text{رابطه (۸-۴)}$$

کار کمپرسور ( $K_w$ )، و عبارت  $\eta_{comp,adiab}$  بیانگر بازده آدیاباتیک کمپرسور است که برابر با  $0.85$  می‌باشد.

بازه اگزرژی به صورت نسبت اگزرژی کلی خروجی به اگزرژی کلی ورودی تعریف می‌گردد که در رابطه (۹-۴) بیان شده است.

$$\eta_{EX} = \frac{E\dot{X}_{out}}{E\dot{X}_{in}} \quad \text{رابطه (۹-۴)}$$

## ۲-۱-۴-محاسبه دمای زمین

برای محاسبه دمای آب ورودی به پمپ حرارتی زمین گرمایی، دمای خاک در عمق  $180$  متری به دست می‌آید. دمای زمین معمولاً از سطح تا عمق  $5$  یا  $6$  متری، تحت تاثیر نوسانات دمای هوا در طول شباهه روز یا فصول مختلف دستخوش تغییرات نسبتاً زیادی می‌باشد. از این عمق تا عمق حدود  $15$  متری بر اثر ترکیب شارهای گرمایی خورشیدی و تغییرات دمای جو با شارهای گرمایی ناشی از انرژی زمین گرمایی دما نسبتاً ثابت بوده و به طور تقریبی می‌توان آن را برابر با میانگین دمای هوا در طول سال فرض نمود. در عمق‌های بیشتر از  $15$  متر دمای زمین بر اثر شارهای ناشی از انرژی زمین گرمایی با افزایش عمق به ازای هر  $100$  متر  $3$  درجه سانتیگراد افزایش می‌یابد. دمای زمین در عمق را می‌توان مطابق رابطه (۴-۱۰) به دست آورد:

$$T_{ground} = T_{mean} + T_{amp} e^{[-z\sqrt{\frac{\pi}{365\alpha}}]} \cos[\frac{2\pi(T_{now}-T_{shift})}{365} - \frac{z}{2}\sqrt{\frac{365}{\pi\alpha}}] \quad \text{رابطه (۴-۱۰)}$$

با توجه به شرایط آب و هوایی و جغرافیایی، شهر تهران به عنوان نمونه انتخاب گردید و اطلاعات هواشناسی مورد نیاز استخراج شد.

در این رابطه  $T_{mean}$  میانگین سالیانه دمای زمین است. با توجه با اینکه دمای سطح زمین به شدت تحت تاثیر شرایط آب و هوایی آن منطقه می‌باشد، لذا می‌توان آن را برابر میانگین سالیانه دمای هوا فرض نمود. این مقدار برابر  $16.1^{\circ}\text{C}$  بحسب می‌آید. (۳۱)

دامنه تغییرات دمای سالیانه است و مقدار آن برابر  $29.3^{\circ}\text{C}$  بحسب می‌آید. (۳۱)

$T_{now}$  تاریخ مورد نظر در محاسبات بر حسب روز. روز اول دی ماه در نظر گرفته می‌شود،  $T_{now} = 1$

$T_{shift}$  فاصله زمانی بین تاریخ دلخواه که در اینجا اول دی ماه در نظر گرفته شد تا گرمترين روز سال که ۱۷ تیر ماه است، یعنی  $197$ .

$\alpha$  نفوذ حرارتی بر حسب ( $m^2 \cdot day^{-1}$ ) است. جنس خاک یا زمین منطقه تهران از نوع سنگ و ماسه می‌باشد و نفوذحرارتی آن  $\frac{m^2}{s} = 1.04$  می‌باشد. (۲۹)

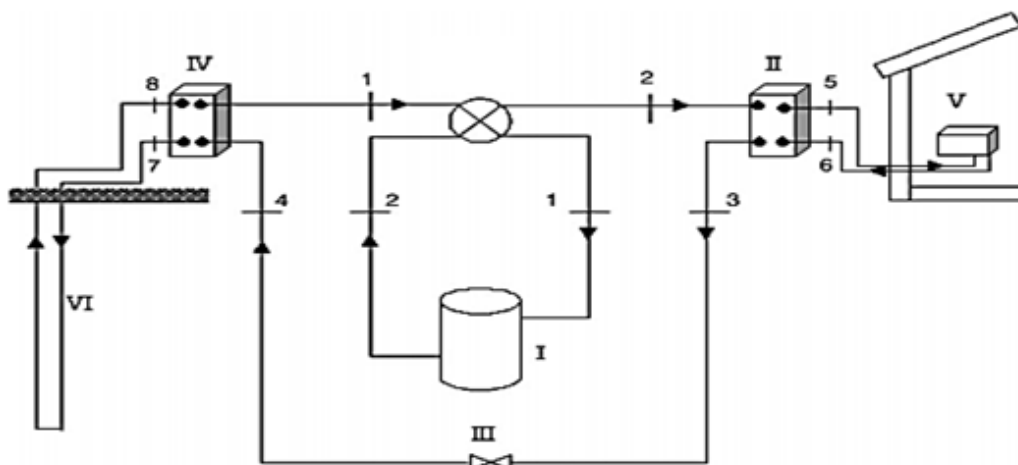
با توجه به نتایج تجربی، چاه زمین گرمایی به عمق  $180$  متر حفر گردید و انتظار می‌رود که دمای مناسبی برای سیستم بحسب آید. ابتدا با استفاده از رابطه (۳۲-۴) دمای زمین در عمق  $15$  متری بحسب می‌آید که همان‌طور که انتظار می‌رفت، برابر با میانگین دمای سالیانه زمین گردید. از عمق  $15$  متری زمین به ازای هر  $100$  متر  $3$  درجه سانتی‌گراد به دمای زمین اضافه می‌گردد، با استفاده از اطلاعات هواشناسی و جنس خاک شهر تهران و رابطه بالا دمای زمین در عمق  $180$  متری زمین برابر است با:

$$T = 21.04^{\circ}\text{C}$$

بنابراین دمای زمین در عمق  $180$  متری زمین در شهر تهران در تمام طول سال برابر با  $21.04^{\circ}\text{C}$  درجه سانتی‌گراد می‌باشد.

### ۳-۱-۴- معادلات موازنۀ انرژی و اگزدزی

شکل ۱-۴ شماتیک سیکل پمپ حرارتی زمین گرمایی مورد نظر برای حل معادلات موازنۀ انرژی را نشان می‌دهد. این پمپ حرارتی زمین گرمایی قابلیت استفاده از گرمایی عمق را دارد. مبدل حرارتی سیستم، بسته عمودی (U) شکل می‌باشد. چاه زمین گرمایی ۱۸۰ متر است. پمپ حرارتی زمین گرمایی از نوع آب به هوا می‌باشد. برای جلوگیری از یخ زدن آب در هوای بسیار سرد زمستان یک مخلوط وزنی ۱۰٪ پروپیلن گیلیکول به آن اضافه شده است. مبرد نیز (R-۱۳۴ a) می‌باشد.



(I) کمپرسور. (II) کندانسور. (III) شیر فشار شکن. (IV) اوپراتور. (V) فن کندانسور. (VI) مبدل حرارتی زمینی

شکل (۱-۴) شماتیک سیکل پمپ حرارتی زمین گرمایی (۲۷)

در اینجا معادلات موازنۀ انرژی برای برخی اجزا که در محاسبه ضریب عملکرد مهم هستند آمده است. معادلات بقای جرم و انرژی برای کمپرسور با رابطه‌های زیر نشان داده شده است.

$$\dot{m}_1 = \dot{m}_2 = \dot{m}_r \quad \text{رابطه (۱۱-۴)}$$

$\dot{m}_r$  نرخ جریان جرمی مبرد (Kg/s) است.

$$\dot{w}_{comp} = \dot{m}_r(h_{2a} - h_1) \quad \text{رابطه (۱۲-۴)}$$

$$\dot{E}X_{dest,comp} = \dot{m}_r(\psi_1 - \psi_{2a}) + \dot{w}_{comp} \quad \text{رابطه (۱۳-۴)}$$

اتلاف اگرژی کمپرسور (Kw) است.

معادلات بقای جرم و انرژی برای کندانسور با رابطه‌های زیر بیان می‌شود:

$$\dot{m}_3 = \dot{m}_2 = \dot{m}_r \quad \text{و} \quad \dot{m}_5 = \dot{m}_6 = \dot{m}_a \quad \text{رابطه (۱۴-۴)}$$

$$\dot{Q}_{cond} = \dot{m}_r(h_{2a} - h_3) \quad \text{رابطه (۱۵-۴)}$$

$$\dot{Q}_{cond} = \dot{Q}_{cfan} \quad \text{رابطه (۱۶-۴)}$$

گرمای کمپرسور (Kw) و گرمای فن کندانسور (Kw) است.

$$\dot{E}X_{des,cond} = \dot{m}_r(\psi_{2a} - \psi_3) + \dot{m}_w(\psi_6 - \psi_5) \quad \text{رابطه (۱۷-۴)}$$

$$\dot{E}X_{des,cond} \quad \text{اتلاف اگرژی کندانسور (Kw) و} \quad \dot{m}_w \quad \text{نرخ جريان جرمی آب (Kg/s) است.}$$

معادلات بقای جرم و انرژی برای شیر فشار شکن با رابطه‌های زیر بیان می‌شود.

$$\dot{m}_3 = \dot{m}_4 = \dot{m}_r \quad \text{رابطه (۱۸-۴)}$$

$$h_3 = h_4 \quad \text{رابطه (۱۹-۴)}$$

$$\dot{E}X_{dest.tv} = \dot{m}_r(\psi_3 - \psi_4) \quad \text{رابطه (۲۰-۴)}$$

اتلاف اگرژی شیر فشار شکن است.

معادلات بقای جرم و انرژی برای اواپراتور با رابطه‌های زیر بیان می‌شود.

$$\dot{m}_4 = \dot{m}_1 = \dot{m}_r \quad \text{رابطه (۲۱-۴)}$$

$$\dot{Q}_{eva} = \dot{m}_r(h_1 - h_4) \quad \text{رابطه (۲۲-۴)}$$

$$\dot{Q}_{eva} = \dot{Q}_{ghe} \quad \text{رابطه (۲۳-۴)}$$

$$\dot{EX}_{des,eva} = \dot{m}_r(\psi_4 - \psi_1) + \dot{m}_w(\psi_8 - \psi_7) \quad \text{رابطه (۲۴-۴)}$$

گرمای اواپراتور،  $\dot{Q}_{ghe}$  اتلاف اگزرزی اواپراتور  
است.

معادلات بقای جرم و انرژی برای فن کندانسور با رابطه‌های زیر بیان می‌گردد.

$$\dot{m}_{air,i} = \dot{m}_{air,o} = \dot{m}_{air} \quad \text{رابطه (۲۵-۴)}$$

$\dot{m}_{air,i}$  نرخ جریان جرمی ورودی هوا (Kg/s)،  $\dot{m}_{air,o}$  نرخ جریان جرمی خروجی هوا  
و  $\dot{m}_{air}$  نرخ جریان جرمی هوا (Kg/s) است.

$$\dot{Q}_{cfan} = \dot{m}_a C_{P,a} (T_{O,a} - T_{i,a}) \quad \text{رابطه (۲۶-۴)}$$

$$\dot{Q}_{cfan} = \dot{Q}_{cond} \quad \text{رابطه (۲۷-۴)}$$

$$\dot{EX}_{dest,cfan} = \dot{m}_a (\psi_5 - \psi_6) - \dot{Q}_{cfan} \left(1 - \frac{T_o}{T_{i,a}}\right) \quad \text{رابطه (۲۸-۴)}$$

گرمای ویژه ثابت هوا  $T_{O,a}$  (Kj/Kg.K)، دمای خروجی هوا فن کندانسور (K)  
دمای ورودی هوا فن کندانسور (K) و  $\dot{EX}_{dest,cfan}$  اتلاف اگزرزی فن کندانسور (Kw) است.

معادلات بقای جرم و انرژی برای مبدل حرارتی زمین با رابطه‌های زیر بیان می‌شود.

$$\dot{m}_7 = \dot{m}_8 = \dot{m}_w \quad \text{رابطه (۲۹-۴)}$$

$$\dot{Q}_{ghe} = \dot{m}_w C_{P,w} (T_8 - T_7) \quad \text{رابطه (۳۰-۴)}$$

$$\dot{Q}_{eva} = \dot{Q}_{ghe} \quad \text{رابطه (۳۱-۴)}$$

$$EX_{dest,ghe} = \left(1 - \frac{T_o}{T_{ground}}\right) \dot{Q}_{ghe} + \dot{m}_w (\psi_7 - \psi_8) \quad \text{رابطه (۳۲-۴)}$$

اتلاف اگرژی مبدل حرارتی ( $K_w$ ) و  $T_{ground}$  دمای زمین (K) است.

اگرژی کل سیستم که از مجموع اگرژی های بدست آمده در بالا حاصل می شود، برابر است با:

$$\text{رابطه (۳۳-۴)}$$

$$Ex_{tot} = \left(1 - \frac{T_0}{T_{ground}}\right) \dot{Q}_{ghe} + \dot{m}_w (\psi_5 - \psi_6) - \dot{Q}_{cfan} \left(1 - \frac{T_0}{T_{i,a}}\right) + \dot{w}_{comp}$$

با توجه به مشخصات سیستم پمپ حرارتی زمین گرمایی و جزییات تجربی که در برخی از مراجع آمده است (۱۴، ۲۲)، مقادیر اولیه مورد نیاز برای محاسبات در جدول ۱-۴ آمده است.

بر اساس مقادیر اولیه و جداول ترمودینامیکی (۳۰) آنالیز انرژی سیستم پمپ حرارتی زمین گرمایی بدست آمد که نتایج آن در در جدول ۲-۴ نشان داده شده است. با استفاده از نرم افزار EES محاسبات مربوط به آنالیز اگرژی آن بدست آمد که نتایج آن در جدول ۳-۴ نشان داده شده است.

جدول (۱-۴) مقادیر مورد نیاز اولیه در سیستم پمپ حرارتی زمین گرمایی (۱۴)

ردیف	شرح	مقدار	واحد
۱	فشار خروجی اوپراتور	۱۸۸.۴	Kpa
۲	درجه حرارت خروجی اوپراتور	-۶.۶	°C
۳	فشار خروجی کمپرسور	۱۱۱۳	Kpa

-	۰.۸۵	بازده کمپرسور آدیاباتیک	۴
Kw	۰.۷۵۲	توان آدیاباتیک کمپرسور	۵
°C	۳۳.۴	درجه حرارت خروجی کندانسور	۶
Kg/s	۰.۰۱۶۹	نرخ جریان جرمی مبرد R-۱۳۴a	۷
Kg/s	۰.۱۰۵	نرخ جریان جرمی هوا در کندانسور	۸
Kg/s	۰.۱۳۲	نرخ جریان جرمی آب-ضدیخ	۹

جدول (۴-۲) آنالیز انرژی سیستم پمپ حرارتی زمین گرمایی

ردیف	شرح	سیال	فاز	دما (°C)	فشار (kpa)	آنالوگی Kj/kg.K	آنالوگی Kj/kg
۰	-	R-134a	Dead state	۲	۱۰۱.۳	۲۵۷.۲	۱.۰۳۸
۱	خرسچه اواپراتور	R-134a	بخار سوپرھیت	-۶.۶	۱۸۸.۴	۲۴۸.۷	۰.۹۵۴۸
۲	خرسچه کمپرسور	R-134a	بخار سوپرھیت	۵۴.۹۸	۱۱۱۳	۲۸۵.۸	۰.۹۵۴۸
۳	خرسچه کندانسور	R-134a	مایع	۳۳.۴	۱۰۵۷	۸.۵۰۳	۰.۰۳۶
۴	خرسچه شیر فشارشکن	R-134a	مایع اشباع	-۱۱.۶	۱۷۸.۹	۹۸.۵	۰.۳۸۵۵
ردیف	شرح	سیال	فاز	دما (°C)	فشار (kpa)	آنالوگی Kj/kg.K	آنالوگی Kj/kg
۵	ورودی فن کندانسور	هوا	گاز	۴۵.۴	۱۰۱.۳	۳۱۹.۱	۰.۷۶۲
۶	خرسچه فن کندانسور	هوا	گاز	۲۴.۵	۱۰۱.۳	۲۹۸.۱	۰.۷۹۴
۷	خرسچه آب-ضدیخ از اواپراتوریه مبدل زمینی	آب-ضدیخ	مایع	۱۲۸۳	۲۰۰	۵۴.۰۳	۰.۱۹۲۶
۸	ورودی آب-ضدیخ از مبدل حرارتی	آب-ضدیخ	مایع	۱۷.۳۳	۳۰۰	۷۲.۹۵	۰.۲۵۷۹

جدول (٤-٣) آنالیز اگزرژی سیستم پمپ حرارتی زمین گرمایی

ردیف	شرح	اتلاف اگزرژی
۱	اوپراتور	۰.۰۷۵۲
۲	کمپرسور	۰.۰۹۲۹
۳	کندانسور	۰.۳۰۴۲
۴	شیرفشار شکن	۰.۱۳۹
۵	فن کندانسور	۰.۵۰۸۱
۶	مبدل حرارتی	۰.۱۰۱۲

## **۴-۲- بهینه‌سازی سیستم**

اولین قدم در بهینه‌سازی مشخص کردن متغیرهای طراحی سیستم است. تا حد امکان متغیرهای طراحی باید مستقل از هم باشند. دومین قدم، تعریف تابع هدف است. تابع هدف معیاری است که طرح نسبت به آن بهینه می‌شود و تابعی از متغیرهای طراحی است. سومین قدم تعریف قیود طراحی است؛ هر قید یک محدودیت بر روی طرح می‌گذارد و باید توسط یک یا چند متغیر طراحی تعیین شود. در این پژوهش با روش الگوریتم ژنتیک به بهینه‌سازی پمپ حرارتی زمین گرمایی که در یک بیمارستان امن زیرزمینی قرار گرفته است، می‌پردازیم.

قبل از بهینه‌سازی با روش الگوریتم ژنتیک به بیان مفاهیم و روند تکاملی الگوریتم ژنتیک می‌پردازیم. در ابتدا یک طبقه‌بندی کلی از روش‌های مطرح جهت بهینه‌سازی پاسخ یک مسئله مطرح می‌گردد. سپس با بیان فرضیه تکاملی داروین در زیست‌شناسی، ایده اصلی (پیش‌زمینه بیولوژیکی) شکل‌گیری الگوریتم ژنتیک را تشریح کرده و در ادامه مفاهیم، ساختار و نحوه عملکرد الگوریتم ژنتیک به طور کامل بیان می‌گردد.

## **۴-۱- تکنیک‌های حل مسائل بهینه‌سازی**

فرآیند بهتر شدن هر چیز را بهینه‌سازی می‌گویند.<sup>(۳۲)</sup> مسائل پیچیده و سنگین به دلیل بزرگ بودن فضای جستجو، امکان استفاده از روش‌های جستجوی معمول را ندارند. اعمال این گونه تکنیک‌ها برای حل چنین مسائلی گاهی به زمانی بیش از عمر یک انسان نیاز دارند. به همین دلیل تکنیک‌های بهینه‌سازی با این ویژگی اصلی که هدف رسیدن به جواب بهینه یا نزدیک به جواب بهینه است، مطرح شدند. در <sup>(۱۵)</sup> روش‌های جستجو به سه دسته اصلی جستجو بر پایه محاسبه، جستجوی تصادفی هدایت شده و جستجوی شمارشی تقسیم شده است. روش‌های بهینه‌سازی جدید (جمعیت مورچگان، ژنتیک، ممتیک و سرد کردن شبیه‌سازی شده) عموماً جزء گروه جستجوی تصادفی هدایت شده هستند. الگوریتم ژنتیک یکی از مناسب‌ترین و کاربردی‌ترین روش‌های بهینه‌سازی می‌باشد.<sup>(۱۶)</sup>

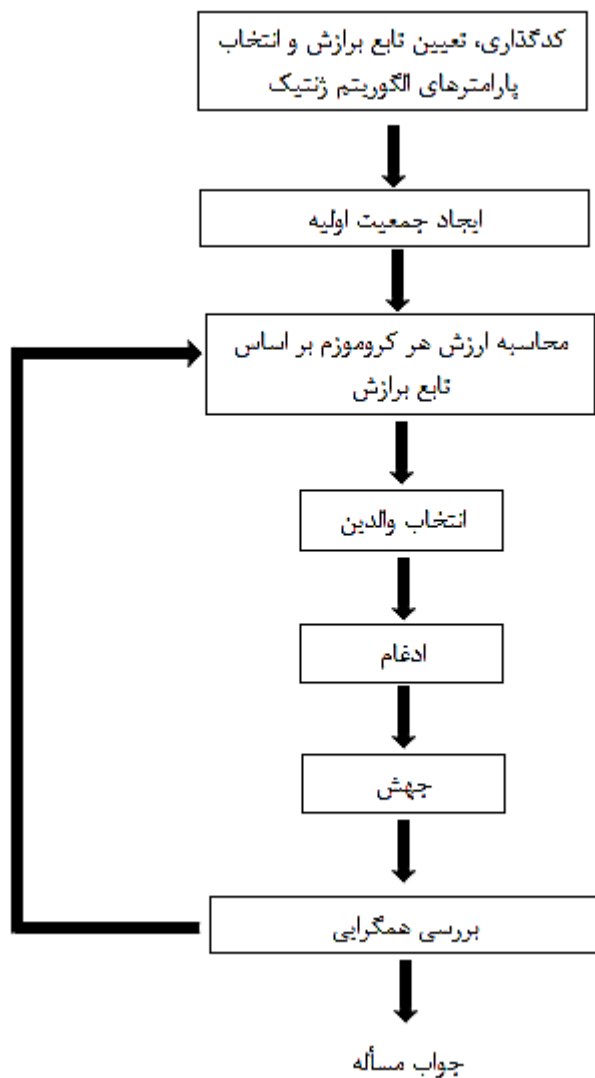
## ۴-۲-۲- الگوریتم ژنتیک

ایده اصلی الگوریتم‌های تکاملی در سال ۱۹۶۰ میلادی توسط ریچبرگ مطرح گردید. الگوریتم‌های ژنتیک که منشعب از الگوریتم‌های تکاملی است، در حقیقت روش جستجوی کامپیوتری بر اساس ساختار ژن‌ها و کروموزوم‌ها است که توسط جان هلن (۱۹۷۰) در دانشگاه میشیگان مطرح شد.<sup>(۱۵)</sup> پس از وی یکی از دانشجویانش به نام دیوید گلدبرگ با حل مسئله بسیار سخت کنترل انتقال خط لوله گاز در رساله خود (۱۹۸۹)، الگوریتم ژنتیک را مشهور ساخت.<sup>(۳۲)</sup> یکی از بهترین و جامع‌ترین تعاریف الگوریتم ژنتیک نیز متعلق به کتاب گلدبرگ است که در آن کتاب نوشته شده است: "الگوریتم ژنتیک مدلی از یادگیری ماشین است که نحوه رفتار آن تمثیلی از فرآیندهای تکاملی موجود در عالم طبیعت است".

الگوریتم ژنتیک یکی از قوی‌ترین روش‌های برگرفته از طبیعت است که به جستجوی فضای مسئله به صورت تصادفی هدایت‌شده پرداخته است، که این جستجو در قالب تلاش جهت ایجاد جواب‌هایی بهتر در هر نسل نسبت به جواب‌های نسل قبل صورت می‌گیرد و یکی از بهترین اشکال بهینه‌سازی عددی در مسائل علوم و مهندسی را ارائه می‌کند.<sup>(۱۶)</sup>

ویژگی اساس الگوریتم ژنتیک ساده بودن آن است. مراحل الگوریتم ژنتیک در شکل ۲-۴ نشان داده شده است. ابتدا پاسخ مسئله را در قالب یک ساختار کروموزمی تعریف می‌کند و با معرفی تابع برازش، کیفیت پاسخ اراده شده در هر کروموزم به صورت تصادفی (یا شبه تصادفی) تولید می‌شود که این کروموزم‌ها به عنوان جمعیت اولیه شناخته می‌شوند. در این مرحله تعدادی پاسخ برای مسئله وجود دارد که عمدتاً از کیفیت پایینی برخوردار هستند. میزان کیفیت هر کروموزم از جمعیت را بر اساس تابع برازش مشخص می‌شود. حال با استفاده از روش مناسب (روشی که در آن احتمال انتخاب کروموزم با مقدار برازش بهتر، بیشتر از کروموزم دارای مقدار برازش ضعیفتر باشد) دو کروموزم جهت تولید مثل انتخاب می‌شود. سپس با استفاده از این دو کروموزم، کروموزم جدیدی ایجاد می‌شود (جفت‌گیری). با یک احتمال مشخص تعدادی از ژن‌های بعضی کروموزم‌ها تغییر داده می‌شوند (جهش). انجام

مراحل انتخاب، جفتگیری و جهش باعث ایجاد جمعیت جدید (نسل جدید) از کروموزم‌ها می‌گردد. در صورت همگرایی کروموزم‌ها به پاسخ مطلوب عملیات تولید نسل متوقف می‌گردد. در غیر این صورت ایجاد هر نسل از نسل قبلی تا رسیدن به جواب مطلوب یا برقراری پایان الگوریتم ادامه می‌یابد. (۱۶)



شکل (۲-۴) مراحل الگوریتم ژنتیک (۱۶)

وجود تنوع زیاد در معرفی فرآیند مورد نیاز در هر مرحله باعث ایجاد الگوریتم‌های ژنتیک متفاوت می‌گردد که می‌تواند به حل مسائل مختلف یا مسائل یکسان با پارامترهای

مختلف کمک نماید. لازم به ذکر است که مراحل ذکر شده عنوان فازهای اصلی الگوریتم ژنتیک هستند و معرفی مراحل جدید بین مراحل ذکر شده امکان‌پذیر است.

### ۴-۲-۳- کدگذاری

کدگذاری یکی از عناصر مهم و تعیین کننده در هر الگوریتم ژنتیک است. به تبدیل پاسخ مسئله به صورت یک ساختار (کروموزم) که از مجموعه ژن‌ها تشکیل شده، کدگذاری می‌گویند.<sup>(۳۳)</sup> کروموزم یک آرایه منظم با طول ثابت از مقادیر ژن‌های ناهمسان مجاور<sup>۱</sup> است. در واقع الگوریتم ژنتیک به جای این که به طور مستقیم بر روی پارامترها یا متغیرهای مسئله کارکند، با شکل کد شده آن‌ها سروکار دارد. تاکنون محدودیت خاصی برای ساختار ژن‌ها مطرح نشده است؛ با این حال روش‌های متنوعی برای کدگذاری مسائل مورد استفاده قرار می‌گیرد.<sup>(۱۶)</sup>

### ۴-۲-۴- تابع برازش

تابع برازش بر اساس مجموعه‌ای از صفات ورودی (کروموزم‌ها) یک مقدار خروجی تولید می‌نماید. این تابع می‌تواند بر اساس فرمول ریاضی با آزمایش محاسبه گردد. در واقع تابع برازش بر اساس پارامترهای مورد توجه برای حل یک مسئله کیفیت یک پاسخ (کروموزم) را به صورت عددی مشخص می‌نماید. در صورتی که این عدد، میزان مطلوبیت کروموزوم را نشان دهد، مسئله از جمله مسائل ماکزیمم‌سازی است که در آن هدف الگوریتم ژنتیک ایجاد کروموزمی خواهد بود که مقدار تابع برازش آن کروموزم ماکزیمم باشد. اگر این عدد بیانگر میزان نامناسب بودن کروموزم باشد، مسئله مینیمم‌سازی است که در آن الگوریتم ژنتیک به دنبال ایجاد کروموزمی با مقدار تابع برازش مینیمم است. اغلب تابع برازش را برابر با همان تابع هدف مسئله بهینه‌سازی در نظر می‌گیرند. در حقیقت تابع برازش یک تابع مشتق شده از تابع هدف در عملیات ژنتیکی است که معمولاً مقدار آن مثبت است. در صورتی که تابع هدف

1 - Allele

( $f(x)$  ، ماکریم‌ساز باشد، تابع برآش  $F(X)$  برای الگوریتم ژنتیک با هدف ماکریم‌سازی از فرمول ۳۴-۴ و برای الگوریتم ژنتیک با هدف مینیمم‌سازی از فرمول ۳۵-۴ بدست می‌آید:

$$F(x) = f(x) \quad \text{رابطه (۳۴-۴)}$$

$$F(x) = \frac{1}{1+f(x)} \quad \text{رابطه (۳۵-۴)}$$

اگرچه حالت ماکریم‌سازی برای الگوریتم ژنتیک مناسب‌تر است اما استفاده از الگوریتم ژنتیک با هدف مینیمم‌سازی تابع هدف دارای دقت قابل توجهی است.<sup>(۱۷)</sup>

## ۴-۲-۵- جمعیت

الگوریتم ژنتیک به وسیله مجموعه‌ای از کروموزم‌ها شروع به کار می‌نماید. به این مجموعه، جمعیت می‌گویند. برای اجرای الگوریتم ژنتیک لازم است جمعیت اولیه‌ای که به صورت تصادفی می‌باشد، معرفی شود.<sup>(۳۲)</sup> تعیین تعداد کروموزم‌های جمعیت بسیار مهم و تاثیرگذار است. افزایش تعداد کروموزم‌ها در جمعیت از یک سو کیفیت جواب‌ها و تنوع آن‌ها را افزایش می‌دهد و از سوی دیگر به دلیل نیاز به انجام عملیات بیشتر، سرعت ایجاد جمعیت‌های جدید را کاهش می‌دهد. به همین دلیل انتخاب عدد مناسب برای تعداد کروموزم‌های جمعیت، تاثیر زیادی در کیفیت جواب‌ها و سرعت رسیدن به آن‌ها دارد. گرچه نمی‌توان عدد خاصی را برای تمامی الگوریتم‌های ژنتیک عنوان نمود؛ اما به دلیل این که افزایش تعداد کروموزم‌های جمعیت، از یک محدوده به بعد تاثیر چندانی در بهبود کیفیت پاسخ‌ها ندارد، می‌توان با انجام آزمایش این محدوده عددی را یافته و به عنوان تعداد کروموزم‌های جمعیت در نظر گرفت. در این پژوهش از محدوده‌های کاری پیشنهاد شده و استفاده شده در مقالات و کتاب‌ها برای تعیین مجموعه جمعیت استفاده شده است.<sup>(۱۶)</sup>

## ۴-۲-۶- انتخاب

در این مرحله از الگوریتم ژنتیک، دو والد جهت جفت‌گیری و تولید کروموزم جدید انتخاب می‌شوند. روش انتخاب باید به نحوی باشد که احتمال انتخاب کروموزم‌های برتر (از

نظر تابع برآش) بیشتر باشند. روش‌های انتخاب مختلفی مطرح شده است؛ اما در این پژوهش از انتخاب نخبه‌گرا استفاده شده است. بر اساس این روش تعداد معینی از بهترین کروموزم‌ها در جمعیت جدید انتخاب می‌شوند. این روند باعث افزایش کارایی الگوریتم ژنتیک می‌گردد، زیرا مانع از گم شدن جواب‌های خوب به دست آمده می‌شود.(۱۶)

## ۴-۲-۷- جفت‌گیری (ادغام)<sup>۱</sup>

به ایجاد کروموزم جدید به وسیله توزیع صفات والدین در آن، جفت‌گیری می‌گویند. اسم‌های مختلفی مانند برش، ادغام، تقاطع و جفت‌گیری برای این عملیات مطرح شده است. به دلیل تناسب معنایی عبارت "جفت‌گیری" با عملیات مشابه صورت گرفته در طبیعت و کاربرد کلمه "ادغام" در بسیاری از کتب، از این دو کلمه برای توصیف این مرحله استفاده می‌شود.

جفت‌گیری یکی از عواملی است که باعث ایجاد تحول در موجودات و تولید افراد متفاوت در یک گونه می‌شود. در طبیعت نتیجه حاصل از جفت‌گیری دو موجود، فرزندی خواهد بود که ترکیبی از صفات والدین خود را به همراه خواهد داشت. از آنجایی که معمولاً صفات برتر به عنوان ژن غالب عمل می‌نمایند، ویژگی‌های مثبت والدین در فرزندان بروز پیدا خواهد کرد. لذا احتمال ایجاد فرزندی برتر از دو والد با ویژگی‌های مثبت مختلف به دلیل دریافت ویژگی‌های مثبت والدین بسیار زیاد است.

در واقع مهم‌ترین مرحله جهت ایجاد تحول و بهبود کیفیت کروموزم‌ها مرحله جفت‌گیری و نحوه توزیع صفات والدین در فرزندان است. اثرگذاری این مرحله در همگرایی کروموزم‌ها به سمت پاسخ مورد نظر به حدی است که معمولاً الگوریتم ژنتیک را به وسیله انجام مرحله جفت‌گیری معرفی می‌نمایند. اکثر روش‌های جفت‌گیری معمول بدین صورت عمل می‌نمایند که طبق یک روش دلخواه، تعدادی از ژن‌های والد اول و تعدادی از ژن‌های والد دوم انتخاب نموده به نحوی که هر ژن فقط و تنها فقط در یکی از والدها انتخاب شده

باشد. سپس کروموزم جدید بر اساس ترکیب ژن‌های انتخاب شده والد اول و دوم ایجاد می‌گردد. اگر عملیات جفت‌گیری برای تولید دو فرزند طراحی شده باشد، کروموزم دوم از ادغام ژن‌های انتخاب نشده والد اول و دوم به وجود می‌آید. (۱۶)

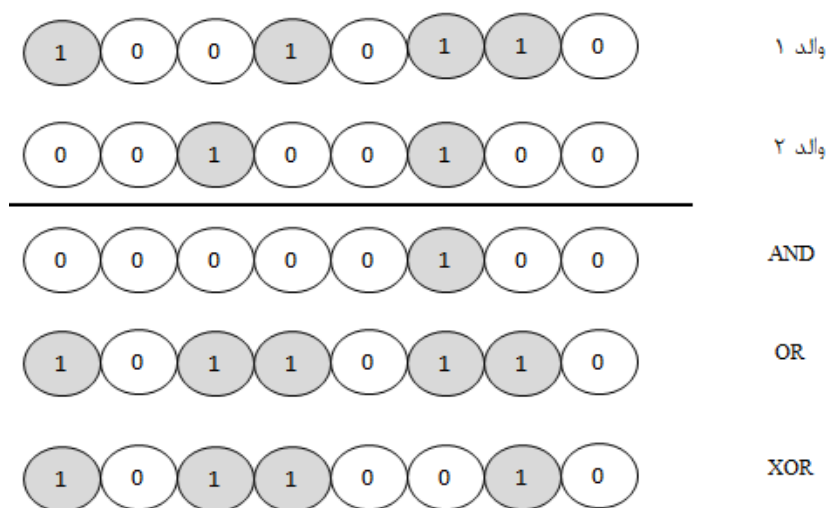
## ۱-۴-۲- جهش<sup>۱</sup>

یکی دیگر از عوامل تحول‌زا در موجودات زنده، جهش است. به پیدایش هر نوع تغییر در ژن‌های یک کروموزم جهش می‌گویند. در واقع جهش ژنتیکی در نگاه عامه مردم به تغییرات منفی در ساختار کروموزم اشاره می‌نماید. البته از آنجایی که این تغییرات به صورت تصادفی است امکان ایجاد کروموزم‌های نامناسب در آن زیاد است. به عنوان مثال اگر مقدار یک بیت در تمام کروموزم‌ها صفر (یا یک) باشد با هیچ یک از روش‌های ادغام نمی‌توان مقدار این بیت را یک (یا صفر) نمود؛ چون فرآیند جفت‌گیری بر اساس انتقال خصوصیات از والدین به فرزندان عمل می‌نماید. از آنجایی که مقدار این ژن در آن یک (یا صفر) باشد. در حقیقت عملیات جهش برای گریز از قرار گرفتن در اکسترم‌های محلی (بسته به این که تابع برازش به دنبال ماکسیمم کردن است یا مینیمم) مورد استفاده قرار می‌گیرد.

در کروموزم‌های دارای ساختار باینری (ساختار صفر و یک)، عمل جهش عبارت است از تغییر مقدار یک بیت از یک به صفر یا بلعکس بر اساس یک احتمال کوچک مثل  $P_m$ . مکانیزم اجرایی جهش بدین صورت است که یک عدد تصادفی بین ۰ تا ۱ تولید می‌نماید؛ اگر این عدد کمتر از  $P_m$  بود آن‌گاه تغییر مقدار بیت انجام می‌پذیرد و گرنه مقدار بیت تغییری نمی‌کند. در صورتی که بخواهد برای تک تک بیتها احتمال تغییر را در نظر گرفته و عملیات جهش را بر روی آن‌ها اعمال نماید، باید مقدار  $P_m$  را خیلی کم در نظر بگیرید. در غیر این صورت کروموزم‌هایی که به صورت تصادفی ساخته می‌شوند تفاوت چندانی از نظر کیفیت نخواهند داشت. برای کروموزم‌های دارای ساختار جایگشتی، با جابجایی مقدار دو خانه که به صورت تصادفی انتخاب شده‌اند، می‌توان عملیات جهش را پیاده‌سازی نمود. وقتی که جمعیت به

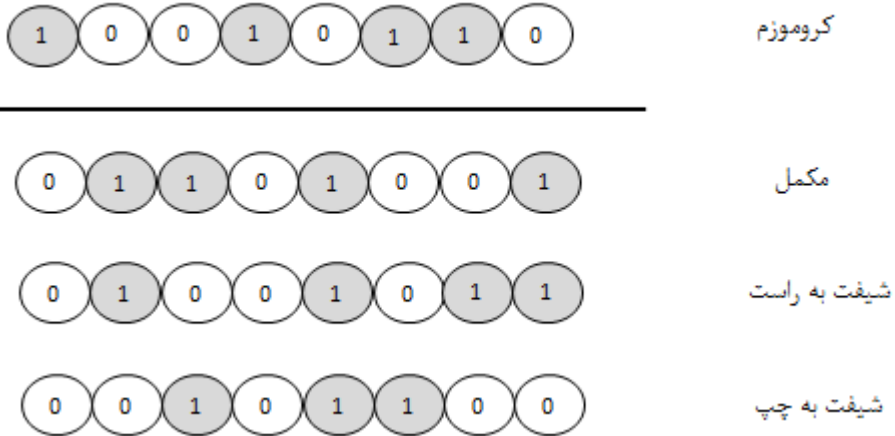
۱ - Mutation

سمت جواب خاصی (اکسٹرم محلی) همگرا می شود، باید احتمال جهش را زیاد نمود تا تنوع کروموزمها در جمعیت افزایش یابد و وقتی جمعیت حاوی کروموزم‌های غیر یکسان است باید احتمال جهش کم شود. بنابراین احتمال جهش تابع معکوسی از تعداد جواب‌های غیر یکسان جمعیت است. می‌توان بر اساس این موضوع احتمال جهش را بین دو مقدار در حال تغییر قرار دارد. نکته دیگر درباره عملگرهای فوق، یافتن تعداد نقاط جهش است که این مورد از مسئله به مسئله دیگر فرق می‌کند و هیچ راه به خصوصی برای یافتن مقدار بهینه آن به جز استفاده از روش سعی و خطأ وجود ندارد.<sup>(۱۵)</sup>



شکل (۳-۴) توابع بیتی قابل استفاده در جفت‌گیری<sup>(۱۵)</sup>

در جفت‌گیری و جهش در ساختار باینری می‌توان از عملگرهای بیتی نیز استفاده نمود. عملگرهای دو دوکاره در روش‌های جفت‌گیری و عملگرهای تک کاره در مدل‌های جهش کاربرد دارند. از آنجایی که در عملگر AND احتمال ایجاد صفر، سه برابر عدد یک است و در OR احتمال ایجاد یک، سه برابر عدد صفر است. استفاده از این دو عملگر توصیه نمی‌شود. در شکل ۴-۳ برخی از این عملیات در جفت‌گیری نشان داده شده‌اند. در شکل ۴-۴ تعدادی عملیات معرفی شده که بر روی یک کروموزم عمل می‌نمایید و باعث جهش می‌شود نمایش داده شده است.



شکل (۴-۴) توابع بیتی قابل استفاده در جهش (۱۵)

## ۹-۲-۶- همگرایی

تاکنون تحقیقاتی برای بررسی همگرایی الگوریتم ژنتیک با استفاده از زنجیره مارکوف گرفته است. این بررسی‌ها بر روی جمعیت‌های بزرگ با نرخ جهش پایین، به صورت آماری انجام شده است. مطالعات دیگری برای پیدا کردن یک واحد بالا برای تعداد تکرارها نیز صورت گرفته است اما به طور کلی یک اثبات صریح و جامع ریاضی درباره همگرایی وجود ندارد. یک معیار دیگر همگرایی را می‌توان به این صورت بیان کرد که وقتی یک درصد ثابتی از سطر و ستون‌های ماتریس جمعیت شبیه هم می‌شوند، می‌توان فرض کرد که همگرایی صورت گرفته است. این درصد ممکن است  $80\%$  یا  $85\%$  باشد.<sup>(۱۵)</sup> در این پژوهش از  $80\%$  استفاده شده است.

## ۱۰-۲-۴- شرط توقف الگوریتم

سوال مهمی که در اینجا وجود دارد این است که چه زمانی باید الگوریتم متوقف شود؟. باید اذعان داشت که هیچ جواب جامع و مناسبی برای این سوال وجود ندارد؛ اما بعضی از شرط‌های توقف عبارتند از:

۱. رسیدن به جواب که این ساده‌ترین روش است. به این معنی که اگر مقدار کروموزم مناسب‌ترین باشد، الگوریتم متوقف می‌شود.
۲. عدم پیشرفت؛ یعنی الگوریتم ژنتیک پس از  $x$  بار تکرار با همان کروموزم‌های قبلی ادامه پیدا کند.
۳. به روش آماری: اگر مقدار تابع برازش به یک مقدار مشخصی رسید، الگوریتم متوقف شود.
۴. تعداد تکرارها: اگر هیچ از یک موارد فوق جواب نداد، شرط توقف را تعداد تکرارهای مشخصی قرار می‌دهیم.
۵. بهینه‌سازی موضعی: از یک بهینه‌سازی موضعی استفاده می‌کنیم که در صورت عدم پیشرفت متوقف شود.(۱۵)

در این پژوهش برای تعیین اتمام فرآیند بهینه‌سازی تعداد تکرارها مشخص شده است.

## ۱۱-۲-۴- متغیرهای بهینه‌سازی

برخی از متغیرهای مستقل ممکن است طی مراحل بهینه‌سازی تغییر کند که به آن‌ها متغیرهای تصمیم می‌گوییم و برخی دیگر برای یک کاربرد خاص ثابت هستند که به آن‌ها پارامتر می‌گوییم. با مشخص شدن متغیرهای تصمیم، سایر مشخصات سیستم محاسبه می‌شود. متغیرهای تصمیم موارد زیر هستند:

- (۱) نرخ جریان جرمی مبرد (کیلوگرم بر ثانیه)
- (۲) نرخ جریان جرمی آب (کیلوگرم بر ثانیه)
- (۳) دمای هوای ورودی به فن کندانسور (درجه سلسیوس)
- (۴) دمای خروجی از اواپراتور (درجه سلسیوس)
- (۵) دمای خروجی از کندانسور (درجه سلسیوس)
- (۶) دمای ورودی به مبدل زمین گرمایی (درجه سلسیوس)
- (۷) دمای خروجی از مبدل زمین گرمایی (درجه سلسیوس)

۸) بازده آیزنتروپیک کمپرسور

۹) بازده حرارتی کندانسور

۱۰) بازده حرارتی اوپراتور

## ۱۲-۲-۴- پارامترهای بهینه‌سازی با الگوریتم ژنتیک

ویژگی‌های مهم زیر را در الگوریتم ژنتیک برای بهینه‌سازی متغیرهای تصمیم و تابع هدف در نظر گرفته شده است:

۱) اندازه جمعیت: ۱۰۰ تا

۲) تعداد تکرار: ۱۵۰ بار

۳) درصد ادغام: ۰.۷

۴) درصد جهش: ۰.۴

۵) نرخ تاثیر جهش: ۰.۰۲

## ۱۳-۲-۴- توابع هدف

با توجه به اینکه ما در بهینه‌سازی از روش الگوریتم ژنتیک مرتب شده غیر مغلوب به صورت چند هدفه استفاده می‌کنیم پس لازم است تابع جند هدفه شامل تابع هدف اگزرژی و اقتصادی معین شوند. تابع هدف اگزرژی همان رابطه ۴-۳۳ می‌باشد که عبارت است از:

تابع هدف اگزرژی :

$$Z_1 = \left(1 - \frac{T_0}{T_{ground}}\right) \dot{Q}_{ghe} + \dot{m}_w(\psi_5 - \psi_6) - \dot{Q}_{cfan}\left(1 - \frac{T_0}{T_{i,a}}\right) + \dot{w}_{comp}$$

برای تحلیل و بهینه‌سازی اقتصادی سیستم‌های انرژی، باید هزینه سرمایه‌گذاری، هزینه بهره‌برداری که همان هزینه مصرف برق می‌باشد و هزینه تعمیرات و نگهداری سیستم‌ها را محاسبه کرد.

با استفاده از مراجع (۳۶، ۳۵، ۳۴) توابع هزینه و تعمیرات و نگهداری تجهیزات به صورت زیر تعریف می‌گردد:

الف) الکتروموتور کمپرسور :

$$Z_i = Z_{o,i} \left( \frac{P_i}{P_{o,i}} \right)^{m_i} \frac{\eta_i}{1-\eta_i} \quad \text{رابطه (۳۶-۴)}$$

که  $P_i$  کار مکانیکی بدست آمده از موتور الکتریکی و  $\eta_i$  بازده الکترومکانیکی موتور است و مقادیر ثابت  $Z_{o,i} = 150$  \$ و  $P_{o,i} = 10 \text{ Kw}$  ،  $m_i = 0.87$  پیشنهاد شده است.

ب) کمپرسور :

$$Z_{comp} = Z_{o,cp} \left( \frac{P_{cp}}{P_{o,cp}} \right)^{m_{cp}} \left( \frac{\eta_{cp}}{0.9 - \eta_{cp}} \right)^{n_{cp}} \quad \text{رابطه (۳۷-۴)}$$

که  $P_{cp}$  کار واقعی کمپرسور و  $\eta_{cp}$  بازده ایزنتروپیک کمپرسور می‌باشد و مقادیر ثابت  $Z_{o,cp} = 12000$  \$ و  $P_{o,cp} = 100$  و  $m_{cp} = 1$  و  $n_{cp} = 0.5$  پیشنهاد شده است. (۱۷)

ج) کندانسور :

$$Z_{cond} = Z_{o,co} \left\{ \frac{C_{a,co}}{U_{co} \cdot A_{o,co}} \times [-\ln(1 - \varepsilon_{co})] \right\} \times P_{co} \quad \text{رابطه (۳۸-۴)}$$

که  $P_{co}$  همان اتلاف حرارتی کندانسور می‌باشد و  $C_{a,co}$  ظرفیت حرارتی هوا در واحد زمان ،  $\varepsilon_{co}$  بازده حرارتی کندانسور است که مقدار اولیه آن ۰.۷۶ می‌باشد و مقادیر ثابت  $U_{co} = 0.15 \text{ Kw/m}^2 \text{K}$  و  $A_{o,co} = 100 \text{ m}^2$  ،  $Z_{o,co} = 450$  پیشنهاد شده است. (۱۷)

د) شیر فشار شکن :

$$Z_{ex.v} = Z_{o,ex.v} \times P_{ex.v} \quad \text{رابطه (۳۹-۴)}$$

که  $P_{ex.v}$  همان محصول شیر فشار شکن و  $Z_{o,ex.v} = ۳۷$  \$ پیشنهاد شده است. (۱۷)

ه) اواپراتور :

$$Z_{evap} = Z_{o,ev} \left\{ \frac{C_{w,ev}}{U_{co,A_{o,ev}}} \times [-\ln(1 - \varepsilon_{ev})] \right\} \times P_{ev} \quad (40-4)$$

که همان اتلاف حرارتی اواپراتور و  $C_{w,ev}$  ظرفیت گرمایی آب  $\varepsilon_{ev}$  بازده حرارتی اواپراتور است که مقدار اولیه آن ۰.۷۴ میباشد و مقادیر ثابت  $A_{o,ev} = 1140 m^2$  و  $Z_{o,ev} = 1140 \$$  و  $U_{ev} = 0.2 Kw/m^2 K$  پیشنهاد شده است. (۱۷)

با توجه به معادلات بالا کل هزینه سرمایه‌گذاری و تعمیر و نگهداری<sup>۱</sup> به صورت رابطه ۴-۱ با توجه به معادلات بالا کل هزینه سرمایه‌گذاری و تعمیر و نگهداری<sup>۲</sup> به صورت زیر تعریف می‌شود:

$$Z_{tot} = (1 + CRF) \times (Z_i + Z_{comp} + Z_{cond} + Z_{ex.v} + Z_{evap}) \quad (41-4)$$

که  $CRF$  ضریب بازگشت سرمایه<sup>۲</sup> که به صورت زیر تعریف می‌شود:

$$CRF = \frac{i \times (1+i)^n}{(1+i)^n - 1} \quad (42-4)$$

که  $n$  عمر کارکرد تجهیزات است که در اینجا برابر ۱۵ سال در نظر گرفته شده است و  $i$  نرخ بهره که برابر ۰.۱۴ میباشد.

هزینه بهره‌برداری نیز از رابطه زیر بدست می‌آید:

$$Z_{op} = (\dot{W}_{comp} + \dot{W}_{pump}) \times \tau \times C_{elec} \quad (43-4)$$

در این رابطه  $C_{elec} = 0.06 \$$  هزینه انرژی برق است.  $\dot{W}_{pump}$  کار مربوط به پمپ میباشد که برابر با ۱۰۰ کیلو وات در روز در نظر گرفته شده است و  $\tau$  تعداد ساعت بهره‌برداری در سال است. (۱۷)

1 - Capital And Maintenance Costs

2 - Capital Recovery Factor

با توجه به روابط ذکر شده تابع هدف اقتصادی برابر با مجموع هزینه‌های سرمایه‌گذاری و تعمیر و نگهداری و همچنین هزینه بهره‌برداری می‌باشد که عبارت است از:

تابع هدف اقتصادی :

$$Z_2 = Z_{tot} + Z_{op} \quad \text{رابطه (44-4)}$$

رابطه‌های ۴-۳۳ و ۴-۴ توابع هدف برای بهینه‌سازی چند هدفه تخریب اگزرسی و نرخ هزینه می‌باشند که توسط کد نویسی در نرم افزار Matlab با روش الگوریتم ژنتیک بهینه می‌شوند.

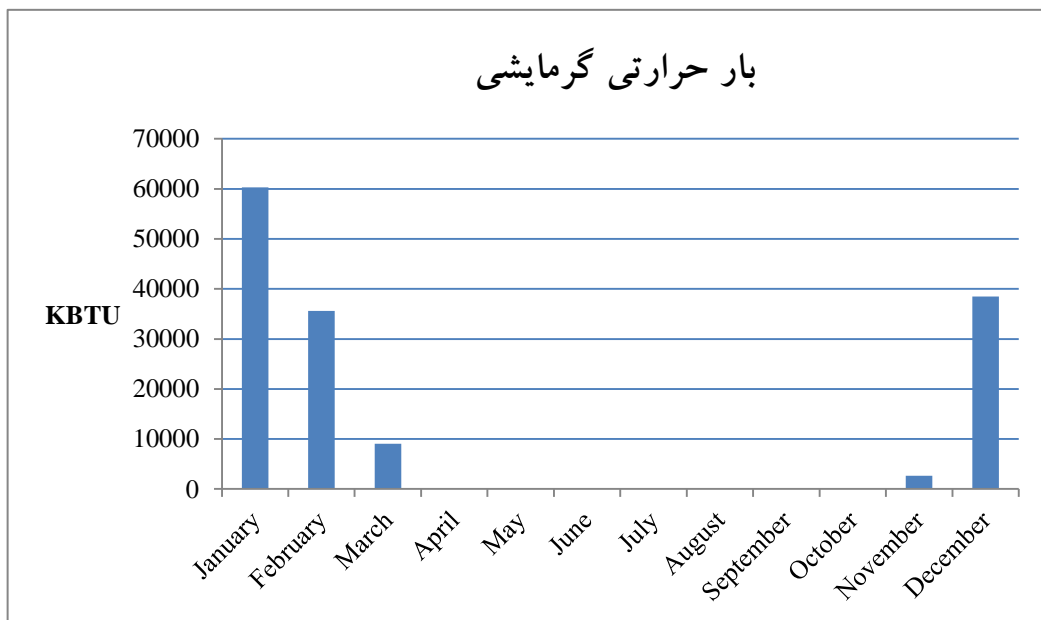
## **فصل پنجم : نتایج**

## ۱-۵- مقدمه

در این پژوهش ابتدا اتلاف حرارتی بیمارستان زیرزمینی در نرم افزار Carrier محاسبه گردید. سپس تحلیل اگزرسی پمپ حرارتی زمین‌گرمایی جهش گرمایش بیمارستان مذکور با توجه به آب و هوای شهر تهران انجام گردید. در آخر هم با استفاده از الگوریتم ژنتیک مرتب شده غیر مغلوب، بهینه‌سازی چند هدفه به طور همزمان (تابع هدف اگزرسی و تابع هدف اقتصادی) برای پمپ حرارتی زمین‌گرمایی با کد نویسی در نرم افزار Matlab انجام شد.

## ۲-۵- نتایج مربوط به بار حرارتی

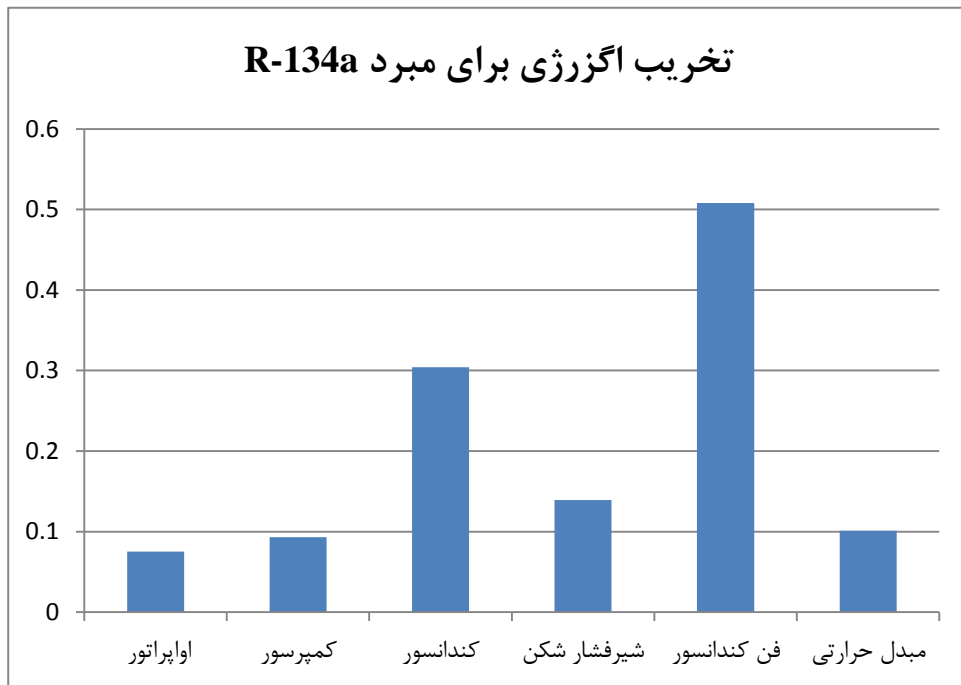
چنانچه در محاسبات مربوط به اتلاف حرارتی ساختمان که در فصل ۳ مشاهده شد، بار حرارتی ساختمان در نرم افزار Carrier انجام گردید. در پیوست ب نتایج حاصل از محاسبات بار حرارتی ساختمان توسط این نرم افزار آمده است. نمودار ۱-۵ بار حرارتی ماهانه بر حسب kBTU نشان می‌دهد.



نمودار (۱-۵) بار ماهانه حرارتی ساختمان جهت گرمایش

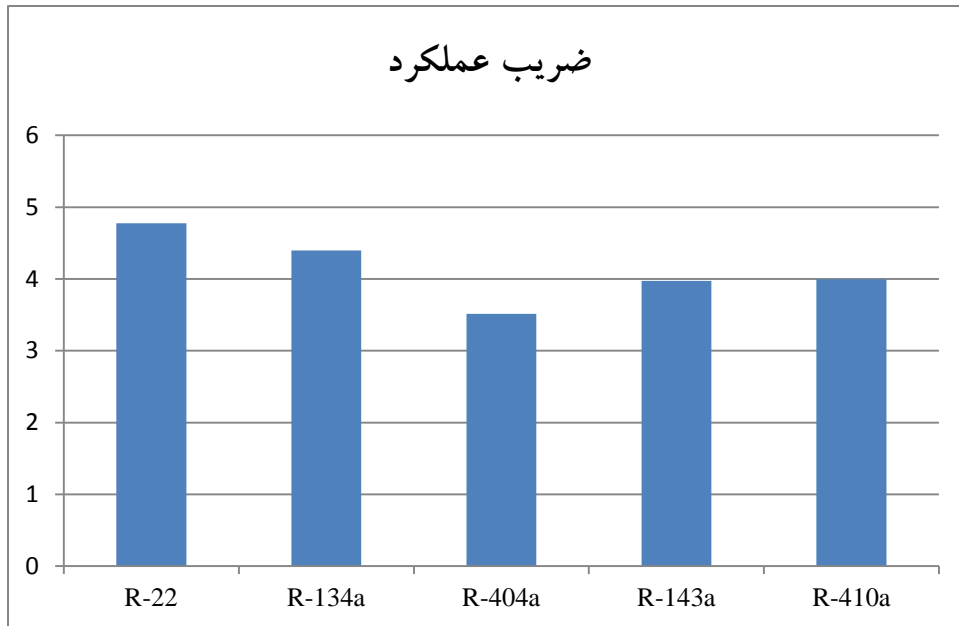
### ۳-۵- نتایج مربوط به اگزرژی

بر اساس تحلیل اگزرژی سیستم پمپ حرارتی زمین گرمایی برای بیمارستان زیرزمینی در شهر تهران که مبدل زمینی آن، سیکل بسته U شکل می‌باشد؛ بیشترین اتلاف اگزرژی مربوط به فن کندانسور می‌باشد و بعد از آن به ترتیب کندانسور، شیرفشارشکن، مبدل حرارتی زمینی، کمپرسور و در آخر اوپراتور می‌باشند. نتایج مربوط به تحلیل اگزرژی اجزاء پمپ حرارتی زمین گرمایی به صورت نمودار ۲-۵ ارائه شده است.



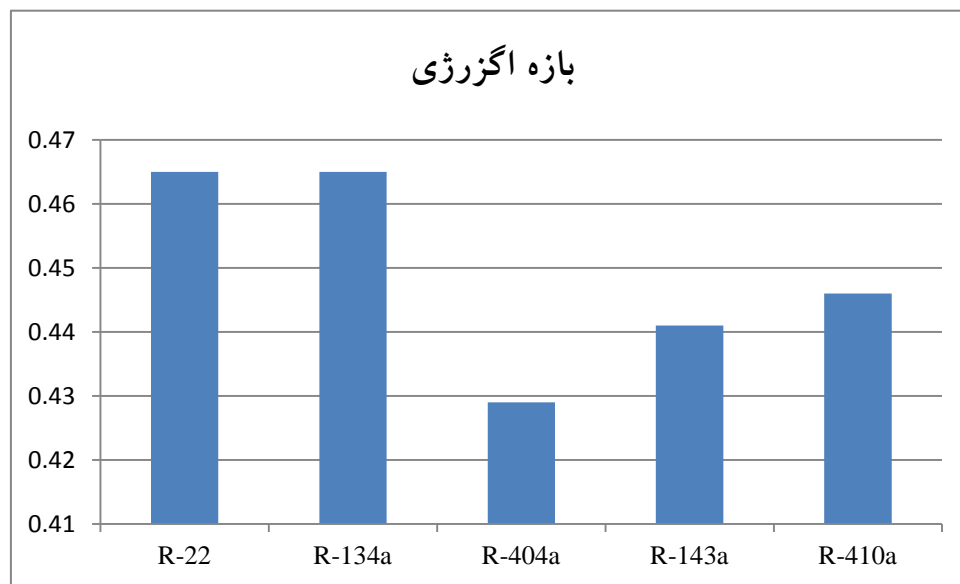
نمودار (۲-۵) اتلاف (تخریب) اگزرژی اجزاء پمپ حرارتی زمین گرمایی

یکی از عوامل مهم در تعیین ضریب عملکرد و راندمان سیستم پمپ حرارتی زمین گرمایی انتخاب نوع مبدل است. نمودار ۳-۵ ضریب عملکرد برای مبدل‌های مختلف نشان داده شده است.



نمودار (۳-۵) ضریب عملکرد سیستم پمپ حرارتی زمین گرمایی برای مبردهای مختلف

این نمودار نشان دهنده تاثیرگذاری مبردهای مختلف در میزان ضریب عملکرد سیستم پمپ حرارتی زمین گرمایی است که بر این اساس مبردهای R-22 و R-134a بهترین مبردها هستند. همچنین از نمودار ۴-۵ که بازده اگزرژی برای مبردهای مختلف را نشان می‌دهد؛ استنباط می‌شود، مبردهای R-134a و R-22 دارای بیشترین بازده اگزرژی می‌باشد.



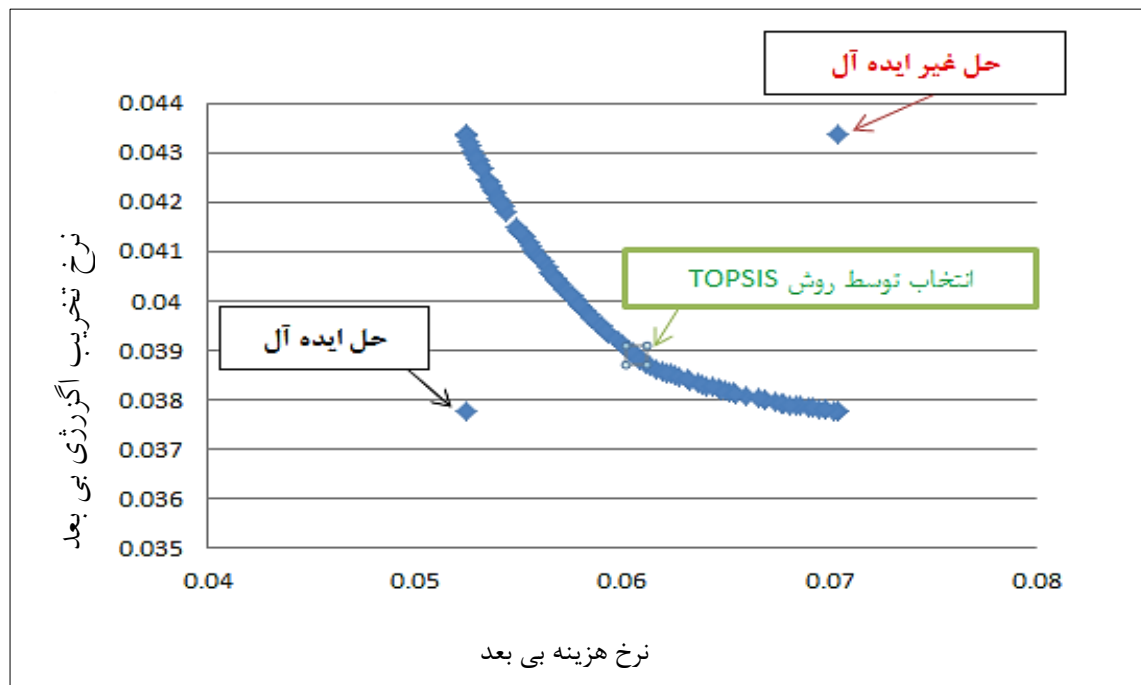
نمودار (۴-۵) بازده اگزرژی سیستم برای مبردهای مختلف

سمی و اشتعال پذیربودن مبردها نیز از نظر پدافندی بسیار حائز اهمیت می‌باشد. در استاندارد ASHREA مبردها بر اساس میزان سمی بودن (دارای اثرات سمی = B و غیر سمی = A) و اشتعال پذیری (بسیار اشتعال پذیر = ۳، کم اشتعال پذیر = ۲ و اشتعال ناپذیر = ۱) تقسیم شوند. همگی مبردها به جز R-143a در کلاس A1 قرار دارند یعنی غیرسمی و غیرقابل اشتعال هستند که در کلاس A2 قرار دارد یعنی این مبرد غیرسمی و دارای قابلیت اشتعال کم می‌باشد.<sup>(۳۷)</sup>

امروزه اکثر پمپ‌های حرارتی صنعتی نصب شده در ایران با مبرد R-22 کار می‌کنند. اما این مبرد پایدار و منحرب لایه اوزون است و همه کشورها به دنبال جایگزینی مناسب برای آن در صنعت هستند که اکنون بیشتر کشورهای صنعتی و پیشرفته مبرد R-134a را جایگزین آن کرده‌اند چرا که این مبرد هم دارای ضریب عملکرد بالا می‌باشد و هم بازده اگزرژی بالای دارد. محاسبات مربوط به ضریب عملکرد پمپ حرارتی زمین گرمایی و راندمان اگزرژی برای مبردهای مختلف در نرم افزار EES در پیوست ج آمده است.

## ۴-۵- نتایج مربوط به بهینه‌سازی اقتصادی

پس از یافتن توابع هدف اگررژی و اقتصادی، این توابع در نرم افزار Matlab کدنویسی شدند و با روش الگوریتم ژنتیک مرتب شده غیر مغلوب چند هدفه، این دو تابع هدف به صورت همزمان بهینه شدند. نقطه بهینه با استفاده از روش TOSIS که بر اساس کمترین فاصله از نقطه ایده‌آل و بیشترین فاصله از نقطه غیر ایده‌آل می‌باشد، بدست آمد. نمودار ۵-۵ انتخاب نقطه بهینه با توجه به نرخ اتلاف اگررژی و نرخ هزینه کل را نشان می‌دهد.



نمودار (۵) جبهه پرتوی بی بعد برای بهینه‌سازی هزینه-نرخ تخریب اگررژی و انتخاب نقطه بهینه

بر اساس روش انتخاب نقطه بهینه جواب‌های بدست آمده که همام روش تاپسیس می‌باشد؛ در نمودار پرتوی بی بعد، جواب‌ها (فرزنдан پس از اعمال عملگرهای ادغام و جهش) بر اساس تابع اتلاف اگررژی و تابع هزینه بدست آمده‌اند، فرزند (جواب) ۴۹ ام دارای بهترین مقادیر بهینه‌سازی است. مقادیر بهینه پارامترهای طراحی و توابع هدف در جدول ۱-۵ و جدول ۲-۵ نشان داده شده است.

جدول (۱-۵) مقادیر بهینه متغیرهای طراحی (تصمیم گیری)

متغیرهای طراحی	مقدار بهینه	مقدار اولیه
نرخ جریان جرمی مبرد(کیلوگرم بر ثانیه)	۰.۰۱۴	۰.۰۱۶۹
نرخ جریان جرمی آب(کیلوگرم بر ثانیه)	۰.۱۲۵	۰.۱۳۲
دماهی هوا ورودی به فن کندانسور(درجه سلسیوس)	۴۰	۴۵.۴
دماهی خروجی از اوپراتور(درجه سلسیوس)	-۲.۸	-۶.۶
دماهی خروجی از کندانسور(درجه سلسیوس)	۳۳.۸	۳۳.۴
دماهی ورودی به مبدل زمین گرمایی(درجه سلسیوس)	۱۴.۸۴	۱۲.۸۳
دماهی خروجی از مبدل زمین گرمایی(درجه سلسیوس)	۱۹.۸۵	۱۷.۳۳
بازده آیزنتروپیک کمپرسور	۰.۸	۰.۸۵
بازده حرارتی کندانسور	۰.۷	۰.۷۶
بازده حرارتی اوپراتور	۰.۷	۰.۷۴

بر اساس مشاهدات در مقالات و کتب ترمودینامیکی، نرخ جرمی مبرد در پمپ حرارتی زمین گرمایی در بازه (۰.۰۱ تا ۰.۰۲) متغیر است و نرخ جرمی آب در مبدل زمینی پمپ حرارتی نیز در بازه (۰.۱ تا ۰.۱۵) متغیر است. با مقایسه بین مقادیر بهینه و مقادیر اولیه متغیرهای طراحی پمپ حرارتی زمین گرمایی می‌توان گفت، که نرخ جرمی مبرد (R-134a) و نرخ جرمی آب در بهینه‌سازی از مقدار اولیه طرحی کمتر شده‌اند و به مقدار حداقلی خود نزدیک‌تر هستند.

دماهی هوا ورودی به فن کندانسور در حالت اولیه مقدار ۴۵.۴ درجه سانتی گراد می‌باشد ولی در مقدار بهینه باید دارای مقدار ۴۰ درجه سانتی گراد باشد تا بیشترین راندمان را داشته باشد. بدین ترتیب اگر بخواهیم اوپراتور عملکرد بهینه داشته باشد باید دماهی خروجی از اوپراتور مقداری کمتر از مقدار اولیه طراحی و معادل -۲.۸ درجه سانتی گراد را داشته باشد.

چنانچه از جدول برداشت می‌شود، متغیرهای طراحی در مبدل زمینی (دماخ خروجی و ورودی به مبدل زمینی) در حالت بهینه برخلاف دیگر متغیرهای طراحی، بیشتر از مقادیر اولیه شده‌اند.

بازده آیزنتروپیک کمپرسور که بین مقادیر ۰.۸ تا ۰.۸۵ در حال تغییر است، در حالت بهینه همان مقدار حداقلی خود می‌باشد. بازده حرارتی کنданسور در بازه (۰.۷ الی ۰.۸) و بازده حرارتی اوپراتور نیز در بازه (۰.۷ الی ۰.۹) متغیر می‌باشند که بازده حرارتی کندانسور و اوپراتور در حالت بهینه از حالت طراحی اولیه خود کمتر شده و به مقدار حداقلی خود رسیده‌اند.

جدول (۲-۵) مقادیر بهینه توابع هدف

مقادیر توابع هدف	مقدار بهینه	مقدار اولیه	درصد تغییرات (%)
نرخ انتقال حرارت کندانسور(کیلووات)	۰.۱۸۴	۰.۱۶۳	۱۲.۸۸
نرخ انتقال حرارت اوپراتور(کیلووات)	۱.۴۹۳	۱.۴۰۲	۶.۴۹
توان کمپرسور(کیلووات)	۰.۶۲۴	۰.۶۳۸	-۱.۴
نرخ کل تخریب اگرژی (کیلووات)	۱.۸۹۲۱	۱.۹۷۶	-۴.۲۴
هزینه الکتروموتور(دلار بر روز)	۰.۲۵۲	۰.۲۳۵	۷.۰۶
هزینه کمپرسور(دلار بر روز)	۰.۴۹۰	۰.۴۳۱	۱۳.۵۰
هزینه کندانسور(دلار بر روز)	۰.۰۵۶	۰.۰۴۴	۲۶.۱۸
هزینه شیر فشار شکن(دلار بر روز)	۰.۰۵۷	۰.۰۵۱	۱۲.۲۴
هزینه اوپراتور(دلار بر روز)	۰.۲۵۴	۰.۲۰۵	۲۳.۷۶
هزینه بهره برداری (دلار بر روز)	۶.۲۳۱	۶.۵۰۴	-۳.۷۲
هزینه کل (دلار بر روز)	۷.۳۰۹	۷.۴۶۶	-۱.۳۴

بر اساس جدول فوق نرخ انتقال حرارت کندانسور و اوپراتور در حالت بهینه بیشتر از مقدار اولیه طراحی می‌باشد و درصد تغییرات آنها به ترتیب ۱۲.۸۸ و ۶.۴۹ می‌باشد و توان

بهینه کمپرسور نیز به مقدار ۱.۴ درصد نسبت به مقدار اولیه کاهش یافته است. همچنین نرخ اتلاف اگررژی در حالت بهینه دارای کاهش ۴.۲۴ درصدی نسبت به طراحی اولیه داشته است.

هر چند طی بهینه‌سازی، هزینه تجهیزات افزایش نشان داد، (قیمت الکتروموتور ۶۷.۰۰ درصد، قیمت کمپرسور ۱۳.۵۰ درصد، قیمت کندانسور ۲۶.۱۸ درصد، قیمت شیر فشارشکن ۱۲.۲۴ درصد و قیمت اوپراتور ۲۳.۷۶ درصد)، در مقابل کاهش هزینه ۳.۷۲ درصدی مصرف بهره‌برداری (صرف انرژی) در کل، منجر به کاهش هزینه ۱.۳۴ درصدی برای کل سیستم گردید.

## ۵-۵- پیشنهادات

۱. تحقیقات در زمینه چگونگی استفاده بیشتر از انرژی‌های تجدیدپذیر، نو و پاک در

اماکن نظامی و حساس کشور به منظور تأمین انرژی پایدار در زمان بحران مانند جنگ

۲. مقایسه انواع پمپ حرارتی در شرایط جغرافیایی و آب و هوایی و تعیین سیستم

مناسب در مناطق مختلف

۳. بررسی ترکیب این سیستم‌ها با سیستم‌های هیبریدی (برج خنک کن برای دفع بیشتر

حرارت در فاز سرمایش و سیستم‌های خورشیدی برای جذب حرارت در فاز

گرمایش) جهت بالابردن توان و بازده در مناطق مناسب طبق اصول پدافند غیرعامل

## فهرست منابع و مأخذ

- ۱- دفتر آگاهسازی سازمان انرژی‌های نو ایران (سانا)، انرژی زمین‌گرمایی ۱، گزارش دوم، تهران: سازمان انرژی‌های نو ایران، ۱۳۹۰.
- ۲- فخری، میرعرب و مليحی، فرزاد. «پمپ حرارتی زمین‌گرمایی رویکردی نوین در تامین حرارت و برودت ساختمان‌ها»، نخستین همایش ملی انرژی، ساختمان و شهر، ۱۳۹۴.
- ۳- دفتر آگاهسازی سازمان انرژی‌های نو ایران (سانا)، انرژی زمین‌گرمایی ۱، گزارش هفتم، تهران: سازمان انرژی‌های نو ایران، ۱۳۹۰.
- ۴- نادری، هومن. استفاده از پمپ‌های زمین‌گرمایی به منظور تأمین انرژی پایدار در زمان بحران، سازمان پدافند غیر عامل، ۱۳۹۳.
- ۵- ملک پور، محمد. انرژی زمین‌گرمایی، تهران: یزدا، ۱۳۹۱.
- ۶- طباطبایی، سیدمجتبی. محاسبات تاسیسات ساختمان، چاپ سیزدهم، تهران: روزبهان، ۱۳۸۸.
- ۷- منصف راد، سیدمهדי و جواهرزاده، کوروش. «تحلیل جامع اگزرژی یک پمپ حرارتی زمین‌گرمایی دما پایین برای استفاده در شرایط اقلیمی رامسر»، نشریه علمی - پژوهشی مدیریت انرژی، سال دوم، شماره اول، ۱۳۹۱، صص. ۴۸-۵۷.
- ۸- افتخاری، محمد و ملکی، رضا. «بررسی مزایای پمپ حرارتی زمین‌گرمایی، نحوه عملکرد و انواع آن»، دومین همایش سراسری محیط زیست، انرژی و پدافند زیستی، ۱۳۹۳.
- ۹- دفتر مقررات ملی ساختمان، مقررات ملی ساختمان ایران، مبحث بیست و یکم (پدافند غیر عامل)، ویرایش سوم، وزارت مسکن و شهرسازی، ۱۳۹۲.
- ۱۰- جلالی فراهانی، غلامرضا و هاشمی فشارکی، سیدجواد. پدافند غیرعامل در آئینه قوانین و مقررات، تهران: سازمان پدافند غیر عامل، ۱۳۸۹.

- ۱۱- مجتهدی، صادق و آقانجفی، سیروس. «تحلیل اگزرژی، ترمواکونومیک و بهینه‌سازی پمپ حرارتی زمین‌گرمایی با استفاده از الگوریتم کلونی زنبور عسل»، دهمین همایش انرژی‌های تجدیدپذیر، پاک و کارآمد، ۱۳۹۵.
- ۱۲- کیان، هادی و صداقت، احمد. «بهینه‌سازی چند هدفه یک سیستم پمپ حرارتی منبع زمینی ترکیب شده با سیستم سرمایش خورشیدی»، مجله مهندسی مکانیک دانشگاه تربیت مدرس، دوره ۱۶، شماره ۱، ۱۳۹۵، صص. ۵۱-۶۲.
- ۱۳- بهارمست، محمد و فخار، احمد. «پمپ حرارتی راهکاری برای بهینه‌سازی انرژی»، دومین همایش سراسری محیط زیست، انرژی و پدافند زیستی، ۱۳۹۲.
- ۱۴- سیاوشی کرد، علی؛ جزایری، سیدعلی و سیاوشی، پوریا. «تحلیل پمپ حرارتی زمین‌گرمایی در شرایط اقلیمی شهر تهران»، بیستمین همایش سالانه مهندسی مکانیک ایران، دانشگاه شیراز، ۱۳۹۱.
- ۱۵- مهدی، علیرضا. مقدمه‌ای بر الگوریتم ژنتیک و کاربردهای آن، تهران: ناقوس، ۱۳۸۶.
- ۱۶- شیدایی، حمزه. مدلسازی و ارزیابی عملکرد سیستم پمپ حرارتی زمین‌گرمایی ترکیب شده با انرژی خورشیدی، پایان نامه ارشد، دانشگاه تربیت دبیر شهید رجایی، ۱۳۹۲.
- ۱۷- صنایع، سپهر؛ سجادی، پگاه و زاوش، قهار. «بهینه‌سازی اگزرژی- اقتصادی پمپ حرارتی تراکمی»، دانشگاه علم و صنعت ایران، آزمایشگاه بهینه‌سازی سیستم‌های انرژی، ۱۳۹۳.
- 18- Hepbasli, A. "Thermodynamic analysis of a ground-source heat pump system for district heating", International Journal of Energy Research, 29, 2005, pp.671-687
- 19- Hwang, Y [et al]. "Cooling Performance of a vertical ground-coupled-heat pump system installed in a school building", International Journal of Renewable Energy Research, Vol. 1, No. 5, 2008
- 20- Lund, J [et al]. "Geothermal (Ground Source) Heat Pumps, A World Overview", Geo-Heat Center Quarterly Bulletin (Klmath Falls, Oregon: Oregon Institute of technology), 25 (3), 2004 ,pp 1-10. ISSN 0276-1084
- 21- [www.suna.org.ir](http://www.suna.org.ir)

- 22- Siavoshi kord, A & Jazayeri, S.A., Optimization and analysis of a vertical ground coupled heat pump , International Journal of Renewable Energy Research. Vol. 2, No. 1,2012
- 23- <http://geothermal haetpump.persianblog.ir>
- 24- <http://bernoulli.ir/>
- 25- <http://damatajhiz.com/>
- 26- Esan, H [et al]., “Energy and exergy analysis of a ground-coupled heat pump system with two horizontal ground heat exchangers”, Building and Environment, Vol 42, 2007, pp 3606-3615
- 27- Hepbasli, A & Akdemir, O. “Energy and exergy analysis of a ground source (geothermal) heat pump system”, Energy Conversion & Management, Vol 45, 2004, pp737-753
- 28- Maneesh K.” Geothermal Cooling/Heating Using Ground Heat Exchanger for Various Experimental and Analytical Studies”, Comprehensive Review, International Journal of Renewable Energy and Building, vol 139, 2017, pp 634-652
- 29- Kavanaugh, S. P & Rafferty, K. "Ground-Source Heat Pumps: Design of Geothermal Systems for Commercial and Institutional Buildings", ASHRAE Inc., Atlanta, 1997
- 30- Sonntag, R & Borgnakke, C & VanWaylen, G. Fundamentals of Engineering Thermodynamic, 4<sup>th</sup>end, New York: John Wiley & Sons, 749P, 1986
- 31- <http://www.irimo.ir>
- 32- Randy, L & sue Ellen Haupt, Parctical Genetic Algorithm (2<sup>th</sup>end), USA: Wiley, 2004
- 33- Perzina, R. “Solving the University Timetabling Problem with Optimized Enrolment of student by a parallel Self-adaptive Genetic Algorithm, ISBN 80-210-3726-1,PATAT, 2006, pp:246-280
- 34- Boehm, R.F. Design Analysis of thermal Systems, Willy, New York, 1987
- 35- Wall, G & Int, J.Refrig. “Optimization of refrigeration machinery”, Vol 14, 1991, pp.336-340

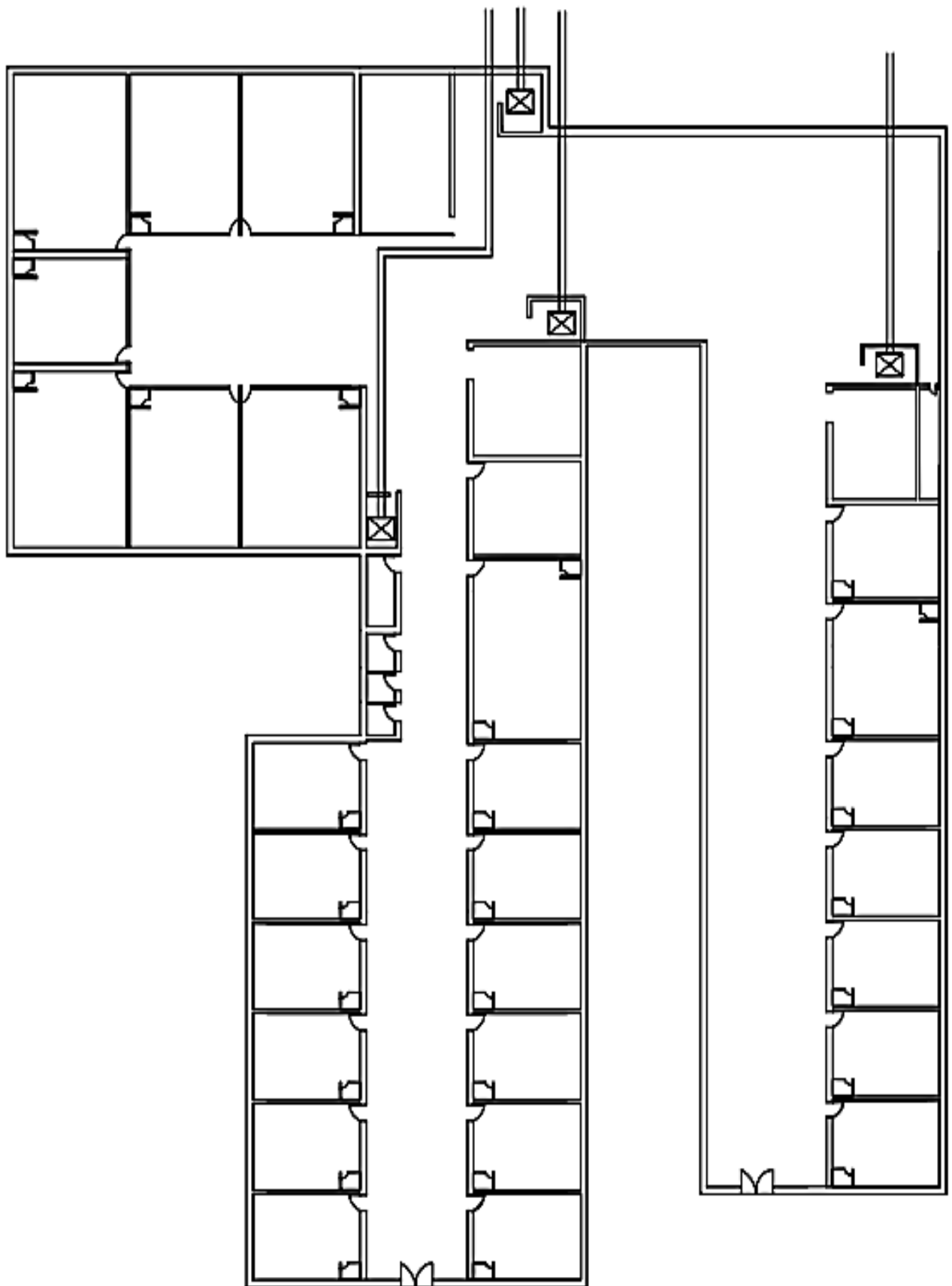
36- Kays T.J. The Exergy Method of Thermal Plant Analysis, Butterwork-Hill, New York, 1964

38- The ASHRAE Standards Committee, "Designation and Safety Classification of Refrigerants", American Society of Heating, Refrigerating and Air-Conditioning Engineers, INC, 2012

## **پیوست الف : نقشه‌های بیمارستان**



شكل الف - ۱ شماتیک پلان بیمارستان واقع در شهر تهران



شکل (الف-۲) محل قرار گیری پمپ‌های حرارتی زمین گرمایی

## **پیوست ب : گزارشات مربوط به نرم افزار کریبر**

Design Weather Parameters		
Project Name:	Hospital	03/07/2017
Prepared by:	karimi	09:29AM

### Design Parameters:

---

City Name ..... **Tehran**  
 Location ..... **Iran**  
 Latitude ..... **35.7** Deg.  
 Longitude ..... **-51.4** Deg.  
 Elevation ..... **4002.0** ft  
 Summer Design Dry-Bulb ..... **102.0** °F  
 Summer Coincident Wet-Bulb ..... **75.0** °F  
 Summer Daily Range ..... **27.0** °F  
 Winter Design Dry-Bulb ..... **20.0** °F  
 Winter Design Wet-Bulb ..... **16.2** °F  
 Atmospheric Clearness Number ..... **1.00**  
 Average Ground Reflectance ..... **0.20**  
 Soil Conductivity ..... 0.800 BTU/(hr-ft-°F)  
 Local Time Zone (GMT +/- N hours) ..... **-3.5** hours  
 Consider Daylight Savings Time ..... **Yes**  
 Daylight Savings Begins ..... **March, 21**  
 Daylight Savings Ends ..... **September, 21**  
 Simulation Weather Data ..... **Tehran (Avg)**  
 Current Data is ..... **1993 ASHRAE Handbook**  
 Design Cooling Months ..... **January to December**

## Space Input Data

Project Name: Hospital  
Prepared by: kammi

03/07/2017  
09:31AM

### 1. General Details:

Floor Area ..... **10656.3** ft<sup>2</sup>  
Avg. Ceiling Height ..... **9.8** ft  
Building Weight ..... **74.0** lb/ft<sup>2</sup>

#### 1.1. OA Ventilation Requirements:

Space Usage **EDUCATION: Daycare sickroom**  
OA Requirement 1 ..... **10.6** CFM/person  
OA Requirement 2 ..... **0.18** CFM/ft<sup>2</sup>  
Space Usage Defaults **ASHRAE Std 62.1-2004**

### 2. Internals:

#### 2.1. Overhead Lighting:

Fixture Type ..... **Recessed (Vented)**  
Wattage ..... **9600.0** Watts  
Ballast Multiplier ..... **1.00**  
Schedule ..... **my Schedule**

#### 2.2. Task Lighting:

Wattage ..... **0.00** W/ft<sup>2</sup>  
Schedule ..... **None**

#### 2.3. Electrical Equipment:

Wattage ..... **3000.0** Watts  
Schedule ..... **my Schedule**

#### 2.4. People:

Occupancy ..... **86.0** People  
Activity Level ..... **Sedentary Work**  
Sensible ..... **280.1** BTU/hr/person  
Latent ..... **269.9** BTU/hr/person  
Schedule ..... **my Schedule**

### 3. Walls, Windows, Doors:

Exp.	Wall Gross Area (ft <sup>2</sup> )	Window 1 Qty.	Window 2 Qty.	Door (ft <sup>2</sup> )
N	4294.8	0	0	0
E	2260.4	0	0	51.66
S	4294.8	0	0	0
W	2325.0	0	0	0

### 4. Roofs, Skylights:

Exp.	Roof Gross Area (ft <sup>2</sup> )	Roof Slope (deg.)	Skylight Qty.
H	<b>10656.3</b>	<b>0</b>	<b>0</b>

**Zone Design Load Summary for System of Bimarestan**

Project Name: Hospital  
Prepared by: karimi

03/07/2017  
09:33AM

ZONE LOADS	DESIGN COOLING			DESIGN HEATING		
	COOLING DATA AT Jul 0100 COOLING OA DB / WB 79.9 °F / 69.4 °F			HEATING DATA AT DES HTG HEATING OA DB / WB 20.0 °F / 16.2 °F		
	OCCUPIED T-STAT 75.0 °F			OCCUPIED T-STAT 70.0 °F		
	Details	Sensible (BTU/hr)	Latent (BTU/hr)	Details	Sensible (BTU/hr)	Latent (BTU/hr)
Window & Skylight Solar Loads	0 ft <sup>2</sup>	0	-	0 ft <sup>2</sup>	-	-
Wall Transmission	13175 ft <sup>2</sup>	78762	-	13175 ft <sup>2</sup>	143653	-
Roof Transmission	10656 ft <sup>2</sup>	32370	-	10656 ft <sup>2</sup>	43022	-
Window Transmission	0 ft <sup>2</sup>	0	-	0 ft <sup>2</sup>	0	-
Skylight Transmission	0 ft <sup>2</sup>	0	-	0 ft <sup>2</sup>	0	-
Door Loads	0 ft <sup>2</sup>	0	-	0 ft <sup>2</sup>	0	-
Floor Transmission	10656 ft <sup>2</sup>	0	-	10656 ft <sup>2</sup>	59157	-
Partitions	0 ft <sup>2</sup>	0	-	0 ft <sup>2</sup>	0	-
Ceiling	0 ft <sup>2</sup>	0	-	0 ft <sup>2</sup>	0	-
Overhead Lighting	9600 W	32752	-	0	0	-
Task Lighting	0 W	0	-	0	0	-
Electric Equipment	3000 W	10236	-	0	0	-
People	86	24090	23211	0	0	0
Infiltration	-	0	0	-	0	0
Miscellaneous	-	0	0	-	0	0
Safety Factor	10% / 0%	17821	0	10%	24583	0
<b>&gt;&gt; Total Zone Loads</b>	<b>-</b>	<b>196030</b>	<b>23211</b>	<b>-</b>	<b>270416</b>	<b>0</b>

**Monthly Simulation Results for System of Bimarestan :**

Month	WSHP Heating Coil Load (kBtu)	WSHP Eqpt Heating Load (kBtu)	WSHP Htg Compressor (kWh)
January	60286	60286	6218
February	35606	35606	3730
March	9047	9047	967
April	182	182	20
May	0	0	0
June	0	0	0
July	0	0	0
August	0	0	0
September	0	0	0
October	0	0	0
November	2674	2674	288
December	38461	38461	4030
<b>Total</b>	<b>146256</b>	<b>146256</b>	<b>15253</b>

## **پیوست ج : اشکال**

MODEL	PERFORMANCE AND ELECTRICAL DATA						
	COOLING CAPACITY (BTUH)	EER	HEATING CAPACITY (BTUH)	COP	ELECTRICAL (V/HZ/PH)	MIN.CIRC. AMPACITY	MAX FUSE SIZE
WWG048	44000	19.9	47000	3.6	380/50/3	15	20
WWG072	61000	20.4	65000	3.6	380/50/3	20	25
WWG120	125000	19.2	129000	3.7	380/50/3	27	40
WWG240	250000	19.2	258000	3.7	380/50/3	47.5	60

شکل (ج - ۱) لیست دستگاه‌های پمپ حرارتی آب به آب (۲۴)

MODEL	CFM NOMINAL	PERFORMANCE AND ELECTRICAL DATA						
		COOLING CAPACITY (BTUH)	EER	HEATING CAPACITY (BTUH)	COP	ELECTRICAL (V/HZ/PH)	MIN.CIRC. AMPACITY	MAX FUSE SIZE
GTHP024	800	29500	21.6	23250	4.8	220/50/1	16	25
GTHP036	1200	38500	21	33000	4.8	220/50/1	25	35
GTHP048	1600	56000	16.5	41000	4.5	380/50/3	14	20
GTHP060	2000	65000	17.5	58500	5	380/50/3	14	20
GTHP070	2200	76000	18.7	68000	4.9	380/50/3	17	20

شکل (ج - ۲) لیست دستگاه‌های پمپ حرارتی آب به هوا (۲۴)

Water Flow Rate (GPM)	Water Pressure Drop (psi)	DIMENSIONS (cm)						
		HORIZONTAL			VERTICAL			MODEL
		F	E	D	C	B	A	
5	3	560	1150	650	1020	550	550	GTHP018
6	3	560	1100	650	1020	550	550	GTHP024
10	3.5	560	1380	660	1200	660	550	GTHP036
12	5	560	1730	760	1200	830	610	GTHP048
15	4	560	1730	760	1300	850	610	GTHP060
17	3.2	560	1980	760	1480	850	660	GTHP070

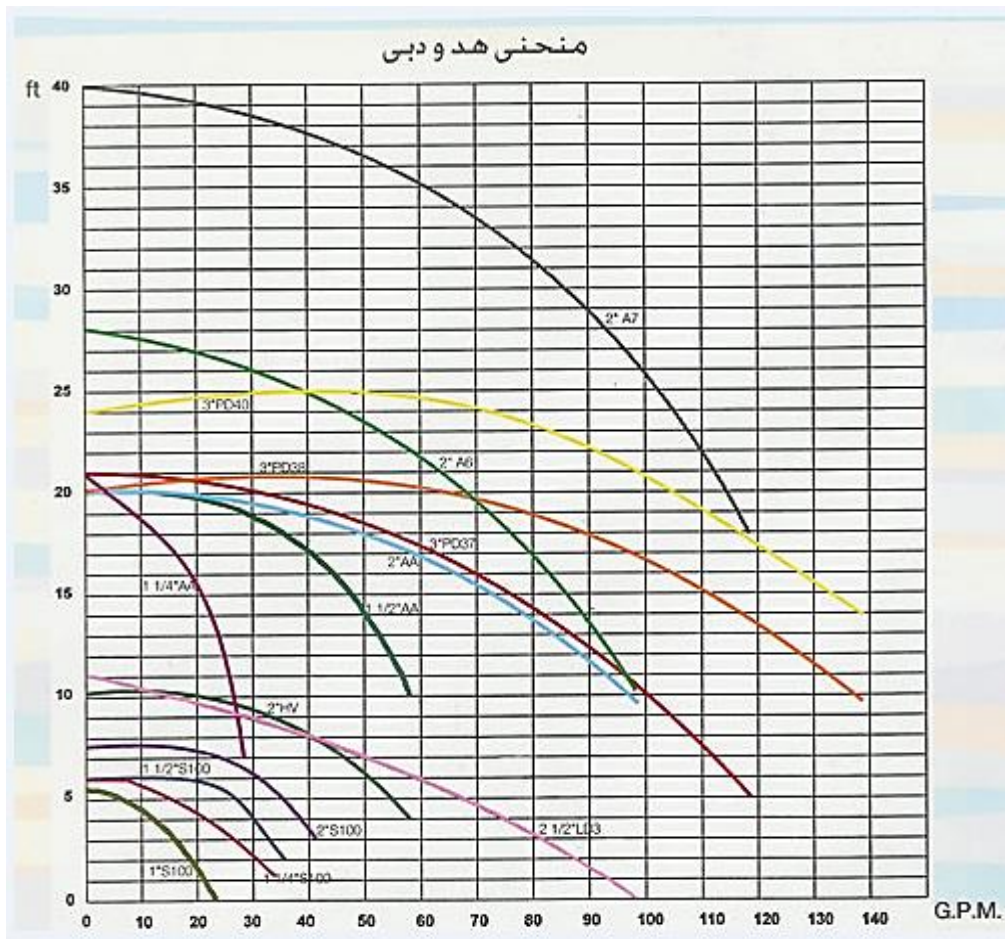
شکل (ج - ۳) مشخصات فیزیکی دستگاه پمپ حرارتی زمین گرمایی آب به هوا (۲۴)

قیمت(ریال)	جنس ورق	وزن	نمایه مختام	بعاد (CM)			ظرفیت(Lit)	مدل
				ارتفاع	عرض	طول		
۳۰۰,۰۰۰	گالوانیزه گرم ایرانی	۲۵	۲	۸۰	۵۰	۵۰	۲۰۰	DT,EXO-۲۰۰-۲
۲,۹۶۷,۵۰۰	گالوانیزه گرم ایرانی	۴۵	۲.۵	۸۰	۵۰	۵۰	۲۰۰	DT,EXO-۲۰۰-۲.۵
۳,۶۵۰,۰۰۰	گالوانیزه گرم ایرانی	۵۵	۳	۸۰	۵۰	۵۰	۲۰۰	DT,EXO-۲۰۰-۳
۲,۶۳۷,۵۰۰	گالوانیزه گرم ایرانی	۴۰	۲	۱۰۰	۵۰	۵۰	۲۵۰	DT,EXO-۲۵۰-۲
۳,۳۱۲,۵۰۰	گالوانیزه گرم ایرانی	۵۰	۲.۵	۱۰۰	۵۰	۵۰	۲۵۰	DT,EXO-۲۵۰-۲.۵
۴,۳۰۰,۰۰۰	گالوانیزه گرم ایرانی	۶۵	۳	۱۰۰	۵۰	۵۰	۲۵۰	DT,EXO-۲۵۰-۳
۲,۹۹۸,۷۵۰	گالوانیزه گرم ایرانی	۴۵	۲	۱۰۰	۶۰	۵۰	۲۰۰	DT,EXO-۲۰۰-۲

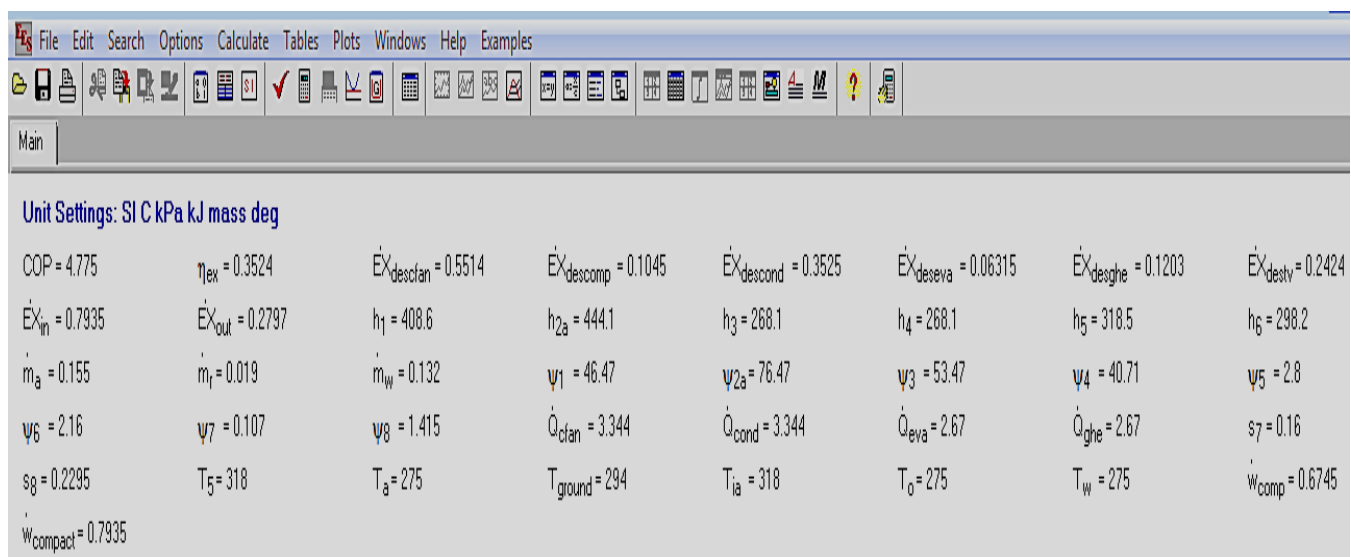
شکل (ج - ۴) لیست مدل‌های منبع انبساط باز شرک دما تجهیز (۲۵)

۴,۷۵,۰۰۰	۱۴۵۰	۵۰ - ۱ - ۲۰	۲۰	۷۵	۳/۴	"۲	PD۴A
۱۴,۰۰۳,۷۵۰	۱۴۵۰	۵۰ - ۱ - ۲۰	۲۰	۱۰۰	۱/۲	"۲	PD۴۰
۱۴,۳۶۷,۵۰۰	۱۴۵۰	۵۰ - ۳ - ۳۸۰	۲۰	۱۰۰	۱/۲	"۲	PD۴۰
استعلامی	۱۴۵۰	۵۰ - ۱ - ۲۰	۲۵	۶۵	۱	"۲	ETA <sub>۵۰-۱۶</sub>
استعلامی	۱۴۵۰	۵۰ - ۳ - ۳۸۰	۲۵	۶۵	۱	"۲	ETA <sub>۵۰-۱۶</sub>
قیمت(ریال)	RPM دور موقور	برق الکتروموتور	F۱۶۰	GPM بیجی	HP قدرت الکتروموتور	CFP قطر فلنج رانش	مدل
استعلامی	۱۴۵۰	۵۰ - ۱ - ۲۰	۳۲	۷۰	۱/۲	"۲	ETA <sub>۵۰-۱۰</sub>
استعلامی	۱۴۵۰	۵۰ - ۳ - ۳۸۰	۳۲	۷۰	۱/۲	"۲	ETA <sub>۵۰-۱۰</sub>

شکل (ج - ۵) مدل‌های مختلف پمپ سمنان خطی سیر کولاتور (۲۵)



شکل (ج-۶) نمودار هد و دبی پمپ سیرکولاتور (۲۵)



شکل (ج-۷) ضریب عملکرد و راندمان اگزرسی برای مبرد R-۲۲

Unit Settings: SI C kPa kJ mass deg

COP = 4.397	$\eta_{ex} = 0.3962$	$\dot{E}_{desfan} = 0.5014$	$\dot{E}_{descomp} = 0.09295$	$\dot{E}_{descond} = 0.3042$	$\dot{E}_{deseva} = 0.07525$	$\dot{E}_{desghe} = 0.1012$
$\dot{E}_{destv} = 0.2156$	$\dot{E}_{in} = 0.7058$	$\dot{E}_{out} = 0.2797$	$h_1 = 408.6$	$h_{2a} = 444.1$	$h_3 = 268.1$	$h_4 = 268.1$
$h_5 = 318.5$	$h_6 = 298.2$	$m_a = 0.155$	$m_i = 0.0169$	$m_w = 0.132$	$\psi_1 = 46.47$	$\psi_{2a} = 76.47$
$\psi_3 = 53.47$	$\psi_4 = 40.71$	$\psi_5 = 2.8$	$\psi_6 = 2.16$	$\psi_7 = 0.107$	$\psi_8 = 1.415$	$\dot{Q}_{fan} = 2.975$
$\dot{Q}_{cond} = 2.975$	$\dot{Q}_{eva} = 2.375$	$\dot{Q}_{ghe} = 2.375$	$s_7 = 0.16$	$s_8 = 0.2295$	$T_5 = 318$	$T_a = 275$
$T_{ground} = 294$	$T_{ia} = 318$	$T_o = 275$	$T_w = 275$	$w_{comp} = 0.6$	$w_{compact} = 0.7058$	

شکل (ج-۸) ضریب عملکرد و راندمان اگزرسی برای مبرد R-۱۳۴a

Unit Settings: SI C kPa kJ mass deg

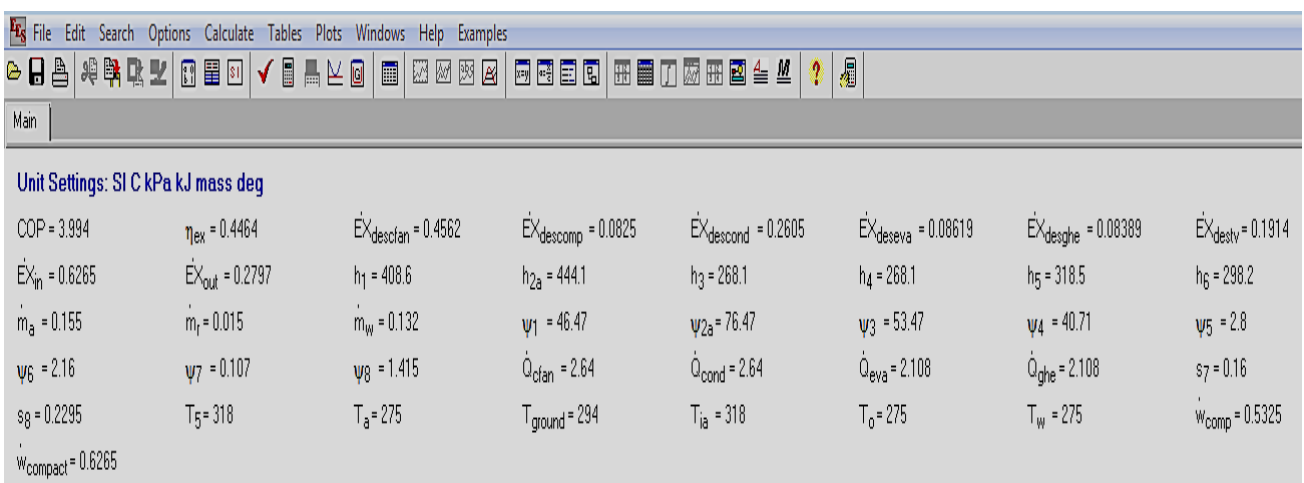
COP = 3.973	$\eta_{ex} = 0.4058$	$\dot{E}_{desfan} = 0.4919$	$\dot{E}_{descomp} = 0.09075$	$\dot{E}_{descond} = 0.295$	$\dot{E}_{deseva} = 0.07755$	$\dot{E}_{desghe} = 0.09753$
$\dot{E}_{destv} = 0.2105$	$\dot{E}_{in} = 0.6891$	$\dot{E}_{out} = 0.2797$	$h_1 = 408.6$	$h_{2a} = 444.1$	$h_3 = 268.1$	$h_4 = 268.1$
$h_5 = 318.5$	$h_6 = 298.2$	$m_a = 0.155$	$m_i = 0.0165$	$m_w = 0.132$	$\psi_1 = 46.47$	$\psi_{2a} = 76.47$
$\psi_3 = 53.47$	$\psi_4 = 40.71$	$\psi_5 = 2.8$	$\psi_6 = 2.16$	$\psi_7 = 0.107$	$\psi_8 = 1.415$	$\dot{Q}_{fan} = 2.904$
$\dot{Q}_{cond} = 2.904$	$\dot{Q}_{eva} = 2.318$	$\dot{Q}_{ghe} = 2.318$	$s_7 = 0.16$	$s_8 = 0.2295$	$T_5 = 318$	$T_a = 275$
$T_{ground} = 294$	$T_{ia} = 318$	$T_o = 275$	$T_w = 275$	$w_{comp} = 0.5858$	$w_{compact} = 0.6891$	

شکل (ج-۹) ضریب عملکرد و راندمان اگزرسی برای مبرد R-۱۴۳a

Unit Settings: SI C kPa kJ mass deg

COP = 3.512	$\eta_{ex} = 0.4238$	$\dot{E}_{desfan} = 0.4752$	$\dot{E}_{descomp} = 0.0869$	$\dot{E}_{descond} = 0.2789$	$\dot{E}_{deseva} = 0.08158$	$\dot{E}_{desghe} = 0.09117$	$\dot{E}_{destv} = 0.2016$
$\dot{E}_{in} = 0.6599$	$\dot{E}_{out} = 0.2797$	$h_1 = 408.6$	$h_{2a} = 444.1$	$h_3 = 268.1$	$h_4 = 268.1$	$h_5 = 318.5$	$h_6 = 298.2$
$m_a = 0.155$	$m_i = 0.0158$	$m_w = 0.132$	$\psi_1 = 46.47$	$\psi_{2a} = 76.47$	$\psi_3 = 53.47$	$\psi_4 = 40.71$	$\psi_5 = 2.8$
$\psi_6 = 2.16$	$\psi_7 = 0.107$	$\psi_8 = 1.415$	$\dot{Q}_{fan} = 2.781$	$\dot{Q}_{cond} = 2.781$	$\dot{Q}_{eva} = 2.22$	$\dot{Q}_{ghe} = 2.22$	$s_7 = 0.16$
$s_8 = 0.2295$	$T_5 = 318$	$T_a = 275$	$T_{ground} = 294$	$T_{ia} = 318$	$T_o = 275$	$T_w = 275$	$w_{comp} = 0.5609$
$w_{compact} = 0.6599$							

شکل (ج-۱۰) ضریب عملکرد و راندمان اگزرسی برای مبرد R-۴۰۴a



شکل (ج-۱۰) ضریب عملکرد و راندمان اگزرزی برای مبرد a-۱۰-R

## **Abstract**

Geothermal heat pumps systems can be installed in a safe underground environment and thus remain safe against damages from enemy attacks in times of crisis. Environmentally friendly geothermal energy can also be used as an alternative energy source. Since saving lives is the prime objective of passive defense so hospitals play an important role in achieving this goal. Thus construction of safe underground hospitals as a passive defense approach is a prerequisite to preparing for crisis.

In this study after calculating the thermal dissipation of an underground hospital in CARRIER, Exergy analysis of geothermal heat pumps with vertical U-shaped closed cycle in EES, was performed. R-134a was selected as the refrigerant fluid because of its high coefficient of performance. Since condenser fan had the maximum destruction of exergy. Then for better performance of the system, it was regarded as the priority in taking improving measures.

During the multi-objective optimization using Non-dominated Sorting Genetic Algorithm (NSGA II) in MATLAB, total exergy destruction rate has been reduced to 4.24 %. Also due to decrease of operating costs (as much as 3.27 %), of optimization phase compared to the initial design, optimized total cost of the phase dropped by 1.34 %.

**Keywords:** geothermal heat pumps, underground hospitals, Passive Defense, Exergy analysis, multi-objective optimization genetic algorithm (NSGA II)



Energy Institute For Higher Education  
Faculty of Engineering  
Department Of Mechanical Engineering- Energy Conversion  
Thesis For  
Degree Of Master Of Science (M.Sc)

Title:

Geothermal heat pumps energy analysis and  
economic optimization applying genetic algorithm  
with passive defense approach

Supervisor:  
Dr. Yousef Yassi

Advisor:  
Dr. Reza Alayi

By:  
Sajjad Karimi Mehrabadi

April/2017